



**Estensione del monitoraggio relativo al progetto  
“Servizio di espianto, trapianto, mantenimento e  
monitoraggio di esemplari di Posidonia oceanica nel  
tratto marino tra i Comuni di Civitavecchia (RM) e  
Santa Marinella (RM)”**

***Committente: ENEL PRODUZIONE S.p.a***

***MONITORAGGIO NON DISTRUTTIVO  
(SETTEMBRE-DICEMBRE 2016)***

## ***INDICE***

<b>Attività di campo .....</b>	<b>1</b>
Monitoraggio non distruttivo.....	2
Moduli con le talee di controllo (40 stazioni) .....	2
Prateria in posto.....	6
Controllo della sopravvivenza delle talee .....	10
<b>Risultati.....</b>	<b>12</b>
Controllo della sopravvivenza delle talee .....	12
Settore Est.....	15
Settore Ovest.....	19
<b>Conclusioni.....</b>	<b>29</b>
Moduli con le talee di controllo .....	29
Prateria in posto .....	29
<b>ALLEGATO .....</b>	<b>32</b>

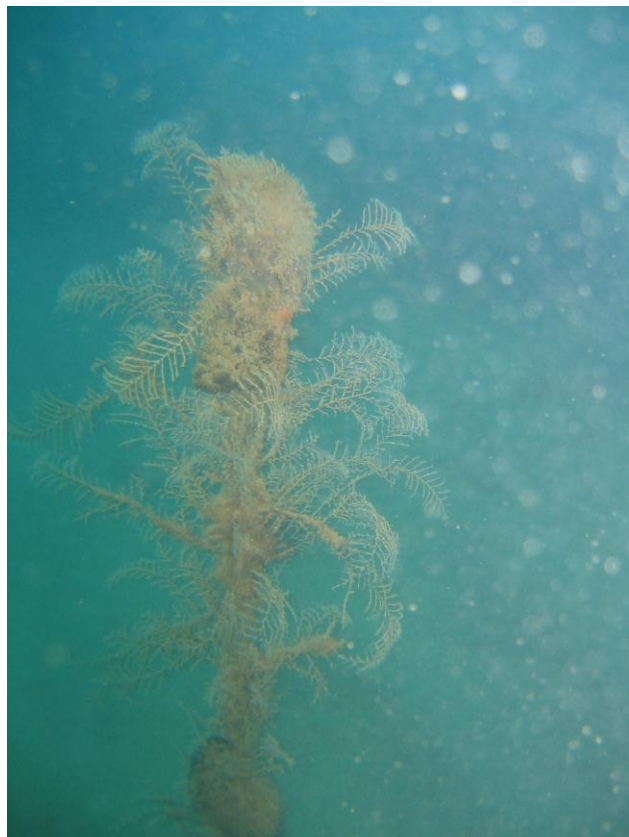
## **Attività di campo**

Come richiesto dal provvedimento direttoriale U.prot DVADEC-2015-000472 del 17/12/2015 del Ministero dell'Ambiente e della Tutela del Territorio e del Mare, è stata effettuata la nuova campagna annuale (2016) di monitoraggio non distruttivo e di monitoraggio distruttivo mantenendo tutte le attività già effettuate nelle precedenti campagne di monitoraggio (dal giugno 2005 al marzo 2010; giugno 2014; marzo 2015).

In particolare questa campagna, effettuata nel periodo settembre-dicembre 2016, per valutare lo stato delle aree trapiantate oltre il quinquennio previsto dal progetto “*Servizio di espianto, trapianto, mantenimento e monitoraggio di esemplari di Posidonia oceanica nel tratto marino tra i Comuni di Civitavecchia (RM) e Santa Marinella (RM)*”, è stata incentrata sia sulle attività di tipo non distruttivo, fra le quali la verifica delle sopravvivenze che certamente è la più rilevante, sia su quelle di tipo distruttivo che prevedono il prelievo di campioni di *Posidonia oceanica* per le analisi fenologiche, lepidocronologiche e della comunità epifita. In questo rapporto vengono sintetizzati i risultati relativi alla campagna di monitoraggio non distruttivo, mentre quelli relativi al monitoraggio distruttivo sono raccolti in un rapporto separato.

Le operazioni a mare si sono protratte ben oltre i tempi inizialmente previsti (settembre) a causa delle pessime condizioni meteo-marine che nei mesi di ottobre e novembre hanno interessato il litorale di Santa Marinella ed hanno impedito il regolare svolgimento delle attività di monitoraggio subacqueo.

Oltre alle avverse condizioni del mare, ha contribuito ad ostacolare le attività di monitoraggio soprattutto l'elevata torbidità delle acque che, dopo piogge o mareggiate anche di modesta entità, spesso impedisce le operazioni stesse. Questa è una caratteristica ben nota del paraggio, ma in questo caso si è rivelata critica a causa dell'impossibilità di identificare le cornici etichettate a suo tempo ed ormai ricoperte da Posidonia o altre formazioni. Per tale motivo nel corso della campagna di monitoraggio non distruttivo è stato necessario sospendere le attività ed attendere molti giorni prima che fossero ristabilite le condizioni di visibilità subacquea accettabili.



*Figura 1*

### ***Monitoraggio non distruttivo***

Le attività effettuate nel corso di questa campagna di monitoraggio non-distruttivo sono state le stesse eseguite sia durante le campagne previste dall’originario monitoraggio quinquennale (2005-2010) sia nel corso dell’estensione del 2014 ed in linea con il Piano del 13/11/2013 proposto al Ministero dell’Ambiente e della Tutela del Territorio e del Mare.

Le operazioni sono state eseguite nelle 13 radure nelle quali erano state effettuate le attività di trapianto e nella prateria naturale posta nelle immediate vicinanze delle aree di controllo; tali attività sono state svolte in immersione da operatori subacquei (biologi OTS) dotati di autorespiratore ad aria.

### **Moduli con le talee di controllo (40 stazioni)**

Le attività previste in questa fase sono state effettuate nelle 40 aree già definite nel corso della I campagna di Monitoraggio (giugno 2005) del progetto originario e rettificate nella campagna 2014 (fig. 2). Infatti alcuni siti di controllo che, già al termine del monitoraggio quinquennale (2005-2010) si presentavano in condizioni critiche o addirittura erano stati dismessi a causa di forti mareggiate che ne avevano irrimediabilmente compromessa la

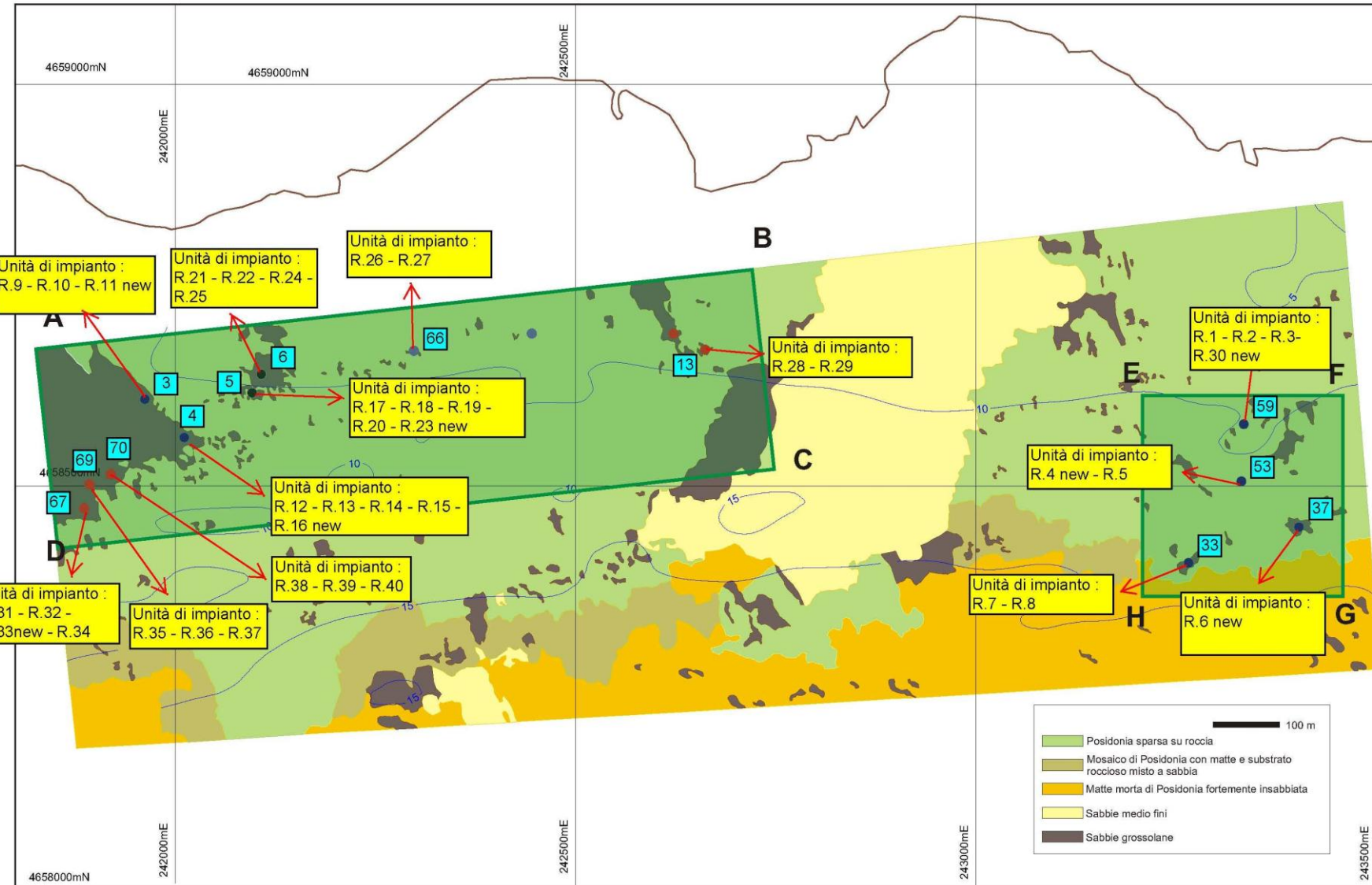
situazione, nel corso della campagna di monitoraggio non distruttivo eseguita nel 2014 si è reso necessario l'individuazione di 6 nuovi siti di controllo che, come si evidenzia dalla figura 2, sono stati identificati con lo stesso codice delle aree dismesse ma con l'aggiunta del termine “new”.

Per ciascun punto di osservazione era stata identificata una cornice campione, contrassegnata da un galleggiante rosso posto a 2 metri dal fondo e da una lettera identificativa (A, B, C, ecc. – fig. 3).

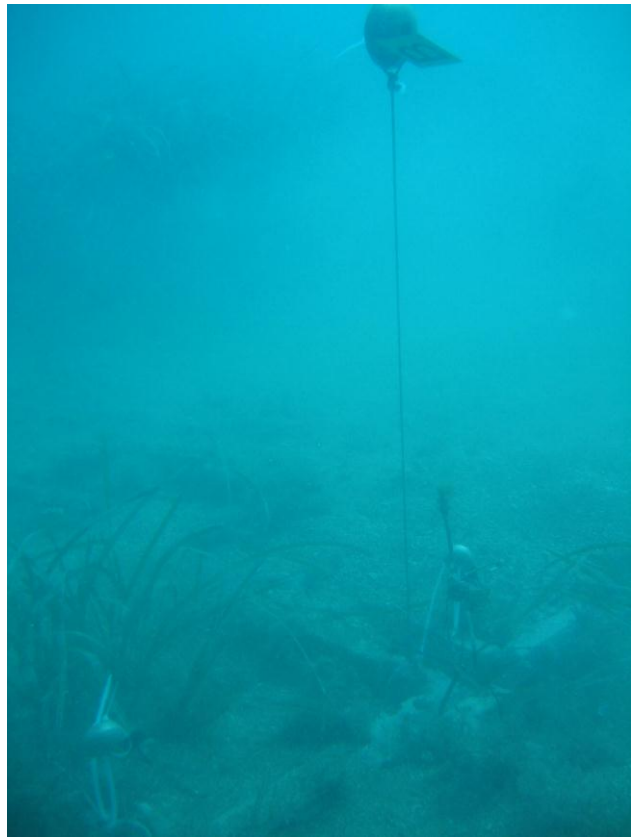
La codifica delle stazioni di monitoraggio non distruttivo segue uno schema che si può sintetizzare come PN, dove P si riferisce alla cornice, mentre N va da 1 a 40 ed è l'identificativo delle stazioni (Tab. 1).

In ciascuna cornice campione sono state effettuate le seguenti misure su 5 ciuffi di *Posidonia* :

- conta delle talee residue;
- determinazione della lunghezza/larghezza della foglia più lunga (foto 4);
- determinazione dello stato degli apici e stima del tessuto bruno;
- valutazione qualitativa della comunità epifita delle foglie



*Figura 2*



*Figura 3: modulo P.8*



*Figura 4: misura della lunghezza delle foglie*

		Coordinate UTM/UPS fuso 32T		
Radura	Modulo	E	N	prof (m)
59	P.1	740025	4657988	9
	P.2	740010	4657991	9
	P.3	740000	4657997	9
	P.30 new	740001	4658005	9,5
53	P.4 new	740056	4657937	10
	P.5	740051	4657962	10
37	P.6 new	740111	4657863	12,5
33	P.7	739952	4657814	13,5
	P.8	739935	4657818	13
3	P.9	738661	4657885	10,5
	P.10	738608	4657897	9,5
	P.11 new	768638	4657877	10
4	P.12	738660	4657842	10,8
	P.13	738668	4657847	9,5
	P.14	738647	4657850	10,5
	P.15	738658	4657869	10,5
	P.16 new	768653	4657854	10,5
5	P.17	738753	4657830	10,5
	P.18	738755	4657839	10,5
	P.19	738756	4657850	10,5
	P.20	738744	4657884	10
	P.23 new	738745	4657895	10
6	P.21	738766	4657978	8
	P.22	738774	4657960	8,5
	P.24	738780	4657990	8,7
	P.25	738760	4657992	8,5
66	P.26	738939	4657974	8,5
	P.27	738920	4657959	9,5
13	P.28	739268	4658025	7,5
	P.29	739271	4658044	7,5
67	P.31	738523	4657742	12
	P.32	738529	4657712	12,5
	P.33 new	738522	4657738	12
	P.34	738531	4657760	12
69	P.35	738585	4657770	11,5
	P.36	738610	4657758	11,5
	P.37	738566	4657777	11,7
70	P.38	738639	4657784	11,5
	P.39	738677	4657800	11,7
	P.40	738665	4657797	11,5

Tabella 1

### Prateria in posto

Come previsto dalla Specifica Tecnica, nel 50% dei siti di controllo (20 stazioni – fig. 5), sono state eseguite le stesse determinazioni sopra

descritte, allo scopo di tenere sotto controllo l'andamento della prateria "naturale", senza recarle alcun danno. Nell'intorno di ogni stazione, inoltre, sono state effettuate misure dirette di densità mediante il posizionamento casuale di un quadrato di 40 cm di lato, all'interno del quale sono stati contati tutti i fasci presenti.

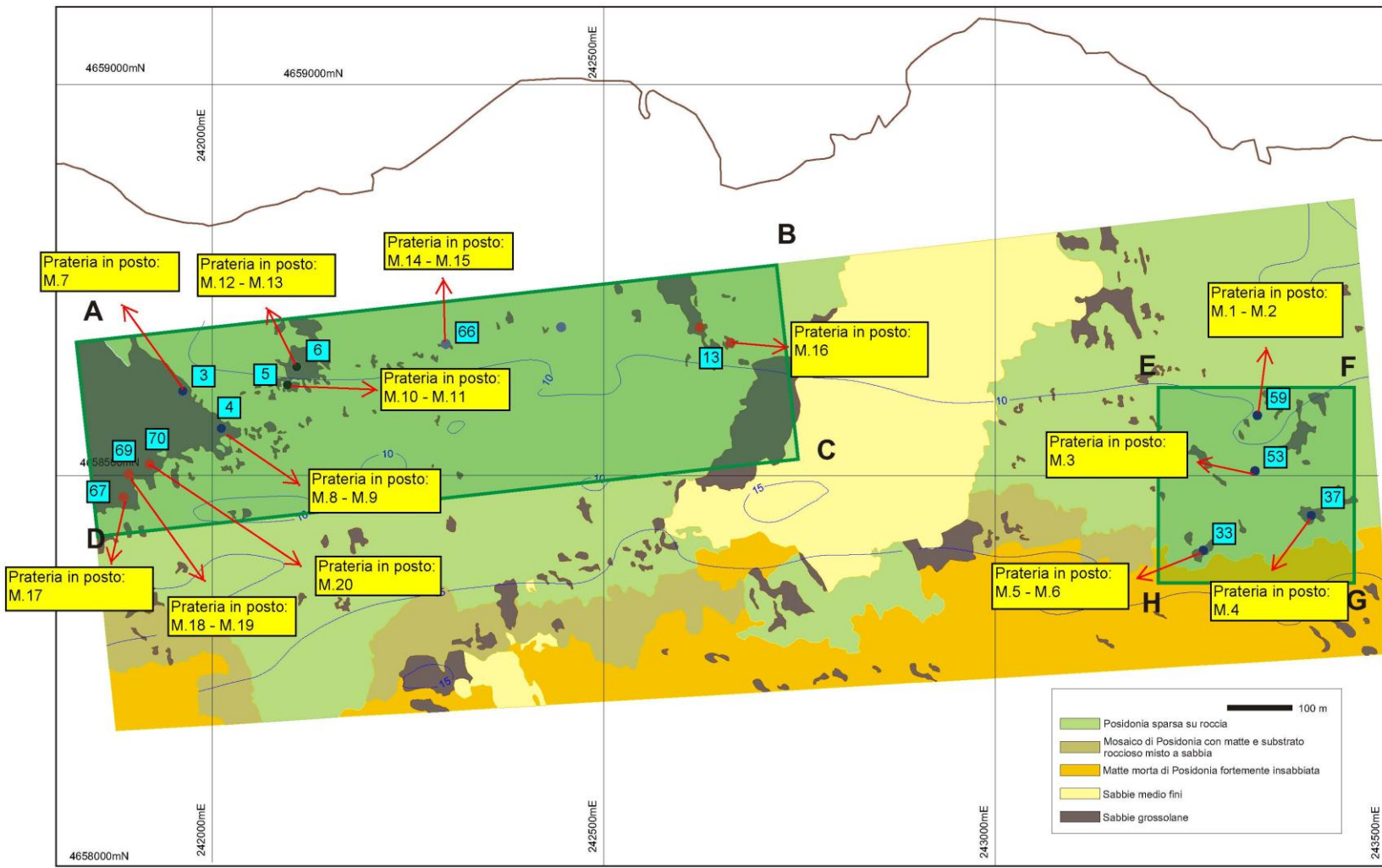
Ogni punto era stato marcato nel corso della I campagna di Monitoraggio (giugno 2005) mediante un galleggiante giallo su picchetto posto a 2 metri dal fondo (fig. 6).

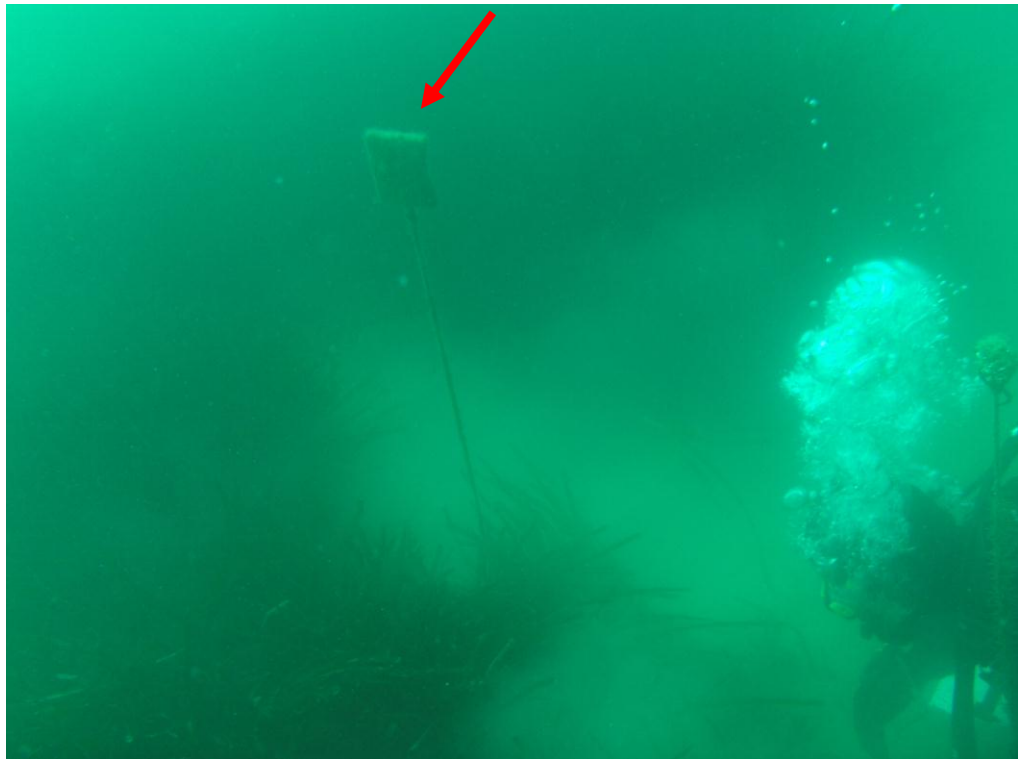
La codifica delle stazioni segue lo schema MN, dove M si riferisce alla prateria naturale, mentre N va da 1 a 20 ed è l'identificativo delle stazioni (tab. 2).

Le talee prescelte per l'esecuzione delle determinazioni descritte nel paragrafo precedente sono state nuovamente marcate con una fascetta di plastica posta alla base del rizoma (fig. 7), allo scopo di renderle identificabili nella campagne successive.

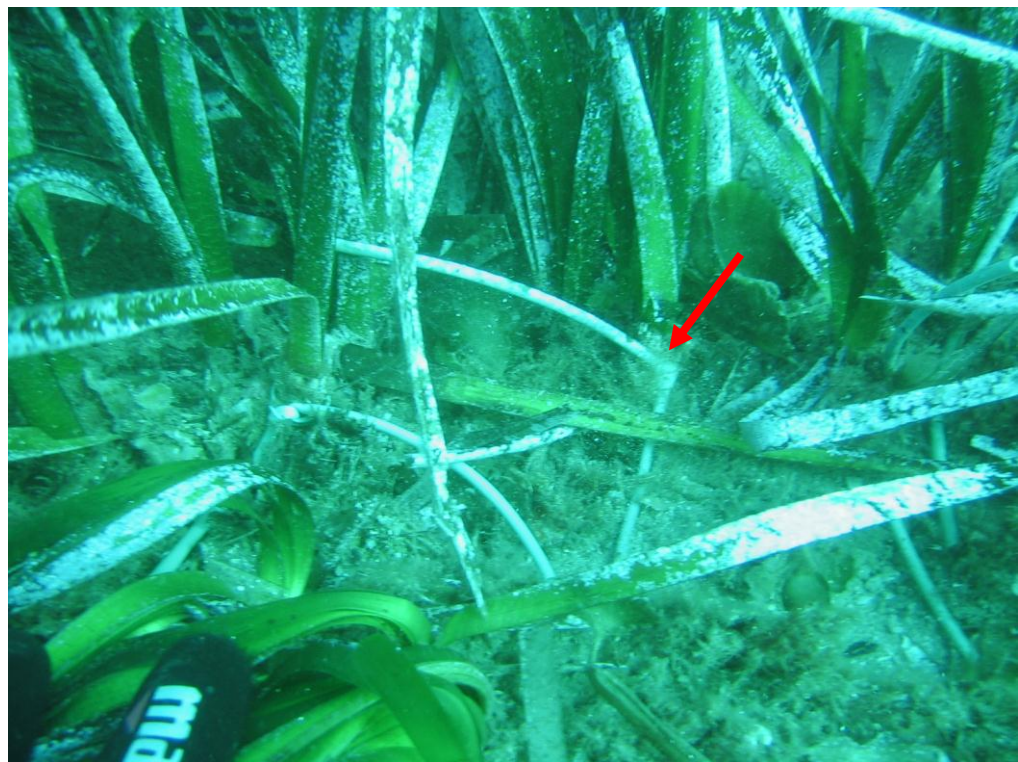
		Coordinate UTM/UPS fuso 32T		
Radura	Stazioni	E	N	prof (m)
59	M.1	740006	4657987	9
	M.2	740026	4657994	9
53	M.3	740057	4657961	10
37	M.4	740120	4657882	12,5
33	M.5	739952	4657814	13,5
	M.6	739939	4657815	12
3	M.7	738649	4657877	10
4	M.8	738679	4657836	10
	M.9	738644	4657838	10,5
5	M.10	738743	4657829	10,5
	M.11	738756	4657842	9,5
6	M.12	738777	4657960	7,5
	M.13	738782	4657998	8
66	M.14	738938	4657959	9
	M.15	738908	4657945	8,5
13	M.16	739279	4658016	8
67	M.17	738523	4657754	12
69	M.18	738575	4657757	11,5
	M.19	738593	4657769	11,5
70	M.20	738655	4657784	11

Tabella 2





*Figura 6: stazione M.19*



*Figura 7: stazione M.1*

### **Controllo della sopravvivenza delle talee**

In ciascuna delle 40 aree descritte per le attività previste nella fase di monitoraggio non distruttivo si è proceduto al conteggio dei fasci fogliari che si sono originati dalle talee sopravvissute nelle 20 cornici campione individuate e opportunamente marcate con un numero (da 1 a 20 per ciascuna area) già nel corso della I campagna di monitoraggio non distruttivo (giugno 2005).

La misura della sopravvivenza delle talee è stata eseguita in immersione da un operatore subacqueo che ha proceduto al conteggio del numero di ciuffi presenti in ogni cornice, annotando i valori riscontrati su una lavagnetta subacquea.

A ciascun modulo campione era stato applicato durante la prima campagna di monitoraggio (giugno 2005) un numero identificativo fissato alla cornice con un piccolo galleggiante (fig. 8), allo scopo di facilitare l'individuazione, soprattutto in relazione alle scarse condizioni di visibilità. In molti casi si è dovuto procedere alla sostituzione del numero, oramai deteriorato dal tempo e dall'azione del mare.



*Figura 8: cornice R.28.1*

La codifica delle stazioni (fig. 9) è la seguente: R, N, x, t, dove R si riferisce alla radura, N va da 1 a 40 ed è l'identificativo delle stazioni, x identifica il singolo modulo e va da 1 a 20.

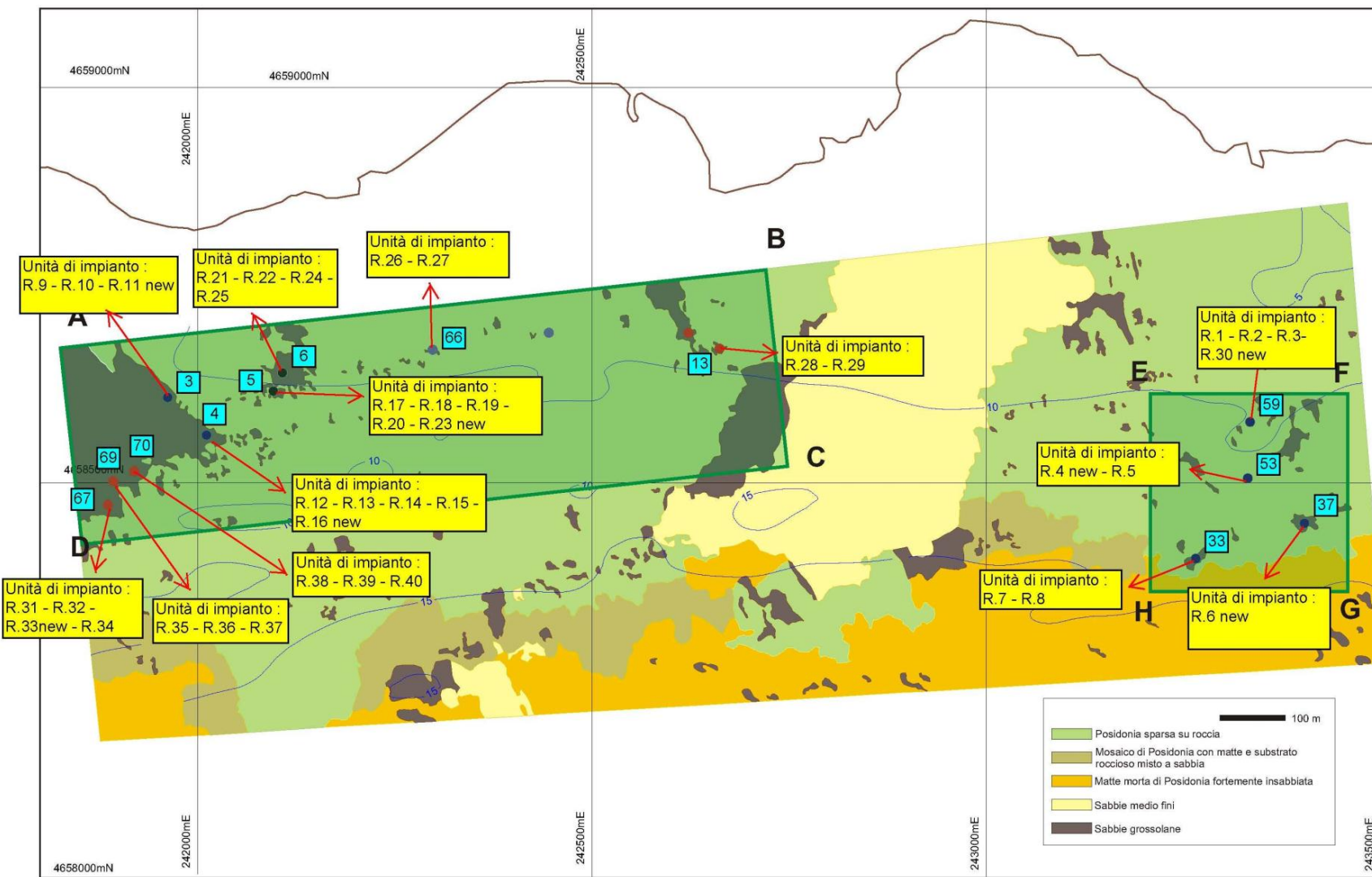


Figura 9

## Risultati

### Controllo della sopravvivenza delle talee

Le misure della sopravvivenza delle talee negli 800 moduli campione effettuate nel corso di questa campagna hanno evidenziato un ulteriore aumento rispetto all'ultimo rilevamento eseguito nel mese di giugno 2014. Il tasso di sopravvivenza registrato nelle 40 aree campione è pari, infatti, al 371,7%, con un incremento del 63,3% rispetto a quanto rilevato nell'ultima campagna nel giugno 2014 (fig. 11).

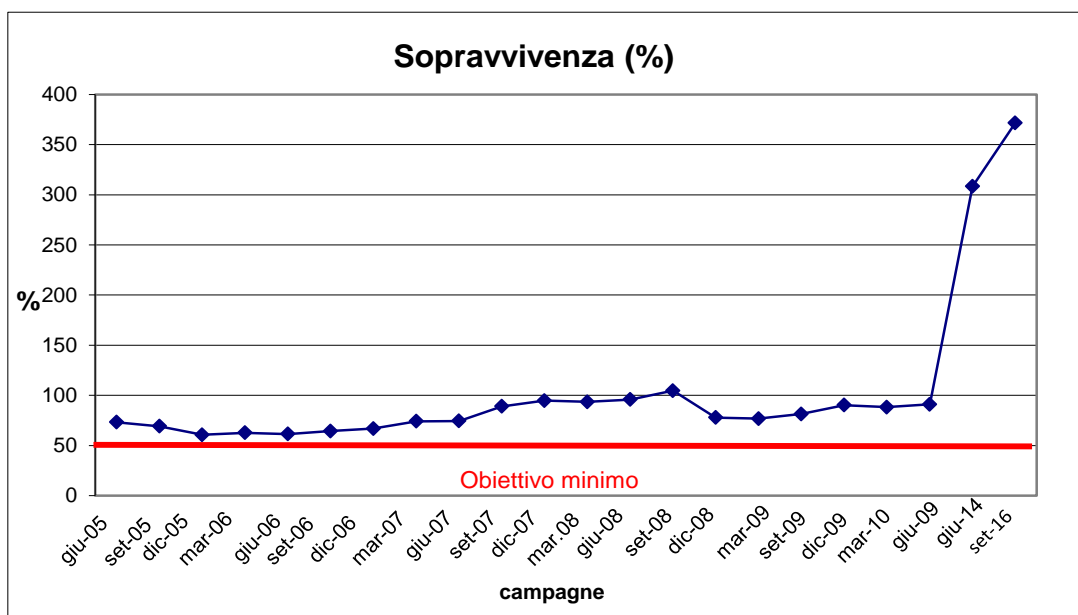


Figura 11

Tale dato conferma quanto già riscontrato nella precedente campagna (2014), evidenziando il successo dell'operazione di restauro eseguito nella prateria di Santa Marinella con la formazione, nella maggior parte dei casi, di vere e proprie porzioni di prateria (fig. 10) che si sono generate a partire dalle talee di *Posidonia* reimpiantate tra la fine del 2004 e l'inizio del 2005.

Nella tabella 3 sono riportate le percentuali di sopravvivenza registrate nelle singole radure; le percentuali medie rappresentano percentuali ponderate calcolate in funzione del numero di aree di controllo per ciascuna radura.

Sopravvivenza (%)																										
				2005			2006			2007			2008			2009			2010	2014	2016					
	radure	n° aree	prof (m)	giu.	sett.	dic.	mar	giu.	sett.	dic.	mar.	giu.	sett.	dic.	mar.	giu.	sett.	dic.	mar.	giu.	sett.	dic.	mar.	giu.	set.	
Settore Est	59	3	9	69,2	70,6	68,8	77,3	86,5	87,9	95,4	137,5	147,1	168,8	184,4	180,8	182,9	199,6	175,6	167,5	170,8	194,0	190,2	192,3	433,0	555,0	
	53	2	10	73,8	62,8	51,9	58,4	54,4	48,8	43,1	44,1	38,1	43,1	43,1	39,7	40,9	45,0	40,9	41,9	43,8	41,3	40,9	41,3	122,5	115,3	
	37	1	12	58,8	46,9	42,5	45,6	38,8	38,8	40,6	23,1	26,9	34,4	34,4	27,5	26,9	23,1	12,5	12,5	12,5	14,4	5,6	0,6	49,4	13,8	
	33	2	13	59,7	55,0	48,1	51,6	50,3	43,8	49,4	42,8	40,0	53,1	58,8	56,6	58,8	64,1	56,9	57,5	58,1	63,8	63,4	60,3	107,8	108,8	
Settore Ovest	3	3	9	70,8	70,2	36,0	60,6	59,4	64,8	68,1	83,5	85,0	104,4	106,7	112,9	119,4	131,9	63,5	61,7	35,4	62,7	57,1	59,2	452,3	586,5	
	4	5	10	72,3	66,4	66,8	62,1	60,1	61,0	60,5	67,1	76,1	90,8	98,6	101,4	102,8	112,6	70,4	67,3	68,4	76,9	74,5	77,8	363,0	446,6	
	5	4	10	77,3	71,8	65,8	64,7	63,0	75,9	77,5	60,9	60,6	78,4	79,8	83,3	87,0	92,5	75,2	74,7	82,8	91,3	93,8	94,8	317,4	411,3	
	6	5	8,5	76,3	72,9	64,9	61,9	61,6	69,1	61,4	73,5	75,4	91,3	93,4	94,8	102,8	112,1	83,9	86,9	95,6	114,5	115,4	122,3	507,2	638,4	
	66	2	9	65,6	68,1	62,8	63,1	64,4	66,9	85,3	87,8	87,5	135,9	156,6	146,3	150,0	178,8	160,9	163,4	174,1	192,8	168,1	176,6	349,4	415,0	
	13	3	7,5	84,2	83,9	67,1	87,3	85,0	97,9	97,7	104,2	116,3	120,8	142,9	131,9	133,1	144,4	103,5	104,8	116,5	135,0	137,3	146,9	481,3	521,3	
	67	4	12	74,8	68,4	62,7	50,2	50,6	47,2	48,6	46,3	45,8	44,2	39,2	35,8	32,7	32,2	17,3	16,4	15,0	16,1	13,6	11,1	58,3	48,6	
	69	3	11,5	75,8	70,4	64,4	61,5	51,5	52,5	55,6	42,3	50,0	59,8	57,1	59,8	56,7	62,1	36,0	33,8	35,8	34,0	33,1	34,4	85,8	55,6	
	70	3	11	71,7	68,3	57,9	59,0	56,3	55,0	71,3	70,2	79,4	91,0	104,4	104,2	108,5	116,7	95,4	97,7	105,0	112,1	114,8	121,0	383,3	458,3	
	<i>media settore Est</i>			66,7	61,8	56,1	62,7	63,4	60,9	64,0	76,2	78,0	91,6	98,9	95,3	96,9	105,0	91,9	89,2	91,1	100,8	98,1	97,6	168,6	298,0	
	<i>media settore Ovest</i>			74,7	71,0	61,7	62,8	60,9	65,2	67,6	69,0	73,4	87,5	93,2	93,0	95,6	104,5	73,7	73,6	79,0	87,6	85,7	89,4	325,5	394,0	
	<i>media generale</i>			73,1	69,2	60,6	62,7	61,4	64,4	66,9	70,4	74,4	88,3	94,3	93,5	95,9	104,6	77,3	76,8	81,4	90,3	88,2	91,0	308,3	371,7	

Tabella 3

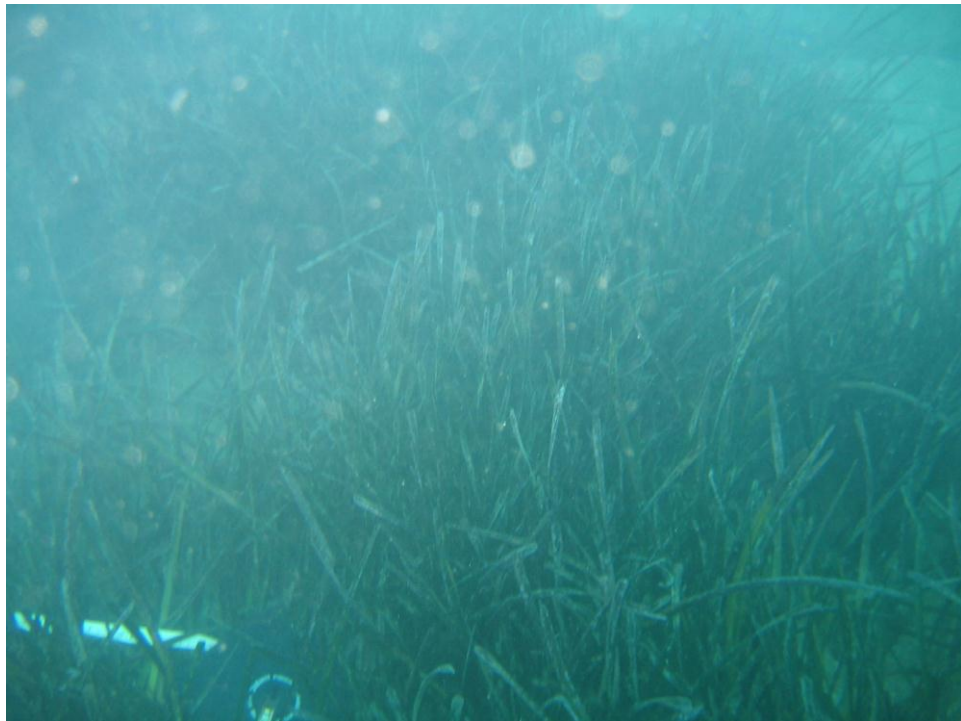


Figura 10

I valori massimi di densità dei fasci fogliari di *Posidonia* reimpiantati sono stati riscontrati nella radura 6 (638,4%), mentre quelli più bassi nella radura 37 con appena il 13,8%: quest'ultima è l'unica radura che presenta un tasso di sopravvivenza di gran lunga al di sotto della soglia del 50%, ovvero del valore soglia considerato come obiettivo minimo in funzione della prevista mortalità fisiologica delle talee impiantate.

Così come evidenziato nella campagna del 2014, quasi tutte le radure presentano valori di sopravvivenza superiori al 100%, ad eccezione di tre (37, 67 e 69) delle quattro radure poste al disotto dei 12 metri di profondità. L'andamento dei valori di densità dei fasci fogliari sembra, infatti, essere influenzato dalle diverse profondità alle quali sono poste le 13 radure e, in particolare, dall'aumento delle condizioni di torbidità che in questa area sono particolarmente elevate e che si intensificano man mano che aumenta la profondità.

In tutte le radure più superficiali, poste tra 7,5 e 9 metri di profondità (radure 3, 6, 13, 59 e 66) il tasso medio di sopravvivenza continua ad essere molto elevato (560,4% - fig. 11) con valori che oscillano tra il 415% nella radura 66 ed il 638,4% nella radura 6. Da sottolineare che in queste radure in molte cornici sono state rilevate densità superiori ai 100 fasci/modulo.

Anche nelle radure poste ad una profondità di circa 10-11 metri (radure 4, 5, 53 e 70) i valori di medi sopravvivenza risultano particolarmente elevati

(384,5% - fig. 11), con un picco massimo raggiunto nella radura 70 (458,3%) ed uno minimo nella radura 53 (115,3%).

Nelle radure poste al di sotto dei 12 metri di profondità (33, 37, 67 e 69) sono stati rilevati valori medi di sopravvivenza molto più bassi (59,3% - fig. 11), con un ulteriore decremento rispetto all'ultimo rilevamento eseguito nel mese di giugno 2014 registrato in 3 delle 4 radure.

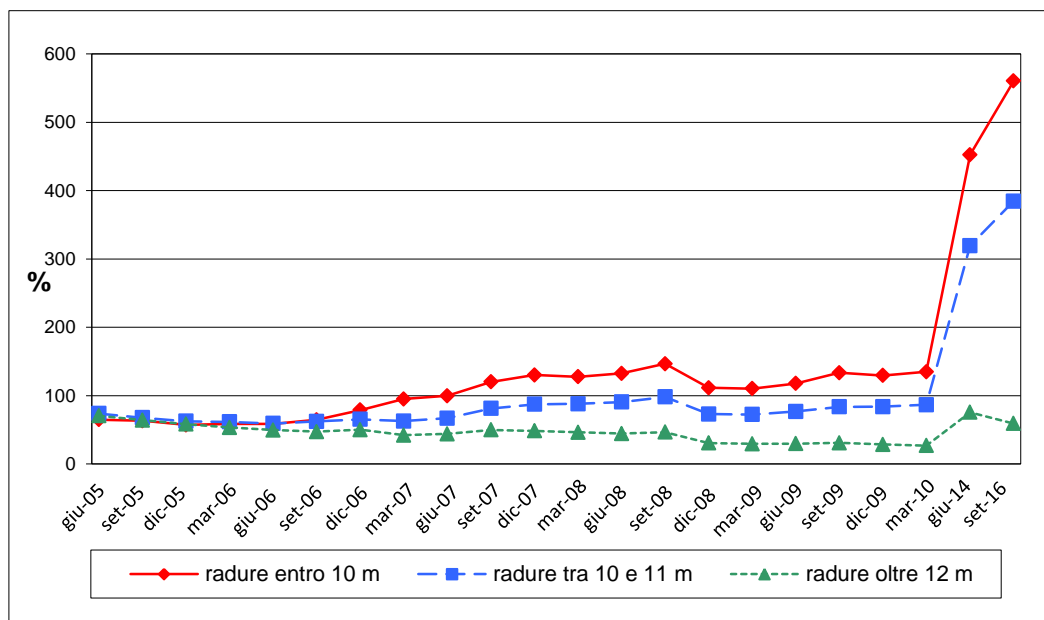


Figura 11

Di seguito viene riportato un breve commento sulla situazione riscontrata nelle singole aree. I risultati sono riportati nell'allegato 1.

### Settore Est

#### Radura 59

In questa radura sono presenti quattro siti di controllo (R1, R2, R3 e R30 new) all'interno dei quali, nel corso di questa campagna di monitoraggio non distruttivo, è stato registrato uno dei più alti tassi medi di sopravvivenza (555%) tra le 13 radure reimpiantate, con un sensibile incremento rispetto al mese di marzo 2014 (+122%).

In tutti e quattro i siti di controllo è stato osservato un elevato numero di fasci fogliari per ciascuno dei moduli destinati al conteggio delle sopravvivenze; il numero massimo di ciuffi (112) è stato riscontrato nel modulo 2 dell'area R1 (fig. 12), mentre il valore medio per modulo è pari a 44,4 fasci/modulo.



*Figura 12*

### *Radura 53*

In questa radura sono presenti due aree di controllo (R4 new e R5) all'interno dei quali la sopravvivenza media osservata al termine di questa campagna risulta pari al 115,3% con un lieve decremento (-7,2%) rispetto alla precedente campagna (2014).

Nei due siti di controllo il numero di fasci fogliari per modulo risulta buono, con un valore medio di 9,2 fasci/modulo ed un numero massimo (38 ciuffi) rilevato nel modulo 19 dell'area R5 (fig. 13).



*Figura 13*

#### *Radura 37*

In questa radura, a causa delle ridotte dimensioni, è stata posizionata una sola area di controllo (R6 new) la cui situazione era già abbastanza compromessa al termine dell'ultima campagna eseguita nel mese di giugno 2014.

In questa campagna il tasso medio di sopravvivenza rilevato si è ulteriormente ridotto con appena il 13,8%; il numero medio di ciuffi fogliari per modulo è molto basso (1,1 fasci/modulo) con un massimo osservato nei moduli 2 e 19 (5 fasci - fig. 14).

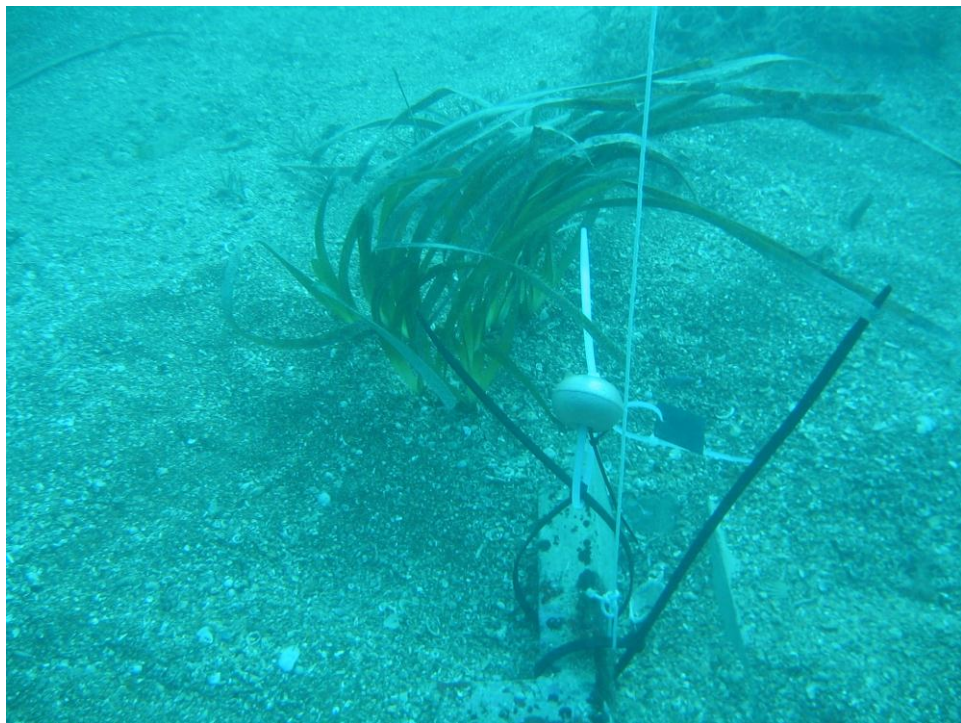


Figura 14

### Radura 33

Nei due siti di controllo (R7 e R8) presenti in questa radura, la percentuale media di sopravvivenza è risultata quella più alta (108,8%) tra le radure poste al disotto dei 12 metri di profondità, così come era stato sempre riscontrato nei cinque anni di monitoraggio, con un lieve aumento (+1%) rispetto alla precedente campagna. Ciò quindi, sembra confermare che questa radura presenta caratteristiche al contorno particolari nonostante l'elevata torbidità di queste acque che attenua notevolmente la penetrazione della luce al di sotto della batimetrica dei 10 metri e, di conseguenza, rende lenta e più difficile la crescita della *Posidonia oceanica*.

Il numero medio di ciuffi per modulo in questa radura è pari a 8,7 fasci/modulo, con un valore massimo di 46 fasci osservato nel modulo 15 del sito R8 (fig. 15).



*Figura 15*

### Settore Ovest

#### *Radura 3*

In questa campagna nei tre siti di controllo (R9, R10 e R11 new) presenti in questa radura, i valori medi di sopravvivenza riscontrati risultano particolarmente elevati (586,5%), con il maggior incremento (+134,2%) evidenziato rispetto alla campagna eseguita nel giugno 2014, grazie alla notevole crescita ed espansione dei nuclei di ricolonizzazione già presenti in questa radura.

Il numero medio di ciuffi per modulo presente è pari a 46,9 con un valore massimo di ben 135 fasci osservato nel modulo 10 del sito R9 (fig. 16).



*Figura 16*

#### *Radura 4*

Questa radura rappresenta il sito di impianto di maggiore estensione con una superficie di oltre 1800 m<sup>2</sup> e, per tale motivo sono stati collocati cinque aree di controllo (R12, R13, R14, R15 e R16 new).

In questa campagna nelle aree di controllo della mortalità gli andamenti delle sopravvivenze sono risultati molto positivi, con aumenti dei tassi di sopravvivenza particolarmente elevati, un valore medio pari al 363% ed un incremento rispetto alla precedente campagna dell'83,6%.

Anche il numero medio di ciuffi per modulo osservato è risultato elevato (35,7 fasci/modulo) con un valore massimo di 154 di fasci fogliari riscontrato nel modulo 2 del sito R12 (fig. 17).



*Figura 17*

#### *Radura 5*

In questa radura, dopo la campagna di monitoraggio effettuata nel 2014, viste le buone condizioni di questa radura, è stato aggiunto un nuovo sito (R23 new) in sostituzione della stazione R23 ubicata nella radura 6.

Per tale motivo sono presenti cinque siti di controllo (R17, R18, R19, R20 e R23 new) nei quali la sopravvivenza media osservata al termine di questa campagna è stata pari al 411,3%, con un incremento rispetto al 2014 del 93,9%.

In tutte e cinque le aree di controllo il numero di fasci fogliari per modulo risulta elevato, con un valore medio di 32,9 fasci/modulo ed un valore massimo di 162 ciuffi rilevato nel modulo 21 dell'area R20 (fig. 18).



*Figura 18*

#### *Radura 6*

Le aree di controllo della mortalità presenti in questa radura, dopo la campagna del 2014, si sono ridotte a quattro (R21, R22, R24 e R25) a causa del fatto che la stazione R23 già al termine dei cinque anni di monitoraggio distruttivo si trovava in cattive condizioni e per tale motivo è stato necessario riallocarla in un altro sito (area 5).

Ciò nonostante proprio in questa radura anche in questa campagna è stato registrato il tasso medio di sopravvivenza più elevato, con un valore pari al 638,4%, con un sensibile aumento (+129,2%) rispetto alla precedente campagna, grazie alla notevole espansione dei nuclei di ricolonizzazione originati dalle talee impiantate particolarmente evidente nell'area R24 all'interno della quale in ciascuno dei 20 moduli di ancoraggio, è presente un cospicuo numero di fasci fogliari con una media addirittura di 106,3 fasci/modulo (fig. 19).

Complessivamente in questa radura, è stato osservato il più alto numero medio di ciuffi per modulo presente (51,1), con un valore massimo di 152 fasci osservato nel modulo 4 del sito R24 (fig. 22).



Figura 19

#### Radura 66

Questa radura, insieme con la 13, costituisce l'area di reimpianto di minori dimensioni ( $250 \text{ m}^2$ ) e per tale motivo erano stati posizionati soltanto due siti di controllo (R26 e R27).

In questa campagna di monitoraggio non distruttivo il tasso medio di sopravvivenza è risultato particolarmente elevato (415%) con un incremento del 65,6% rispetto al 2014. In realtà tale dato è soprattutto dovuto all'area R27 dove nei 20 moduli campione si è osservato un notevole sviluppo dei nuclei di colonizzazione della *Posidonia*, con una densità di ciuffi per modulo pari a 62,7 fasci/modulo.

In generale in questa radura il numero medio di ciuffi per modulo presente è pari a 33,2 fasci/modulo, con un valore massimo di 107 fasci osservato nel modulo 7 della stazione R27 (fig. 20).



Figura 20

### Radura 13

Dei tre siti di controllo (R28, R29 e R30) posizionati in questa radura, l'area R30, già a partire dal mese di dicembre 2008, era stata dismessa a causa dei danni riportati dalle intense mareggiate di quel periodo che l'avevano completamente distrutta. Per tale motivo è stato necessario riallocare questa stazione di controllo in un altro sito, ma non essendo state ritrovate aree in buone condizioni in questa radura, la stazione R30 è stata spostata nella radura 59 (R30 new).

Il tasso medio di sopravvivenza in questa campagna è tra quelli più alti, con un valore pari al 521,3% con un discreto progresso (+40%) rispetto alla campagna effettuata nel 2014.

Anche il numero medio di ciuffi per modulo risulta particolarmente elevato (41,7 fasci/modulo) con un valore massimo (135 fasci) riscontrato nel modulo 14 della stazione R29 (fig. 21).

Anche in questa radura sono stati osservati numerosi casi di formazione di piccole aree di matte nei moduli di ancoraggio della *Posidonia* (fig. 22).



*Figura 21*



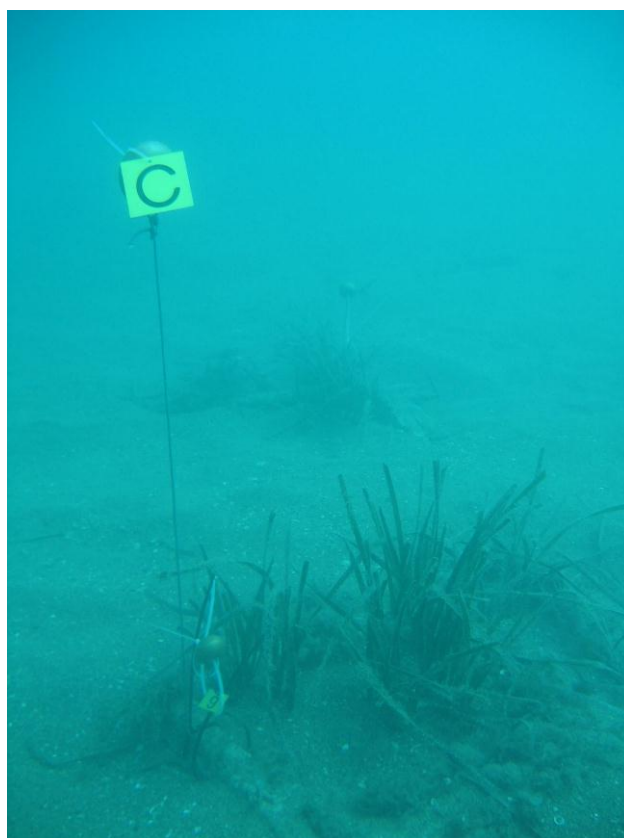
*Figura 22*

### *Radura 67*

In questa radura nei quattro siti di controllo (R31, R32, R33 new e R34) al termine della campagna 2014 i valori medi sopravvivenza dei cinque anni di monitoraggio risultavano particolarmente bassi a causa, probabilmente, delle particolari condizioni al contorno (stato del sedimento, ripple marks, elevata torbidità, ecc.) che avevano pregiudicato il successo del reimpianto.

Anche in questa campagna il tasso di sopravvivenza si è mantenuto su valori bassi (48,6%), con una riduzione del 9,7% rispetto alla precedente campagna.

Il numero medio di ciuffi per modulo presente in questa radura è ulteriormente diminuito (3,9 fasci/modulo), mentre il valore massimo di fasci (37) osservato all'interno di una singola cornice è stato riscontrato nel modulo 1 della stazione R31 (fig. 23).



*Figura 23*

### *Radura 69*

In questa radura sono presenti tre siti di controllo (R35, R36 e R38) all'interno dei quali il tasso medio di sopravvivenza in questa campagna è pari al 55,6%, con una sensibile riduzione (-30,2%) rispetto alla precedente campagna..

Il numero medio di ciuffi per modulo presente in questa radura è pari a 4,5 fasci/modulo, mentre il valore massimo di fasci (44) è stato osservato nel modulo 16 della stazione R36 (fig. 24).



Figura 24

#### *Radura 70*

Nella radura 70 sono state collocate tre aree di controllo (R38, R39 e R40) all'interno delle quali, in questa campagna di monitoraggio, la percentuale media di sopravvivenza è pari al 458,3% con un sensibile incremento (+75%) rispetto al 2014.

I numero medio di ciuffi per modulo risulta particolarmente elevato (36,7 fasci/modulo) ed è il più alto registrato fra le radure poste tra i 10 e gli 11 metri di profondità; la densità maggiore di fasci è stata riscontrata all'interno del modulo 4 della stazione R38 con un valore di 109 ciuffi (fig. 25).

Anche in questa radura sono stati individuati cornici che in molti casi sono state inglobate dalla crescita della *Posidonia*, formando così piccole aree di matte neoformata.



*Figura 25*

## **Conclusioni**

### ***Moduli con le talee di controllo***

Nelle cornici campione presenti in ciascuna delle 40 aree di controllo e contrassegnate da un galleggiante rosso posto a 2 metri dal fondo e una lettera identificativa (A, B, C, ecc.), sono state eseguite una serie di misurazioni in situ e che hanno riguardato, in particolare, la determinazione della lunghezza e della larghezza della foglia più lunga, la determinazione dello stato degli apici, la stima del tessuto bruno e la valutazione qualitativa della comunità epifita delle foglie.

Nel corso delle campagne di monitoraggio distruttivo eseguite nei cinque anni (2005-2010), risultava sempre evidente una netta differenza dei dati fenologici tra le foglie misurate nelle aree di controllo e tra quelle presenti all'interno della prateria in posto limitrofa ai siti di impianto. In particolare, indipendentemente dal periodo dell'anno in cui venivano effettuate le misurazioni, la lunghezza/larghezza delle foglie misurate nella prateria in posto risultava di gran lunga maggiore a quella delle foglie presenti nelle aree di impianto.

Come già rilevato, invece, nel monitoraggio non distruttivo eseguito nel mese di giugno 2014, anche in questa campagna si evidenzia una notevole omogeneità tra i valori di lunghezza/larghezza misurati nelle aree di impianto e quelli rilevati nella prateria in posto.

Allo stesso modo anche la valutazione qualitativa della comunità epifita delle foglie tra le due diverse situazioni, mette in evidenza la somiglianza della composizione del popolamento epifita. La presenza, quindi, di una comunità epifita matura anche sulle foglie dei fasci delle aree di controllo, è il risultato di una situazione ambientale non particolarmente stressata e di una condizione di equilibrio dinamico.

Tutto ciò si può ritenere un ulteriore segnale di conferma che, allo stato attuale, le piante che si sono sviluppate nel corso di questi anni dalle talee impiantate, sono oramai da considerarsi senza dubbio nuove porzioni di prateria destinate a consolidare quella locale.

### ***Prateria in posto***

I dati di densità misurati in questa campagna di monitoraggio non distruttivo nelle porzioni di prateria naturale limitrofe ad alcune aree di controllo

mostrano un netto peggioramento dello stato di salute della prateria di Santa Marinella.

In particolare, rispetto alle ultime misure di densità eseguite tra i mesi di giugno e settembre 2014, il numero di stazioni con densità comprese tra 150 e 300 fasci m<sup>-2</sup> (IV classe – prateria molto rada) aumenta da 4 a ben 11 (stt. M.3, M.4, M.5, M.14, M.15, M.16, M.17, M.18, M.19 e M.20), mentre quelle con densità comprese tra 300 e 400 fasci m<sup>-2</sup> (classe III – prateria rada) rimane a 7 (stt. M.2, M.7, M.8, M.9, M.10, M.11 e M.12). Soltanto 2 (stt. M.1 e M.13), invece, le stazioni in cui si riscontrano densità comprese tra 400 e 700 fasci m<sup>-2</sup> (classe II – prateria densa).

Questo fenomeno non rappresenta un caso isolato, poiché molte altre praterie, in particolar modo lungo la sponda orientale del Tirreno, manifestano ormai da tempo una tendenza alla regressione e ad un peggioramento del loro stato. Le cause sono da ricercarsi nella forte antropizzazione della fascia costiera, oltre che nei modificati apporti di particolato inorganico dovuti alla realizzazione di argini, briglie e dighe nei corsi d'acqua ed alla conseguente diminuzione delle granulometrie veicolate in mare da questi ultimi, che dipende anche da un insieme di fenomeni che va dall'urbanizzazione alla meccanizzazione dell'agricoltura.

Quel che è certo è che gli effetti delle alterazioni del litorale e degli apporti terrigeni ha ridotto la trasparenza media delle acque costiere ed ha creato condizioni meno favorevoli alle praterie di fanoregame rispetto ad un passato anche recente. Ad esempio, questo è il caso dell'ampia prateria che si estende fra il Circeo e Terracina, a proposito della quale Barani *et al.* (2009)<sup>1</sup> scrivevano: “*Gli interventi che sono stati effettuati lungo il litorale pontino in questi ultimi 50 anni, con la loro influenza sulla fascia costiera, assieme alla mancanza di una pianificazione nell'uso del territorio e a misure di controllo, hanno portato all'attuale stato delle praterie. Immediate misure di gestione potrebbero permettere di preservare per lo meno l'attuale stato delle praterie.*”

In questo scenario, i cambiamenti climatici che stanno esacerbando i fenomeni meteorologici, causando ad esempio precipitazioni di particolare intensità concentrate nel tempo, giocano anche un ruolo sfavorevole alla vita delle praterie costiere. Infatti, quando grandi volumi di acque dolci si riversano in mare, essi portano con sé tutto ciò che trovano sul loro percorso,

---

<sup>1</sup> Barani P., Belluscio A., Ardizzone, G.D. (2009). Le praterie di *Posidonia oceanica* (L.) del Lazio meridionale: S.I.C. a rischio estinzione? Biol. Mar. Mediterr. (2009), 16 (1): 128-129.

ma soprattutto grandi quantità di sedimento fine, il più facile da risospendere e trasportare, che in mare permane a lungo nella colonna d'acqua, riducendone la trasparenza con conseguenti danni alle praterie di fanerogame.

Purtroppo, questi fenomeni non sono locali e richiederebbero interventi complessi di gestione del territorio, che dovrebbero essere attuati almeno su scala di bacino.

Dunque, alla luce di quanto appena esposto e di quanto osservato per la prateria in posto, ovvero per l'andamento delle formazioni locali in rapporto all'evoluzione delle condizioni ambientali al contorno, i risultati ottenuti nelle aree trapiantate assumono una rilevanza ancora maggiore. Per quanto riguarda le rese decisamente più modeste della media delle aree di trapianto più profonde, appare evidente che l'incremento della torbidità della colonna d'acqua osservato nel corso degli anni ha giocato un ruolo non secondario ed esso è con tutta probabilità anche la causa del peggioramento delle condizioni della prateria naturale. In questo scenario va rimarcato il fatto che i fasci originati dalle talee trapiantate a suo tempo, prelevate a profondità maggiori di quelle di reimpianto, costituiscono oggi l'unico elemento della prateria che sia capace di contrastare gli effetti dell'aumentata torbidità.

## **ALLEGATO**

### ***Controllo della mortalità delle talee***

***Giugno 2005***

***Settembre 2005***

***Dicembre 2005***

***Marzo 2006***

***Giugno 2006***

***Settembre 2006***

***Dicembre 2006***

***Marzo 2007***

***Giugno 2007***

***Settembre 2007***

***Dicembre 2007***

***Marzo 2008***

***Giugno 2008***

***Settembre 2008***

***Dicembre 2008***

***Marzo 2009***

***Giugno 2009***

***Settembre 2009***

***Dicembre 2009***

***Marzo 2010***

***Giugno 2014***

***Settembre-Dicembre 2016***

**AREA EST**

		Radura 59																				
Stazione	R.1																					
Data	giu-05	set-05	dic-05	mar-06	giu-06	set-06	dic-06	mar-07	giu-07	set-07	dic-07	mar-08	giu-08	set-08	dic-08	mar-09	giu-09	set-09	dic-09	mar-10	giu-14	set-16
Coordinate (UTM/UPS - fuso 32T)	0740025 E 4657988 N																					
prof (m)	9																					
moduli																						
R.1.1	7	4	7	8	8	9	12	11	11	16	17	17	21	23	23	22	23	26	20	22	51	37
R.1.2	6	4	6	4	8	7	8	19	18	19	21	21	21	26	29	29	28	33	28	28	79	112
R.1.3	5	5	4	6	5	10	7	5	6	7	9	8	11	12	14	19	19	17	17	16	63	82
R.1.4	4	4	4	4	4	4	4	3	3	6	7	2	0	0	0	0	0	0	0	0	0	0
R.1.5	6	5	5	5	6	5	6	4	8	9	11	10	11	12	8	10	12	12	12	12	21	11
R.1.6	6	6	5	4	6	13	10	12	12	15	14	17	26	23	14	15	18	14	14	14	23	29
R.1.7	6	5	4	6	6	6	7	7	5	5	6	6	6	8	6	7	7	9	9	10	27	18
R.1.8	6	6	5	8	7	9	9	13	16	17	19	19	24	25	18	20	21	24	24	17	71	103
R.1.9	7	6	6	9	10	9	10	24	23	24	24	24	24	25	25	26	23	24	27	33	46	73
R.1.10	5	5	4	5	7	8	10	14	18	27	23	21	24	24	26	25	28	30	29	54	87	
R.1.11	6	6	5	6	8	10	8	7	7	6	6	6	6	6	3	7	4	4	5	5	9	22
R.1.12	5	5	5	7	5	5	6	6	10	11	11	12	15	18	14	14	18	18	20	59	91	
R.1.13	5	5	5	6	5	9	11	12	9	9	10	11	11	9	9	9	9	9	9	11	27	49
R.1.14	6	6	7	8	8	10	12	16	5	9	21	21	21	23	24	25	27	28	27	29	27	47
R.1.15	6	6	9	9	7	10	12	9	15	12	19	20	18	20	20	20	19	18	17	28	46	67
R.1.16	5	5	6	5	6	8	10	9	14	18	19	19	19	25	26	20	18	19	16	18	46	51
R.1.17	7	6	10	11	12	11	13	12	12	14	12	13	13	16	17	17	17	17	15	23	30	
R.1.18	5	5	4	4	6	6	8	7	7	6	9	5	5	8	8	7	8	8	9	9	43	63
R.1.19	7	7	7	11	10	6	8	14	21	25	27	27	29	35	34	7	7	3	3	5	10	61
R.1.20	7	8	9	10	10	8	10	20	18	23	26	22	24	27	32	30	43	46	42	39	80	28
% sopravviv.	73,1	68,1	73,1	85,0	90,0	101,9	113,1	140,0	148,8	173,8	194,4	188,1	205,6	228,1	217,5	206,3	213,8	223,1	215,0	225,0	503,1	663,1
% mortalità	26,9	31,9	26,9	15,0	10,0	-1,9	-13,1	-40,0	-48,8	-73,8	-94,4	-88,1	-105,6	-128,1	-117,5	-106,3	-113,8	-123,1	-115,0	-125,0	-403,1	-563,1

		Radura 59																				
Stazione	R.2																					
Data	giu-05	set-05	dic-05	mar-06	giu-06	set-06	dic-06	mar-07	giu-07	set-07	dic-07	mar-08	giu-08	set-08	dic-08	mar-09	giu-09	set-09	dic-09	mar-10	giu-14	set-16
Coordinate (UTM/UPS - fuso 32T)	0740010 E 4657991 N																					
prof (m)	9																					
moduli																						
R.2.1	5	6	9	8	10	7	10	16	14	19	23	25	26	27	12	11	7	11	9	9	30	66
R.2.2	6	6	7	4	7	6	9	11	5	14	12	15	15	17	19	20	19	24	24	24	45	82
R.2.3	6	6	6	7	8	3	6	14	8	13	16	12	12	14	8	7	7	9	6	3	20	32
R.2.4	5	6	4	6	9	6	9	17	18	13	22	24	22	20	15	0	0	0	0	0	0	0
R.2.5	6	6	6	6	10	6	8	8	13	10	9	10	10	10	8	3	3	6	6	6	15	63
R.2.6	6	6	6	6	6	6	8	10	16	9	0	0	0	0	0	0	0	0	0	0	0	0
R.2.7	7	7	8	9	10	6	8	15	11	14	22	21	22	23	8	0	0	0	0	0	0	0
R.2.8	4	4	4	5	7	3	6	20	22	24	24	25	25	27	26	26	26	34	34	37	39	53
R.2.9	5	5	5	5	8	5	7	10	15	23	15	15	15	15	14	11	13	14	14	13	27	0
R.2.10	7	8	9	10	10	8	10	17	19	22	24	26	26	32	34	34	35	45	47	47	62	17
R.2.11	4	6	4	4	6	6	7	11	12	18	17	19	18	16	6	5	5	8	8	7	20	49
R.2.12	6	6	6	5	7	3	6	14	11	17	23	20	20	23	27	25	24	27	27	27	61	0
R.2.13	5	4	4	5	6	6	9	14	13	9	12	12	10	10	11	2	3	6	3	17	0	
R.2.14	7	8	8	8	10	8	10	16	16	5	6	5	5	5	4	6	6	7	7	7	33	64
R.2.15	5	7	8	7	8	7	4	4	5	8	9	9	9	10	6	7	6	7	7	7	15	24
R.2.16	5	5	4	7	6	5	7	8	8	13	12	13	13	15	16	19	19	18	18	17	13	0
R.2.17	6	6	5	6	9	7	9	16	17	22	25	27	23	28	23	28	29	32	33	36	43	59
R.2.18	6	7	2	5	5	3	6	9	7	8	10	10	10	10	6	7	7	9	12	12	31	57
R.2.19	5	5	4	4	7	6	8	14	12	12	17	16	12	15	19	24	27	29	32	33	22	0
R.2.20	4	5	6	6	8	8	10	11	14	16	18	16	16	17	11	5	5	8	8	8	30	61
% sopravviv.	68,8	74,4	71,9	76,9	98,1	71,9	98,1	159,4	160,0	180,6	197,5	200,0	193,1	208,8	170,0	155,6	150,0	181,9	186,3	185,0	326,9	391,9
% mortalità	31,3	25,6	28,1	23,1	1,9	28,1	1,9	-59,4	-60,0	-80,6	-97,5	-100,0	-93,1	-108,8	-70,0	-55,6	-50,0	-81,9	-86,3	-85,0	-226,9	-291,9

		Radura 59																				
Stazione	R.3																					
Data	giu-05	set-05	dic-05	mar-06	giu-06	set-06	dic-06	mar-07	giu-07	set-07	dic-07	mar-08	giu-08	set-08	dic-08	mar-09	giu-09	set-09	dic-09	mar-10	giu-14	set-16
Coordinate (UTM/UPS - fuso 32T)	0740000 E 4657997 N																					
prof (m)	9																					
moduli																						
R.3.1	7	7	7	8	7	14	10	7	8	10	12	12	12	14	6	6	7	7	7	8	28	58
R.3.2	6	7	5	6	4	3	1	3	4	5	2	0	0	0	0	0	0	0	0	0	0	0
R.3.3	7	7	4	8	4	5	5	22	15	16	15	4	0	0	0	0	0	0	0	0	0	0
R.3.4	5	5	3	6	7	9	7	12	9	6	12	12	13	15	18	18	18	23	16	16	95	109
R.3.5	4	5	2	5	5	3	3	4	10	15	15	15	15	15	4	6	7	9	12	12	22	48
R.3.6	6	6	5	6	6	6	7	7	8	13	8	8	6	7	7	6	6	6	8	9	23	69
R.3.7	5	7	4	6	3	9	9	6	14	15	15	14	15	18	20	23	25	29	33	29	75	67
R.3.8	7	7	7	9	9	10	7	10	14	17	14	15	14	17	18	23	23	29	23	23	40	9
R.3.9	6	7	6	6	7	10	8	10	6	17	17	19	19	19	18	19	22	25	18	19	52	82
R.3.10	4	4	8	5	5	5	5	7	6	6	6	7	7	9	8	9	10	10	13	13	34	80
R.3.11	4	3	4	3	3	2	2	3	6	4	4	4	4	7	4	4	5	8	8	8	16	42
R.3.12	4	5	4	4	5	5	6	8	13	13	14	14	14	14	14	21	21	25	29	31	31	68
R.3.13	4	6	6	7	6	9	5	7	7	7	9	7	6	6	6	10	11	11	12	10	57	84
R.3.14	3	3	2	3	3	4	4	7	8	8	8	9	9	10	10	11	11	13	8	8	45	72
R.3.15	6	6	6	8	8	13	13	13	19	23	24	21	22	22	16	0	0	0	0	0	0	0
R.3.16	4	3	4	4	5	5	4	5	7	14	10	11	11	11	11	16	19	19	19	19	19	23
R.3.17	5	5	5	6	5	8	5	10	12	15	14	8	8	8	14	0	0	0	0	0	0	0
R.3.18	6	6	6	6	7	7	4	11	12	15	24	33	33	34	9	13	15	21	21	21	85	75
R.3.19	6	6	5	6	6	8	6	12	13	14	17	16	16	17	18	21	17	20	22	21	20	23
R.3.20	6	5	5	6	9	9	9	17	21	21	18	18	16	16	15	19	17	24	20	20	72	93
% sopravviv.	65,6	68,8	61,3	73,8	71,3	90,0	75,0	113,1	132,5	158,8	161,3	154,4	150,0	161,9	139,4	140,6	148,8	176,9	169,4	166,9	471,9	618,1
% mortalità	34,4	31,3	38,8	26,3	28,8	10,0	25,0	-13,1	-32,5	-58,8	-61,3	-54,4	-50,0	-61,9	-39,4	-40,6	-48,8	-76,9	-69,4	-66,9	-371,9	-518,1

Radura 59		
Stazione	R.30 new	
Data	giu-14	set-16
Coordinate (UTM/UPS - fuso 32T)	0740001 E 4658005 N	
prof (m)	9,5	
moduli		
R.3.1	50	60
R.3.2	25	42
R.3.3	19	20
R.3.4	30	34
R.3.5	92	11
R.3.6	45	91
R.3.7	33	78
R.3.8	34	34
R.3.9	15	19
R.3.10	23	44
R.3.11	31	45
R.3.12	56	44
R.3.13	35	32
R.3.14	63	85
R.3.15	13	15
R.3.16	25	39
R.3.17	43	61
R.3.18	11	17
R.3.19	31	85
R.3.20	14	19
% sopravviv.	<b>430,0</b>	<b>546,9</b>
% mortalità	-330,0	-446,9

**Radura 53**

<b>Stazione</b>	R.4																			R.4 new			
<b>Data</b>	giu-05	set-05	dic-05	mar-06	giu-06	set-06	dic-06	mar-07	giu-07	set-07	dic-07	mar-08	giu-08	set-08	dic-08	mar-09	giu-09	set-09	dic-09	mar-10	giu-14	set-16	
<b>Coordinate (UTM/UPS - fuso 32T)</b>	0740052 E 4657922 N																				0740056 E 4657937 N		
<b>prof (m)</b>	10																						
<b>moduli</b>																							
R.4.1	4	3	4	3	4	3	3	1	0	0	0	0	0	0	0	0	0	0	0	0	31	25	
R.4.2	4	2	2	5	4	5	6	0	0	0	0	0	0	0	0	0	0	0	0	0	0	2	3
R.4.3	5	4	3	6	5	4	2	0	0	0	0	0	0	0	0	0	0	0	0	0	0	5	5
R.4.4	6	5	4	5	3	3	2	3	2	3	4	2	2	3	0	0	0	0	0	0	0	12	18
R.4.5	6	7	5	5	4	2	1	3	0	0	0	0	0	0	0	0	0	0	0	0	0	21	9
R.4.6	6	3	4	5	4	4	2	6	2	4	4	4	4	4	0	0	0	0	0	0	0	0	4
R.4.7	5	6	6	6	5	3	3	6	0	0	0	0	0	0	0	0	0	0	0	0	0	7	8
R.4.8	6	6	4	4	3	3	2	2	3	3	1	0	0	0	0	0	0	0	0	0	0	3	2
R.4.9	5	5	4	6	5	5	4	4	2	6	3	0	0	0	0	0	0	0	0	0	0	4	4
R.4.10	4	4	5	5	5	4	4	0	0	0	0	0	0	0	0	0	0	0	0	0	0	2	3
R.4.11	8	7	6	5	5	2	3	5	4	4	5	0	0	0	0	0	0	0	0	0	0	8	8
R.4.12	7	7	5	6	3	3	2	1	1	1	1	0	0	0	0	0	0	0	0	0	0	7	7
R.4.13	7	6	5	6	5	4	2	0	0	0	0	0	0	0	0	0	0	0	0	0	0	5	5
R.4.14	5	5	5	5	4	4	4	0	0	0	0	0	0	0	0	0	0	0	0	0	0	5	1
R.4.15	6	6	5	4	5	4	4	2	3	2	3	2	2	3	3	0	0	0	0	0	0	8	22
R.4.16	5	2	2	2	5	2	2	0	0	0	0	0	0	0	0	0	0	0	0	0	0	18	21
R.4.17	6	6	2	4	4	4	3	0	0	0	0	0	0	0	0	0	0	0	0	0	0	5	4
R.4.18	7	7	3	2	2	2	1	0	0	0	0	0	0	0	0	0	0	0	0	0	0	5	5
R.4.19	5	4	4	7	4	2	1	1	1	1	2	0	0	0	0	0	0	0	0	0	0	26	7
R.4.20	6	5	3	3	3	3	3	2	1	1	0	0	0	0	0	0	0	0	0	0	0	4	5
<b>% sopravviv.</b>	<b>70,6</b>	<b>62,5</b>	<b>50,6</b>	<b>58,8</b>	<b>51,3</b>	<b>41,3</b>	<b>33,8</b>	<b>22,5</b>	<b>11,9</b>	<b>15,6</b>	<b>14,4</b>	<b>5,0</b>	<b>5,0</b>	<b>6,3</b>	<b>1,9</b>	<b>0,0</b>	<b>0,0</b>	<b>0,0</b>	<b>0,0</b>	<b>0,0</b>	<b>113,8</b>	<b>103,8</b>	
<b>% mortalità</b>	29,4	37,5	49,4	41,3	48,8	58,8	66,3	77,5	88,1	84,4	85,6	95,0	95,0	93,8	98,1	100,0	100,0	100,0	100,0	100,0	-13,8	-3,8	

**Radura 53**

<b>Stazione</b>	R.5																					
<b>Data</b>	giu-05	set-05	dic-05	mar-06	giu-06	set-06	dic-06	mar-07	giu-07	set-07	dic-07	mar-08	giu-08	set-08	dic-08	mar-09	giu-09	set-09	dic-09	mar-10	giu-14	set-16
<b>Coordinate (UTM/UPS - fuso 32T)</b>	0740051 E 4657962 N																					
<b>prof (m)</b>	10																					
<b>moduli</b>																						
R.5.1	7	5	4	5	6	5	5	8	7	7	7	7	7	10	10	8	5	5	1	1	11	12
R.5.2	6	5	4	7	7	7	4	5	4	4	4	3	3	4	3	3	3	3	3	3	7	11
R.5.3	7	6	6	4	4	4	5	3	6	3	3	3	3	5	6	6	6	3	3	3	5	0
R.5.4	6	3	5	4	4	4	5	6	6	7	7	7	7	9	7	8	7	8	8	12	21	
R.5.5	8	6	4	6	6	6	6	7	7	9	10	10	10	10	10	10	11	12	12	12	9	2
R.5.6	5	3	1	5	5	5	5	8	7	10	10	12	13	13	14	16	21	20	22	22	38	36
R.5.7	5	4	5	5	6	6	5	7	6	7	6	6	7	7	6	7	6	6	7	6	6	8
R.5.8	5	4	3	3	3	3	3	6	4	4	4	4	4	3	3	3	3	4	4	5	5	5
R.5.9	8	7	5	4	4	6	5	3	3	4	5	5	5	5	2	3	3	3	3	3	11	22
R.5.10	7	7	6	5	4	3	2	3	4	5	5	6	6	7	9	9	9	8	6	6	4	1
R.5.11	5	3	5	6	4	5	6	5	4	6	5	6	6	6	2	2	2	2	2	2	9	3
R.5.12	7	6	5	5	6	4	4	5	4	5	5	5	6	7	8	8	8	6	4	5	12	2
R.5.13	7	8	3	5	5	5	2	6	6	5	6	7	7	7	4	4	4	4	4	4	6	11
R.5.14	6	4	6	4	3	2	5	3	3	4	3	2	2	2	3	4	4	4	5	5	7	7
R.5.15	7	7	5	3	5	3	3	3	2	3	3	3	3	3	3	3	2	2	2	2	4	0
R.5.16	6	6	3	5	5	5	4	6	7	6	5	5	5	5	6	6	6	6	7	7	12	8
R.5.17	5	4	4	4	4	4	3	7	5	5	6	7	7	7	5	5	5	5	5	2	10	12
R.5.18	4	3	4	4	5	6	4	5	5	5	6	6	6	6	6	7	7	7	8	4	4	
R.5.19	6	5	2	5	3	4	4	4	6	8	9	9	9	13	13	17	17	17	18	18	34	38
R.5.20	6	5	5	4	3	3	4	5	7	6	6	6	7	7	6	7	8	8	9	9	4	0
<b>% sopravviv.</b>	<b>76,9</b>	<b>63,1</b>	<b>53,1</b>	<b>58,1</b>	<b>57,5</b>	<b>56,3</b>	<b>52,5</b>	<b>65,6</b>	<b>64,4</b>	<b>70,6</b>	<b>71,9</b>	<b>74,4</b>	<b>76,9</b>	<b>83,8</b>	<b>80,0</b>	<b>83,8</b>	<b>87,5</b>	<b>82,5</b>	<b>81,9</b>	<b>82,5</b>	<b>131,3</b>	<b>126,9</b>
<b>% mortalità</b>	<b>23,1</b>	<b>36,9</b>	<b>46,9</b>	<b>41,9</b>	<b>42,5</b>	<b>43,8</b>	<b>47,5</b>	<b>34,4</b>	<b>35,6</b>	<b>29,4</b>	<b>28,1</b>	<b>25,6</b>	<b>23,1</b>	<b>16,3</b>	<b>20,0</b>	<b>16,3</b>	<b>12,5</b>	<b>17,5</b>	<b>18,1</b>	<b>17,5</b>	<b>-31,3</b>	<b>-26,9</b>

**Radura 37**

<b>Stazione</b>	R.6																			R.6 new			
<b>Data</b>	giu-05	set-05	dic-05	mar-06	giu-06	set-06	dic-06	mar-07	giu-07	set-07	dic-07	mar-08	giu-08	set-08	dic-08	mar-09	giu-09	set-09	dic-09	mar-10	mar-10	set-16	
<b>Coordinate (UTM/UPS - fuso 32T)</b>	0740121 E 4657875 N																				0740111 E 4657863 N		
<b>prof (m)</b>	12,5																						
<b>moduli</b>																							
<b>R.6.1</b>	5	2	2	3	3	6	7	1	1	2	3	2	2	3	0	0	0	0	0	0	2	2	
<b>R.6.2</b>	4	4	3	4	3	3	7	4	5	7	5	4	6	0	0	0	0	0	0	0	8	5	
<b>R.6.3</b>	6	7	7	3	3	3	4	3	8	3	0	0	0	0	0	0	0	0	0	0	6	2	
<b>R.6.4</b>	5	3	3	3	3	4	3	3	4	3	5	3	3	4	0	0	0	0	0	0	0	0	
<b>R.6.5</b>	5	1	3	4	3	4	3	3	6	1	0	0	0	0	0	0	0	0	0	0	13	0	
<b>R.6.6</b>	5	3	3	3	3	4	2	1	1	2	0	0	0	0	0	0	0	0	0	0	0	0	
<b>R.6.7</b>	4	4	4	3	3	3	3	2	1	3	2	3	3	5	0	0	0	0	0	0	0	0	
<b>R.6.8</b>	5	5	5	5	4	4	1	1	3	5	5	5	4	3	3	3	3	1	1	0	0	0	
<b>R.6.9</b>	4	5	4	4	3	3	3	2	1	0	0	0	0	0	0	0	0	0	0	0	4	2	
<b>R.6.10</b>	7	6	5	4	3	2	2	1	1	2	3	3	3	3	3	3	3	3	3	0	0	8	2
<b>R.6.11</b>	4	4	4	4	4	3	1	1	1	0	0	0	0	0	0	0	0	0	0	0	0	4	1
<b>R.6.12</b>	4	4	4	5	3	3	2	1	1	0	0	0	0	0	0	0	0	0	0	0	0	0	
<b>R.6.13</b>	5	3	1	5	4	3	5	2	3	4	4	4	2	2	2	2	2	4	0	0	0	0	
<b>R.6.14</b>	4	3	2	4	3	3	3	2	6	5	3	3	0	0	0	0	0	0	0	0	0	0	
<b>R.6.15</b>	5	5	4	4	3	2	4	1	1	4	5	5	5	5	1	1	1	1	0	0	0	0	
<b>R.6.16</b>	4	3	5	2	2	3	1	1	1	2	2	2	1	1	0	0	0	0	0	0	0	0	
<b>R.6.17</b>	5	3	2	4	2	2	1	1	1	2	3	3	3	3	3	3	3	3	0	0	10	3	
<b>R.6.18</b>	5	5	2	4	3	3	3	2	2	5	5	6	6	6	7	7	7	8	8	0	8	0	
<b>R.6.19</b>	4	2	2	2	3	2	3	3	1	3	4	1	1	1	1	1	1	1	0	0	5	5	
<b>R.6.20</b>	4	3	3	3	3	2	4	1	1	3	4	0	0	0	0	0	0	0	0	0	11	0	
<b>% sopravviv.</b>	<b>58,8</b>	<b>46,9</b>	<b>42,5</b>	<b>45,6</b>	<b>38,8</b>	<b>38,8</b>	<b>40,6</b>	<b>23,1</b>	<b>26,9</b>	<b>34,4</b>	<b>34,4</b>	<b>27,5</b>	<b>26,9</b>	<b>23,1</b>	<b>12,5</b>	<b>12,5</b>	<b>14,4</b>	<b>5,6</b>	<b>0,6</b>	<b>49,4</b>	<b>13,8</b>		
<b>% mortalità</b>	<b>41,3</b>	<b>53,1</b>	<b>57,5</b>	<b>54,4</b>	<b>61,3</b>	<b>61,3</b>	<b>59,4</b>	<b>76,9</b>	<b>73,1</b>	<b>65,6</b>	<b>65,6</b>	<b>72,5</b>	<b>73,1</b>	<b>76,9</b>	<b>87,5</b>	<b>87,5</b>	<b>85,6</b>	<b>94,4</b>	<b>99,4</b>	<b>50,6</b>	<b>86,3</b>		

**Radura 33**

Stazione	R.7																						
Data	giu-05	set-05	dic-05	mar-06	giu-06	set-06	dic-06	mar-07	giu-07	set-07	dic-07	mar-08	giu-08	set-08	dic-08	mar-09	giu-09	set-09	dic-09	mar-10	giu-14	set-16	
Coordinate (UTM/UPS - fuso 32T)	0739952 E 4657814 N																						
prof (m)	13,5																						
moduli																							
R.7.1	7	7	7	7	7	2	5	5	4	6	8	8	10	10	3	3	3	3	3	4	13	12	
R.7.2	5	5	4	5	5	1	6	4	2	1	2	0	0	0	0	0	0	0	0	0	0	0	
R.7.3	4	4	4	5	4	3	6	4	4	6	8	8	7	7	7	7	6	8	6	6	7	1	
R.7.4	4	4	3	3	3	3	3	3	2	5	5	4	4	5	7	7	8	9	10	4	13	2	
R.7.5	4	3	2	3	3	3	3	3	4	4	5	5	5	5	5	5	3	3	3	3	8	10	
R.7.6	3	4	4	4	4	4	4	4	4	7	10	7	8	9	10	5	7	7	7	8	6	11	
R.7.7	5	4	3	3	3	3	4	3	3	6	7	0	0	0	0	0	0	0	0	0	0	0	
R.7.8	5	5	5	4	4	3	2	3	3	3	0	0	0	0	0	0	0	0	0	0	0	0	
R.7.9	4	3	3	3	4	4	4	3	3	3	4	4	3	3	6	6	7	7	6	4	7	11	
R.7.10	4	4	2	3	3	3	4	3	3	5	5	5	5	5	4	4	5	6	5	5	9	6	
R.7.11	6	4	2	4	3	4	3	3	2	3	2	2	1	1	1	1	1	2	3	3	8	16	
R.7.12	5	5	2	4	3	3	3	3	3	5	7	7	6	6	5	5	5	5	6	5	8	0	
R.7.13	4	4	5	4	5	5	5	3	3	3	0	0	0	0	0	0	0	0	0	0	0	0	
R.7.14	4	4	4	3	5	2	6	4	4	4	5	3	3	3	3	3	3	4	4	4	4	4	
R.7.15	5	4	3	4	4	2	3	3	1	1	1	1	1	2	2	2	1	1	1	1	8	10	
R.7.16	4	4	4	5	4	5	2	1	1	2	0	0	0	0	0	0	0	0	0	0	0	0	
R.7.17	4	3	5	2	2	3	3	3	3	2	2	2	3	3	4	4	4	4	5	4	4	5	
R.7.18	5	4	3	4	3	3	3	3	3	4	6	6	6	6	6	7	6	6	5	4	5	3	
R.7.19	4	3	3	4	4	4	2	2	2	2	4	4	4	2	2	2	2	2	2	3	6	1	
R.7.20	4	3	3	5	2	4	3	4	1	1	1	1	1	2	2	2	2	2	2	0	0	0	
% sopravviv.	56,3	50,6	44,4	49,4	46,9	40,0	47,5	40,0	34,4	45,6	51,3	41,9	41,9	43,1	41,9	39,4	39,4	43,1	42,5	36,3	66,3	57,5	
% mortalità	43,8	49,4	55,6	50,6	53,1	60,0	52,5	60,0	65,6	54,4	48,8	58,1	58,1	56,9	58,1	60,6	60,6	56,9	57,5	63,8	33,8	42,5	

**Radura 33**

<b>Stazione</b>	R.8																					
<b>Data</b>	giu-05	set-05	dic-05	mar-06	giu-06	set-06	dic-06	mar-07	giu-07	set-07	dic-07	mar-08	giu-08	set-08	set-08	mar-09	giu-09	set-09	dic-09	mar-10	giu-14	set-16
<b>Coordinate (UTM/UPS - fuso 32T)</b>	0739935 E 4657818 N																					
<b>prof (m)</b>	13																					
<b>moduli</b>																						
<b>R.8.1</b>	6	6	6	4	4	6	4	4	4	7	9	9	11	11	10	10	10	10	9	10	11	5
<b>R.8.2</b>	6	7	5	6	6	6	4	3	3	3	2	3	3	5	5	6	6	7	7	9	5	8
<b>R.8.3</b>	5	6	4	3	3	3	5	6	6	8	7	8	7	9	6	7	4	7	6	8	12	12
<b>R.8.4</b>	7	5	5	4	5	4	4	3	3	4	6	6	6	7	6	9	9	9	8	10	60	8
<b>R.8.5</b>	6	6	6	6	6	4	7	6	5	8	7	5	5	5	4	4	4	3	3	5	3	16
<b>R.8.6</b>	5	6	5	5	5	3	4	1	1	0	0	0	0	0	0	0	0	0	0	0	0	0
<b>R.8.7</b>	5	6	1	4	5	3	2	1	1	1	1	1	1	2	2	0	0	0	0	0	0	0
<b>R.8.8</b>	4	4	5	6	2	3	3	2	2	2	2	2	2	2	2	2	3	5	5	6	2	3
<b>R.8.9</b>	5	4	4	5	5	5	4	5	5	10	9	9	10	14	4	5	5	6	6	7	22	36
<b>R.8.10</b>	5	3	3	4	3	3	3	3	3	3	5	5	5	5	7	8	9	9	7	12	16	23
<b>R.8.11</b>	5	3	3	4	3	3	3	3	3	4	4	7	7	8	7	8	8	7	7	8	32	34
<b>R.8.12</b>	5	4	4	3	4	3	3	3	3	2	3	3	2	2	3	3	3	4	5	3	9	9
<b>R.8.13</b>	6	6	6	4	5	5	6	5	7	7	8	12	12	9	5	5	7	7	7	2	15	26
<b>R.8.14</b>	4	4	4	4	5	3	4	2	1	0	0	0	0	0	0	0	0	0	0	0	0	0
<b>R.8.15</b>	5	2	2	2	3	2	3	3	4	8	8	8	8	10	10	7	7	7	7	7	25	46
<b>R.8.16</b>	5	5	5	6	6	6	6	7	7	13	13	14	17	19	16	18	20	21	23	21	5	10
<b>R.8.17</b>	4	5	3	5	4	3	3	2	1	0	0	0	0	0	0	0	0	0	0	0	0	0
<b>R.8.18</b>	4	4	4	4	3	5	5	5	5	6	6	6	8	10	9	9	9	15	18	9	6	5
<b>R.8.19</b>	4	4	4	4	3	3	3	4	5	6	6	6	7	8	10	9	9	7	9	9	9	8
<b>R.8.20</b>	5	6	4	3	6	3	6	6	5	6	10	10	11	11	11	10	10	9	10	9	7	7
<b>% sopravviv.</b>	<b>63,1</b>	<b>60,0</b>	<b>51,9</b>	<b>53,8</b>	<b>53,8</b>	<b>47,5</b>	<b>51,3</b>	<b>45,6</b>	<b>45,6</b>	<b>60,6</b>	<b>66,3</b>	<b>71,3</b>	<b>75,6</b>	<b>85,0</b>	<b>71,9</b>	<b>75,6</b>	<b>76,9</b>	<b>84,4</b>	<b>84,4</b>	<b>84,4</b>	<b>149,4</b>	<b>160,0</b>
<b>% mortalità</b>	<b>36,9</b>	<b>40,0</b>	<b>48,1</b>	<b>46,3</b>	<b>46,3</b>	<b>52,5</b>	<b>48,8</b>	<b>54,4</b>	<b>54,4</b>	<b>39,4</b>	<b>33,8</b>	<b>28,8</b>	<b>24,4</b>	<b>15,0</b>	<b>28,1</b>	<b>24,4</b>	<b>23,1</b>	<b>15,6</b>	<b>15,6</b>	<b>15,6</b>	<b>-49,4</b>	<b>-60,0</b>

**AREA OVEST**

		Radura 3																				
Stazione	R.9																					
Data	giu-05	set-05	dic-05	mar-06	giu-06	set-06	dic-06	mar-07	giu-07	set-07	dic-07	mar-08	giu-08	set-08	dic-08	mar-09	giu-09	set-09	dic-09	mar-10	giu-14	set-16
Coordinate (UTM/UPS - fuso 32T)	0738661 E 4657885 N																					
prof (m)	9																					
moduli																						
R.9.1	7	7	5	4	4	5	5	11	9	12	15	15	15	18	16	20	21	21	26	21	53	69
R.9.2	5	5	2	2	1	1	3	5	5	5	7	10	10	12	10	10	9	9	6	6	21	46
R.9.3	7	7	6	6	5	4	7	11	8	11	10	10	9	9	0	0	0	0	0	0	0	0
R.9.4	5	4	2	5	3	3	5	4	6	1	3	3	4	4	4	0	0	0	0	0	0	0
R.9.5	6	5	3	3	2	2	1	1	1	1	1	1	2	2	1	0	0	0	0	0	0	0
R.9.6	7	5	4	5	5	7	4	9	8	11	9	12	15	17	17	17	16	17	17	17	19	59
R.9.7	4	4	4	5	6	5	9	9	11	13	18	18	21	24	24	9	12	10	10	10	32	69
R.9.8	7	6	8	4	3	6	6	5	7	8	11	11	12	14	0	0	0	0	0	0	0	0
R.9.9	6	4	7	5	6	9	9	13	16	12	17	20	22	25	13	14	15	15	15	15	119	128
R.9.10	5	4	5	4	4	4	3	1	5	5	4	4	6	4	8	9	8	8	12	8	77	97
R.9.11	5	6	7	7	6	8	6	10	9	13	9	9	8	10	0	0	0	0	0	0	0	0
R.9.12	6	4	5	5	4	5	5	10	9	9	11	11	13	15	18	24	28	27	29	30	152	135
R.9.13	6	6	4	4	4	4	4	6	6	6	10	13	12	15	0	0	0	0	0	0	0	0
R.9.14	6	5	4	6	5	5	1	4	5	8	12	12	12	13	6	7	7	7	7	9	52	56
R.9.15	6	5	5	6	5	6	5	7	5	7	8	9	13	14	0	0	0	0	0	0	0	0
R.9.16	6	3	3	4	4	3	4	8	5	6	6	6	7	7	0	0	0	0	0	0	0	0
R.9.17	5	4	6	3	3	2	5	5	5	6	9	9	10	10	10	0	0	0	0	0	0	0
R.9.18	7	6	6	5	4	9	6	4	2	4	5	5	5	5	5	0	0	0	0	0	0	0
R.9.19	4	4	2	3	5	3	2	5	7	9	0	0	0	0	0	0	0	0	0	0	0	0
R.9.20	4	5	3	4	4	3	2	2	2	1	0	0	0	0	0	0	0	0	0	0	0	0
% sopravviv.	71,3	61,9	56,9	56,3	51,9	58,8	57,5	81,3	81,9	92,5	103,1	111,3	122,5	136,3	82,5	68,1	73,1	71,3	76,3	73,8	353,1	432,5
% mortalità	28,8	38,1	43,1	43,8	48,1	41,3	42,5	18,8	18,1	7,5	-3,1	-11,3	-22,5	-36,3	17,5	31,9	26,9	28,8	23,8	26,3	-253,1	-332,5

**Radura 3**

<b>Stazione</b>	R.10																					
<b>Data</b>	giu-05	set-05	dic-05	mar-06	giu-06	set-06	dic-06	mar-07	giu-07	set-07	dic-07	mar-08	giu-08	set-08	dic-08	mar-09	giu-09	set-09	dic-09	mar-10	giu-14	set-16
<b>Coordinate (UTM/UPS - fuso 32T)</b>	0738660 E 4657867 N																					
<b>prof (m)</b>	9,5																					
<b>moduli</b>																						
<b>R.10.1</b>	5	6	3	5	6	5	4	8	6	6	5	7	9	9	7	9	8	11	9	9	42	54
<b>R.10.2</b>	6	8	5	5	5	3	5	7	7	8	4	8	8	7	0	0	0	0	0	0	0	0
<b>R.10.3</b>	5	7	3	5	6	4	3	6	3	3	4	4	4	4	5	5	6	5	4	3	78	43
<b>R.10.4</b>	6	7	2	5	4	4	4	4	4	4	4	4	2	2	2	2	0	0	0	0	0	0
<b>R.10.5</b>	5	4	5	5	5	4	6	7	6	9	10	10	11	12	0	0	0	0	0	0	0	0
<b>R.10.6</b>	6	7	4	5	5	5	4	4	2	1	2	0	0	0	0	0	0	0	0	0	0	0
<b>R.10.7</b>	5	5	4	6	6	6	5	8	6	7	8	9	10	11	12	13	16	12	11	11	26	31
<b>R.10.8</b>	6	7	3	5	5	5	5	6	5	7	9	8	8	10	10	12	10	10	10	10	11	51
<b>R.10.9</b>	7	8	2	7	7	10	10	10	8	10	10	11	11	13	13	15	18	15	16	18	42	45
<b>R.10.10</b>	5	4	4	5	6	6	5	9	10	9	13	13	10	12	12	9	11	9	6	7	28	40
<b>R.10.11</b>	6	4	2	6	6	6	6	8	6	8	12	12	13	19	21	10	11	10	10	11	36	56
<b>R.10.12</b>	4	5	7	5	5	6	7	10	11	13	13	13	15	17	15	17	20	17	13	14	19	22
<b>R.10.13</b>	4	4	3	6	5	10	11	10	10	15	15	17	17	18	15	15	16	18	18	20	37	58
<b>R.10.14</b>	7	7	5	5	6	7	9	11	11	5	6	11	11	13	0	0	0	0	0	0	0	0
<b>R.10.15</b>	6	7	7	4	6	6	7	7	6	6	11	13	13	4	10	11	11	16	9	9	33	44
<b>R.10.16</b>	5	5	3	7	5	7	9	10	10	15	5	0	0	0	0	0	0	0	0	0	0	0
<b>R.10.17</b>	6	5	5	8	7	6	5	6	3	6	3	1	1	1	0	0	0	0	0	0	0	0
<b>R.10.18</b>	5	5	6	6	7	6	9	12	9	15	16	17	18	17	19	21	21	10	16	15	33	53
<b>R.10.19</b>	4	4	5	5	6	7	7	9	7	11	14	17	17	17	17	18	17	13	12	13	30	46
<b>R.10.20</b>	6	6	4	4	5	5	7	7	8	12	14	11	14	17	15	14	14	17	15	22	38	47
<b>% sopravviv.</b>	68,1	71,9	51,3	68,1	70,6	73,8	80,0	99,4	86,3	106,3	111,3	115,0	120,0	126,9	108,1	105,6	111,9	101,9	93,1	101,9	308,1	371,9
<b>% mortalità</b>	31,9	28,1	48,8	31,9	29,4	26,3	20,0	0,6	13,8	-6,3	-11,3	-15,0	-20,0	-26,9	-8,1	-5,6	-11,9	-1,9	6,9	-1,9	-208,1	-271,9

**Radura 3**

<b>Stazione</b>	R.11																			R.11 new		
<b>Data</b>	giu-05	set-05	dic-05	mar-06	giu-06	set-06	dic-06	mar-07	giu-07	set-07	dic-07	mar-08	giu-08	set-08	dic-08	mar-09	giu-09	set-09	dic-09	mar-10	giu-14	set-16
<b>Coordinate (UTM/UPS - fuso 32T)</b>	0738630 E 4657889 N																			0738638 E 4657877 N		
<b>prof (m)</b>	9,5																				10	
<b>moduli</b>																						
<b>R.11.1</b>	6	6	6	6	5	5	6	4	4	4	7	7	7	9	0	0	0	0	0	0	64	100
<b>R.11.2</b>	7	7	3	3	2	3	3	2	2	3	3	3	4	4	6	6	6	9	0	0	72	105
<b>R.11.3</b>	7	8	3	2	1	2	2	3	2	4	3	4	4	4	3	3	3	3	0	0	29	34
<b>R.11.4</b>	6	7	3	3	3	5	4	6	6	9	8	10	10	12	2	2	2	3	3	3	15	32
<b>R.11.5</b>	6	7	4	4	2	2	2	2	2	3	4	4	4	5	0	0	0	0	0	0	53	69
<b>R.11.6</b>	7	9	8	8	9	8	9	11	14	24	22	24	31	28	0	0	0	0	0	0	94	122
<b>R.11.7</b>	5	6	3	4	2	3	4	5	9	3	4	4	5	6	0	0	0	0	0	0	67	78
<b>R.11.8</b>	5	5	4	6	5	4	7	6	8	8	11	12	11	14	0	0	0	0	0	0	37	62
<b>R.11.9</b>	5	5	5	7	7	7	9	8	11	16	18	21	20	24	0	0	0	0	0	0	44	46
<b>R.11.10</b>	6	6	6	5	5	4	4	4	5	7	8	8	9	14	0	0	0	0	0	0	37	55
<b>R.11.11</b>	6	5	3	3	5	8	8	8	12	5	0	0	0	0	0	0	0	0	0	0	24	46
<b>R.11.12</b>	6	6	6	5	6	10	8	6	9	15	15	15	15	19	7	7	7	9	0	0	61	73
<b>R.11.13</b>	7	4	4	8	7	8	10	10	13	16	4	4	4	5	0	0	0	0	0	0	68	116
<b>R.11.14</b>	5	5	6	4	6	6	4	6	7	12	13	16	14	15	0	0	0	0	0	0	97	113
<b>R.11.15</b>	5	5	3	3	2	2	3	3	4	6	3	0	0	0	0	0	0	0	0	0	41	35
<b>R.11.16</b>	5	8	4	6	6	6	8	7	6	11	10	11	10	11	0	0	0	0	0	0	51	64
<b>R.11.17</b>	6	6	3	3	4	4	5	7	7	8	9	10	10	10	0	0	0	0	0	0	74	91
<b>R.11.18</b>	4	7	3	4	3	5	5	5	8	12	10	10	10	12	0	0	0	0	0	0	61	85
<b>R.11.19</b>	6	5	4	4	4	3	3	4	4	7	9	9	10	0	0	0	0	0	0	0	48	76
<b>R.11.20</b>	7	7	5	4	5	4	3	5	6	10	8	8	8	10	0	0	0	0	0	0	76	126
<b>% sopravviv.</b>	73,1	77,5	53,8	57,5	55,6	61,9	66,9	70,0	86,9	114,4	105,6	112,5	115,6	132,5	11,3	11,3	11,3	15,0	1,9	1,9	695,6	955,0
<b>% mortalità</b>	26,9	22,5	46,3	42,5	44,4	38,1	33,1	30,0	13,1	-14,4	-5,6	-12,5	-15,6	-32,5	88,8	88,8	88,8	85,0	98,1	98,1	-595,6	-855,0

**Radura 4**

<b>Stazione</b>	R.12																					
<b>Data</b>	giu-05	set-05	dic-05	mar-06	giu-06	set-06	dic-06	mar-07	giu-07	set-07	dic-07	mar-08	giu-08	set-08	dic-08	mar-09	giu-09	set-09	dic-09	mar-10	giu-14	set-16
<b>Coordinate (UTM/UPS - fuso 32T)</b>	0738660 E 4657842 N																					
<b>prof (m)</b>	10																					
<b>moduli</b>																						
<b>R.12.1</b>	6	6	5	5	4	6	3	5	4	4	0	9	10	10	7	9	10	11	11	11	102	95
<b>R.12.2</b>	5	4	6	2	2	2	2	4	4	6	8	7	9	9	6	6	6	5	5	5	142	154
<b>R.12.3</b>	7	6	3	2	2	1	3	7	9	7	11	14	16	21	25	18	18	31	31	32	24	43
<b>R.12.4</b>	6	5	5	5	6	6	4	8	6	5	8	8	12	10	11	11	11	11	11	10	24	47
<b>R.12.5</b>	7	6	6	2	5	5	4	5	3	5	4	5	6	7	5	7	6	7	7	8	35	54
<b>R.12.6</b>	5	5	7	6	7	5	9	10	10	10	16	15	15	18	17	17	17	28	28	27	78	75
<b>R.12.7</b>	6	6	5	5	4	3	4	4	5	5	6	10	10	11	12	10	14	15	13	16	58	74
<b>R.12.8</b>	5	4	4	5	5	5	5	7	6	6	11	10	12	17	0	0	0	0	0	0	0	0
<b>R.12.9</b>	6	4	5	7	7	4	1	1	1	1	0	0	0	0	0	0	0	0	0	0	0	0
<b>R.12.10</b>	6	5	6	4	4	3	5	4	4	4	4	6	5	6	5	6	6	6	6	5	31	52
<b>R.12.11</b>	6	4	7	9	9	7	8	10	12	12	21	24	25	30	34	27	27	41	41	46	56	104
<b>R.12.12</b>	6	6	10	9	7	4	2	2	2	3	3	4	4	4	4	4	5	5	5	5	30	38
<b>R.12.13</b>	6	6	5	4	4	3	3	3	3	5	5	6	6	7	9	9	9	9	9	10	30	57
<b>R.12.14</b>	5	5	5	6	6	5	2	5	5	6	10	10	11	10	9	9	9	16	16	16	54	48
<b>R.12.15</b>	7	7	9	7	7	6	3	5	3	4	0	0	0	0	0	0	0	0	0	0	0	0
<b>R.12.16</b>	5	4	5	4	6	3	4	5	5	6	10	11	12	12	14	7	6	7	7	7	43	56
<b>R.12.17</b>	8	8	9	9	7	5	5	5	5	11	9	9	9	10	7	4	4	4	4	4	18	26
<b>R.12.18</b>	6	7	6	5	4	2	3	4	2	2	2	3	3	3	0	0	0	0	0	0	0	0
<b>R.12.19</b>	5	5	4	3	3	3	3	3	3	6	7	7	8	11	10	10	9	10	10	11	50	76
<b>R.12.20</b>	6	5	5	5	6	4	5	6	6	4	9	10	9	11	8	4	4	5	5	5	22	22
<b>% sopravviv.</b>	74,4	67,5	73,1	65,0	65,6	51,3	48,8	64,4	61,3	69,4	90,0	104,4	113,8	129,4	114,4	98,8	100,0	131,9	130,6	136,3	498,1	638,1
<b>% mortalità</b>	25,6	32,5	26,9	35,0	34,4	48,8	51,3	35,6	38,8	30,6	10,0	-4,4	-13,8	-29,4	-14,4	1,3	0,0	-31,9	-30,6	-36,3	-398,1	-538,1

**Radura 4**

<b>Stazione</b>	R.13																					
<b>Data</b>	giu-05	set-05	dic-05	mar-06	giu-06	set-06	dic-06	mar-07	giu-07	set-07	dic-07	mar-08	giu-08	set-08	dic-08	mar-09	giu-09	set-09	dic-09	mar-10	giu-14	set-16
<b>Coordinate (UTM/UPS - fuso 32T)</b>	0738668 E 4657847 N																					
<b>prof (m)</b>	10,5																					
<b>moduli</b>																						
R.13.1	5	5	4	8	4	7	6	8	9	14	13	14	14	17	15	15	20	22	23	21	44	25
R.13.2	6	6	4	4	4	3	1	2	4	3	4	2	2	3	0	0	0	0	0	0	0	0
R.13.3	6	7	6	7	7	4	4	7	7	7	8	8	10	0	0	0	0	0	0	0	0	0
R.13.4	6	6	5	4	6	4	5	4	9	7	10	10	10	12	2	2	2	3	0	12	18	
R.13.5	5	5	5	5	4	5	3	6	8	17	17	16	16	19	0	0	0	0	0	0	0	0
R.13.6	6	6	5	4	5	4	6	2	3	3	3	3	0	0	0	0	0	0	0	0	0	0
R.13.7	5	5	4	3	3	4	5	3	3	5	7	6	6	6	3	4	6	6	6	7	23	34
R.13.8	5	4	5	5	4	6	6	5	10	9	10	9	9	9	12	14	17	20	21	21	49	67
R.13.9	4	5	5	5	5	6	4	3	5	8	10	10	10	10	0	0	0	0	0	0	0	0
R.13.10	6	6	5	5	4	5	3	4	4	5	8	8	6	6	7	7	3	3	3	3	9	14
R.13.11	5	5	8	4	8	5	6	6	6	7	3	4	3	3	3	4	4	4	4	4	15	16
R.13.12	7	7	5	6	6	5	6	7	9	10	11	10	14	17	21	24	23	23	26	27	22	36
R.13.13	5	5	4	3	5	5	6	7	12	7	9	10	11	10	12	10	12	16	18	19	65	81
R.13.14	5	5	6	6	4	5	6	9	9	13	16	16	15	19	0	0	0	0	0	0	0	0
R.13.15	6	6	7	6	3	5	5	6	8	11	11	2	2	3	0	0	0	0	0	0	0	0
R.13.16	8	8	6	7	5	6	6	8	11	12	12	14	14	14	8	8	9	10	10	14	81	83
R.13.17	7	6	5	7	6	12	5	11	11	20	23	22	22	22	0	0	0	0	0	0	0	0
R.13.18	6	7	6	7	6	6	6	7	6	0	0	0	0	0	0	0	0	0	0	0	0	0
R.13.19	5	4	5	3	3	4	5	9	9	5	14	13	6	8	0	0	0	0	0	0	0	0
R.13.20	6	6	4	4	3	5	3	3	6	7	10	8	9	10	0	0	0	0	0	0	0	0
% sopravviv.	71,3	71,3	65,0	64,4	59,4	66,3	60,6	73,1	93,1	106,3	123,8	115,6	110,6	123,8	51,9	55,0	60,0	66,3	71,3	72,5	200,0	233,8
% mortalità	28,8	28,8	35,0	35,6	40,6	33,8	39,4	26,9	6,9	-6,3	-23,8	-15,6	-10,6	-23,8	48,1	45,0	40,0	33,8	28,8	27,5	-100,0	-133,8

**Radura 4**

<b>Stazione</b>	R.14																					
<b>Data</b>	giu-05	set-05	dic-05	mar-06	giu-06	set-06	dic-06	mar-07	giu-07	set-07	dic-07	mar-08	giu-08	set-08	dic-08	mar-09	giu-09	set-09	dic-09	mar-10	giu-14	set-16
<b>Coordinate (UTM/UPS - fuso 32T)</b>	0738647 E 4657850 N																					
<b>prof (m)</b>	10,5																					
<b>moduli</b>																						
<b>R.14.1</b>	7	5	8	5	7	7	5	5	9	10	7	7	8	6	7	5	5	6	6	6	24	31
<b>R.14.2</b>	6	7	8	3	5	5	5	4	8	10	10	10	8	9	12	13	13	13	13	15	32	42
<b>R.14.3</b>	7	5	7	5	4	5	4	5	8	11	12	11	12	13	0	0	0	0	0	0	0	0
<b>R.14.4</b>	5	5	5	4	5	6	4	3	5	6	5	6	6	6	6	6	6	5	4	4	19	22
<b>R.14.5</b>	6	5	3	2	5	5	6	8	9	11	4	6	6	6	8	10	10	8	5	5	21	19
<b>R.14.6</b>	4	4	3	5	5	5	4	4	5	7	10	9	9	9	9	9	7	7	7	8	27	28
<b>R.14.7</b>	5	4	6	6	6	7	6	6	9	8	11	13	13	14	13	15	17	15	14	15	45	64
<b>R.14.8</b>	5	4	4	4	3	6	7	7	11	12	13	15	16	17	16	20	22	21	21	22	74	88
<b>R.14.9</b>	4	4	5	6	6	4	3	3	6	6	8	8	9	9	0	0	0	0	0	0	0	0
<b>R.14.10</b>	6	5	5	6	6	5	3	4	5	3	5	5	6	6	7	8	9	9	9	9	30	41
<b>R.14.11</b>	7	7	4	3	4	5	4	4	6	7	10	10	10	10	0	0	0	0	0	0	0	0
<b>R.14.12</b>	5	5	5	6	6	5	5	7	12	13	14	15	16	15	13	4	5	5	5	6	44	55
<b>R.14.13</b>	7	6	5	5	5	6	5	6	9	11	9	12	13	11	13	3	3	3	3	3	10	14
<b>R.14.14</b>	8	5	8	7	7	8	6	9	15	19	18	22	23	23	23	27	29	21	17	22	57	75
<b>R.14.15</b>	4	4	4	5	3	3	3	4	3	4	3	5	4	4	3	4	4	4	4	4	12	19
<b>R.14.16</b>	5	5	3	2	2	1	3	3	2	2	3	3	3	3	0	0	0	0	0	0	0	0
<b>R.14.17</b>	5	5	5	2	2	3	5	5	6	7	8	9	8	8	8	3	4	5	3	3	24	26
<b>R.14.18</b>	5	5	4	4	6	5	6	5	4	9	9	9	9	9	3	0	0	0	0	0	0	0
<b>R.14.19</b>	6	6	6	8	7	6	9	9	12	15	16	16	14	17	0	0	0	0	0	0	0	0
<b>R.14.20</b>	5	5	2	2	2	2	4	3	4	4	3	2	2	3	0	0	0	0	0	0	0	0
<b>% sopravviv.</b>	70,0	63,1	62,5	56,3	60,0	61,9	60,6	65,0	92,5	109,4	111,3	120,6	121,9	123,8	88,1	85,6	83,8	76,3	69,4	76,3	261,9	327,5
<b>% mortalità</b>	30,0	36,9	37,5	43,8	40,0	38,1	39,4	35,0	7,5	-9,4	-11,3	-20,6	-21,9	-23,8	11,9	14,4	16,3	23,8	30,6	23,8	-161,9	-227,5

**Radura 4**

<b>Stazione</b>	R.15																					
<b>Data</b>	giu-05	set-05	dic-05	mar-06	giu-06	set-06	dic-06	mar-07	giu-07	set-07	dic-07	mar-08	giu-08	set-08	dic-08	mar-09	giu-09	set-09	dic-09	mar-10	giu-14	set-16
<b>Coordinate (UTM/UPS - fuso 32T)</b>	0738658 E 4657869 N																					
<b>prof (m)</b>	10,5																					
<b>moduli</b>																						
R.15.1	7	6	8	8	5	8	6	5	5	4	3	5	5	5	0	0	0	0	0	0	0	0
R.15.2	5	5	8	7	8	8	10	12	12	17	21	23	21	18	9	9	9	9	9	9	17	21
R.15.3	5	5	6	5	5	8	10	13	11	12	13	13	13	11	15	19	19	23	24	26	54	51
R.15.4	4	4	5	6	5	7	6	4	4	8	8	8	10	11	0	0	0	0	0	0	0	0
R.15.5	6	5	7	6	7	6	7	8	7	14	13	13	13	17	4	4	5	6	6	6	36	39
R.15.6	6	4	5	5	5	5	4	6	6	7	11	10	10	15	18	17	18	18	18	17	20	27
R.15.7	5	5	6	3	4	4	3	3	4	4	6	7	8	9	9	11	12	14	14	11	27	34
R.15.8	7	6	5	3	3	3	3	3	4	6	2	2	2	4	0	0	0	0	0	0	0	0
R.15.9	6	6	8	7	7	6	6	6	9	9	13	12	12	18	20	19	16	21	21	23	39	53
R.15.10	5	5	5	6	6	7	9	8	7	7	9	10	10	14	7	7	4	4	4	4	13	21
R.15.11	5	4	6	5	2	6	8	8	12	17	14	14	14	13	6	6	6	3	3	3	25	16
R.15.12	5	5	4	7	5	6	1	6	5	8	7	8	8	9	8	5	5	5	5	5	49	37
R.15.13	4	4	4	5	3	7	8	8	10	12	2	2	2	2	0	0	0	0	0	0	0	0
R.15.14	5	5	7	5	7	7	7	9	10	10	3	3	3	4	0	0	0	0	0	0	0	0
R.15.15	5	5	6	5	5	4	5	6	5	8	7	8	8	11	10	8	10	8	8	9	5	24
R.15.16	5	4	6	8	3	3	3	4	1	0	0	0	0	0	0	0	0	0	0	0	0	0
R.15.17	6	5	6	6	4	5	5	6	4	6	6	6	6	8	6	7	8	10	10	15	39	44
R.15.18	4	3	2	6	4	6	3	6	2	2	0	0	0	0	0	0	0	0	0	0	0	0
R.15.19	7	6	5	10	11	11	14	4	9	20	25	19	21	18	0	0	0	0	0	0	0	0
R.15.20	5	4	3	4	4	8	9	5	5	5	6	5	5	5	0	0	0	0	0	0	0	0
% sopravviv.	66,9	60,0	70,0	73,1	64,4	78,1	79,4	81,3	82,5	110,0	105,6	105,0	106,9	120,0	70,0	70,0	70,0	75,6	76,3	80,0	202,5	229,4
% mortalità	33,1	40,0	30,0	26,9	35,6	21,9	20,6	18,8	17,5	-10,0	-5,6	-5,0	-6,9	-20,0	30,0	30,0	30,0	24,4	23,8	20,0	-102,5	-129,4

**Radura 4**

<b>Stazione</b>	R.16																			R.16 new			
<b>Data</b>	giu-05	set-05	dic-05	mar-06	giu-06	set-06	dic-06	mar-07	giu-07	set-07	dic-07	mar-08	giu-08	set-08	dic-08	mar-09	giu-09	set-09	dic-09	mar-10	giu-14	set-16	
<b>Coordinate (UTM/UPS - fuso 32T)</b>	0738650 E 4657870 N																				0738653 E 4657854 N		
<b>prof (m)</b>	10,5																					10,5	
<b>moduli</b>																							
<b>R.16.1</b>	6	6	8	7	6	4	6	5	6	6	8	8	10	9	8	8	11	11	1	0	63	89	
<b>R.16.2</b>	7	7	5	5	4	2	7	8	8	11	11	11	11	11	0	0	0	0	0	0	13	29	
<b>R.16.3</b>	8	7	6	3	3	2	6	3	4	5	3	3	3	3	3	4	3	4	5	5	103	53	
<b>R.16.4</b>	5	4	5	4	5	4	5	6	5	7	6	6	7	12	0	0	0	0	0	0	32	43	
<b>R.16.5</b>	5	5	7	4	3	3	2	2	2	4	3	3	3	3	6	7	7	8	8	8	63	65	
<b>R.16.6</b>	6	5	5	2	2	3	4	3	5	5	5	5	6	6	0	0	0	0	0	0	21	31	
<b>R.16.7</b>	6	5	3	3	3	3	4	3	3	5	6	6	6	6	4	3	2	3	3	0	32	27	
<b>R.16.8</b>	4	4	4	3	3	2	2	6	5	4	8	8	8	9	5	5	5	7	8	9	68	84	
<b>R.16.9</b>	6	5	3	3	3	7	9	7	9	8	10	10	7	6	0	0	0	0	0	0	38	39	
<b>R.16.10</b>	6	5	8	5	8	4	2	2	1	1	3	2	2	3	6	4	5	5	0	0	44	92	
<b>R.16.11</b>	7	6	4	6	6	5	7	8	7	10	8	8	9	11	0	0	0	0	0	0	41	50	
<b>R.16.12</b>	8	5	5	5	4	5	6	5	3	7	9	9	9	10	0	0	0	0	0	0	89	111	
<b>R.16.13</b>	5	4	3	3	2	4	3	2	2	3	2	2	1	1	1	1	1	1	0	0	15	22	
<b>R.16.14</b>	6	5	7	5	5	5	5	5	5	6	0	0	0	0	0	0	0	0	0	0	49	98	
<b>R.16.15</b>	6	4	5	3	6	3	3	3	3	3	5	5	4	4	9	9	9	13	12	13	79	72	
<b>R.16.16</b>	6	6	3	4	2	2	2	4	2	5	4	4	6	6	0	0	0	0	0	0	59	66	
<b>R.16.17</b>	7	5	6	5	4	1	1	2	2	6	3	3	0	0	0	0	0	0	0	0	45	56	
<b>R.16.18</b>	7	7	6	6	4	6	8	4	4	3	1	0	0	0	0	0	0	0	0	0	51	71	
<b>R.16.19</b>	8	7	4	4	3	5	2	4	5	5	2	2	2	2	2	2	3	3	3	3	73	66	
<b>R.16.20</b>	7	5	4	3	6	6	1	1	1	1	3	3	3	4	0	0	0	0	0	0	66	123	
<b>% sopravviv.</b>	78,8	66,9	63,1	51,9	51,3	47,5	53,1	51,9	51,3	65,6	62,5	61,3	60,6	66,3	27,5	26,9	28,1	34,4	25,0	23,8	652,5	804,4	
<b>% mortalità</b>	21,3	33,1	36,9	48,1	48,8	52,5	46,9	48,1	48,8	34,4	37,5	38,8	39,4	33,8	72,5	73,1	71,9	65,6	75,0	76,3	-552,5	-704,4	

**Radura 5**

<b>Stazione</b>	R.17																					
<b>Data</b>	giu-05	set-05	dic-05	mar-06	giu-06	set-06	dic-06	mar-07	giu-07	set-07	dic-07	mar-08	giu-08	set-08	dic-08	mar-09	giu-09	set-09	dic-09	mar-10	giu-14	set-16
<b>Coordinate (UTM/UPS - fuso 32T)</b>	0738753 E 4657830 N																					
<b>prof (m)</b>	10,5																					
<b>moduli</b>																						
R.17.1	6	6	5	4	5	4	9	5	8	10	12	12	10	9	0	0	0	0	0	0	0	0
R.17.2	6	6	7	2	1	5	2	0	0	0	0	0	0	0	0	0	0	0	0	0	0	0
R.17.3	8	6	4	1	1	3	4	0	0	0	0	0	0	0	0	0	0	0	0	0	0	0
R.17.4	8	6	4	4	4	3	3	1	2	2	2	2	2	0	0	0	0	0	0	0	0	0
R.17.5	7	6	4	5	4	6	3	0	0	0	0	0	0	0	0	0	0	0	0	0	0	0
R.17.6	7	7	4	5	5	7	5	2	3	3	0	0	0	0	0	0	0	0	0	0	0	0
R.17.7	7	7	4	3	4	5	3	3	4	4	7	7	8	11	11	11	14	15	17	20	48	65
R.17.8	5	6	5	2	3	3	4	4	6	4	5	5	6	9	0	0	0	0	0	0	0	0
R.17.9	7	5	4	4	4	6	8	0	0	0	0	0	0	0	0	0	0	0	0	0	0	0
R.17.10	6	5	5	5	5	9	11	0	0	0	0	0	0	0	0	0	0	0	0	0	0	0
R.17.11	7	6	6	4	2	5	5	0	0	0	0	0	0	0	0	0	0	0	0	0	0	0
R.17.12	8	8	6	4	6	7	7	1	5	9	0	0	0	0	0	0	0	0	0	0	0	0
R.17.13	6	4	3	5	4	5	6	5	8	8	9	11	14	15	0	0	0	0	0	0	0	0
R.17.14	7	6	6	6	6	8	5	4	5	4	3	3	8	0	0	0	0	0	0	0	0	0
R.17.15	6	6	6	3	2	5	7	0	0	0	0	0	0	0	0	0	0	0	0	0	0	0
R.17.16	4	4	3	2	6	3	1	0	0	0	0	0	0	0	0	0	0	0	0	0	0	0
R.17.17	7	7	4	4	4	4	2	2	1	2	1	0	0	0	0	0	0	0	0	0	0	0
R.17.18	5	5	3	5	4	6	7	5	10	0	0	0	0	0	0	0	0	0	0	0	0	0
R.17.19	6	6	5	4	5	5	4	0	0	1	4	0	0	0	0	0	0	0	0	0	0	0
R.17.20	6	6	2	3	3	4	7	3	6	5	7	7	6	6	0	0	0	0	0	0	0	0
<b>% sopravviv.</b>	<b>80,6</b>	<b>73,8</b>	<b>56,3</b>	<b>46,9</b>	<b>48,8</b>	<b>64,4</b>	<b>65,6</b>	<b>21,9</b>	<b>36,9</b>	<b>31,9</b>	<b>31,9</b>	<b>30,0</b>	<b>33,8</b>	<b>31,3</b>	<b>6,9</b>	<b>6,9</b>	<b>8,8</b>	<b>9,4</b>	<b>10,6</b>	<b>12,5</b>	<b>30,0</b>	<b>40,6</b>
<b>% mortalità</b>	<b>19,4</b>	<b>26,3</b>	<b>43,8</b>	<b>53,1</b>	<b>51,3</b>	<b>35,6</b>	<b>34,4</b>	<b>78,1</b>	<b>63,1</b>	<b>68,1</b>	<b>68,1</b>	<b>70,0</b>	<b>66,3</b>	<b>68,8</b>	<b>93,1</b>	<b>93,1</b>	<b>91,3</b>	<b>90,6</b>	<b>89,4</b>	<b>87,5</b>	<b>70,0</b>	<b>59,4</b>

		Radura 5																				
Stazione	R.18																					
Data	giu-05	set-05	dic-05	mar-06	giu-06	set-06	dic-06	mar-07	giu-07	set-07	dic-07	mar-08	giu-08	set-08	dic-08	mar-09	giu-09	set-09	dic-09	mar-10	giu-14	set-16
Coordinate (UTM/UPS - fuso 32T)	0738755 E 4657839 N																					
prof (m)	10,5																					
moduli																						
R.18.1	6	5	6	4	5	4	6	4	3	5	0	0	0	0	0	0	0	0	0	0	0	
R.18.2	7	6	3	3	4	3	5	3	4	6	6	6	6	3	4	6	6	0	0	0	0	
R.18.3	8	8	9	9	11	10	7	2	3	3	4	4	4	5	3	4	4	4	5	5	9	16
R.18.4	6	5	6	5	6	7	8	3	1	1	1	2	2	2	2	2	2	0	0	0	0	
R.18.5	7	7	6	4	6	5	6	8	5	12	10	7	7	7	10	11	14	14	16	17	0	0
R.18.6	7	7	2	6	5	9	4	6	8	7	7	9	9	10	1	1	2	2	2	2	0	0
R.18.7	6	7	7	6	6	5	6	14	14	22	15	15	15	15	3	3	4	4	0	0	0	0
R.18.8	5	4	3	3	4	6	6	10	10	14	14	13	16	14	5	4	4	4	4	0	0	0
R.18.9	6	5	7	10	4	4	6	6	6	7	9	8	5	5	2	2	2	0	0	0	0	0
R.18.10	8	7	5	2	2	8	6	6	6	9	11	12	12	12	10	12	13	16	14	15	9	0
R.18.11	6	6	7	8	8	8	10	14	10	15	17	17	17	18	14	16	18	22	25	25	66	98
R.18.12	8	7	7	5	3	3	4	6	6	6	6	7	7	7	3	3	4	4	4	4	13	19
R.18.13	8	7	5	5	6	6	4	3	4	5	6	5	6	6	5	5	5	5	6	6	58	83
R.18.14	6	6	5	4	4	4	7	5	5	3	6	7	7	8	2	3	3	3	4	6	31	30
R.18.15	5	5	5	5	4	6	8	6	4	2	3	3	3	3	4	4	5	1	4	6	10	25
R.18.16	6	6	5	5	4	4	4	2	1	0	0	0	0	0	0	0	0	0	0	0	0	0
R.18.17	5	4	4	3	4	2	5	3	3	3	6	6	6	6	3	3	4	4	0	0	0	0
R.18.18	6	5	3	6	6	4	6	4	2	6	3	3	4	4	4	5	5	6	7	7	0	0
R.18.19	5	4	2	4	5	4	5	9	6	7	9	9	9	13	10	15	15	18	22	24	19	29
R.18.20	5	5	2	6	6	7	8	3	5	5	5	5	6	4	4	0	0	0	0	0	0	0
% sopravviv.	78,8	72,5	61,9	64,4	64,4	68,1	75,6	73,1	66,3	86,3	86,3	86,3	88,1	90,6	55,0	60,6	68,8	73,1	70,6	75,6	134,4	187,5
% mortalità	21,3	27,5	38,1	35,6	35,6	31,9	24,4	26,9	33,8	13,8	13,8	13,8	11,9	9,4	45,0	39,4	31,3	26,9	29,4	24,4	-34,4	-87,5

		Radura 5																				
Stazione	R.19																					
Data	giu-05	set-05	dic-05	mar-06	giu-06	set-06	dic-06	mar-07	giu-07	set-07	dic-07	mar-08	giu-08	set-08	dic-08	mar-09	giu-09	set-09	dic-09	mar-10	giu-14	set-16
Coordinate (UTM/UPS - fuso 32T)	0738756 E 4657850 N																					
prof (m)	10,5																					
moduli																						
R.19.1	6	6	8	10	8	11	14	11	9	17	20	19	19	20	25	20	22	27	27	27	35	0
R.19.2	6	5	6	7	7	5	4	2	2	3	2	4	3	4	5	5	6	6	6	5	9	19
R.19.3	7	7	5	5	6	6	7	6	5	9	9	9	10	11	10	15	11	15	15	15	41	44
R.19.4	7	7	8	3	2	8	8	6	7	4	4	6	6	8	8	8	9	10	10	10	28	45
R.19.5	5	5	6	5	6	8	3	2	2	3	0	0	0	0	0	0	0	0	0	0	0	0
R.19.6	7	7	6	7	6	10	10	9	8	15	13	14	17	19	25	21	21	24	26	25	66	77
R.19.7	5	5	6	6	5	7	9	4	3	3	3	3	4	5	0	0	0	0	0	0	0	0
R.19.8	5	3	4	3	3	15	11	4	2	4	4	4	4	4	0	0	0	0	0	0	0	0
R.19.9	8	3	6	8	7	6	7	5	5	10	7	8	9	9	11	12	13	13	13	15	71	88
R.19.10	6	5	4	4	4	10	8	6	7	11	10	11	11	11	13	14	12	15	5	7	13	21
R.19.11	6	5	3	7	8	8	7	13	7	18	16	14	18	18	8	8	8	8	8	8	34	49
R.19.12	6	4	4	7	5	12	6	14	10	21	23	20	22	24	28	25	34	40	42	41	56	73
R.19.13	5	5	5	4	4	10	9	11	10	5	14	14	16	18	23	23	24	9	28	27	14	26
R.19.14	5	5	2	7	6	7	5	8	7	6	9	14	14	14	12	4	4	4	4	4	44	52
R.19.15	7	7	11	11	8	14	8	14	11	17	17	21	24	25	29	30	34	41	44	40	71	0
R.19.16	7	8	11	7	6	8	8	3	2	3	0	0	0	0	0	0	0	0	0	0	0	0
R.19.17	7	7	8	6	5	3	4	2	3	6	6	8	4	4	0	0	0	0	0	0	0	0
R.19.18	8	8	8	8	7	8	10	12	4	7	5	6	6	6	0	0	0	0	0	0	0	0
R.19.19	5	5	5	4	8	4	9	3	2	4	4	4	5	5	5	5	8	8	8	8	63	75
R.19.20	6	7	9	6	7	7	8	6	10	13	5	7	7	3	3	3	5	5	6	81	98	
% sopravviv.	77,5	71,3	78,1	78,1	73,8	104,4	96,9	88,1	72,5	111,9	106,9	116,3	124,4	132,5	128,1	120,6	130,6	140,6	150,6	148,8	391,3	416,9
% mortalità	22,5	28,8	21,9	21,9	26,3	-4,4	3,1	11,9	27,5	-11,9	-6,9	-16,3	-24,4	-32,5	-28,1	-20,6	-30,6	-40,6	-50,6	-48,8	-291,3	-316,9

		Radura 5																				
Stazione	R.20																					
Data	giu-05	set-05	dic-05	mar-06	giu-06	set-06	dic-06	mar-07	giu-07	set-07	dic-07	mar-08	giu-08	set-08	dic-08	mar-09	giu-09	set-09	dic-09	mar-10	giu-14	set-16
Coordinate (UTM/UPS - fuso 32T)	0738744 E 4657884 N																					
prof (m)	10																					
moduli																						
R.20.1	5	5	5	7	6	7	9	9	13	14	5	20	20	20	20	7	7	7	11	10	33	54
R.20.2	6	8	5	5	6	4	2	2	4	4	5	6	6	6	7	7	8	8	8	8	56	89
R.20.3	5	4	6	5	6	3	6	4	6	8	10	10	9	11	9	10	13	13	13	14	60	116
R.20.4	5	5	5	4	4	4	4	5	5	7	7	7	7	7	0	0	0	0	0	0	0	0
R.20.5	4	4	4	5	7	5	6	9	9	13	13	11	13	12	13	13	15	15	18	19	34	40
R.20.6	5	4	4	4	3	5	5	4	5	5	8	9	9	12	13	14	14	17	17	17	59	100
R.20.7	6	6	5	6	7	11	5	4	2	2	2	2	2	2	3	3	3	0	0	0	0	0
R.20.8	6	5	4	4	2	5	4	2	2	2	2	2	2	2	4	4	4	4	5	5	22	59
R.20.9	6	6	6	6	6	4	3	3	3	3	3	3	3	3	0	0	0	0	0	0	0	0
R.20.10	7	6	8	6	4	2	6	5	5	6	10	10	9	10	11	11	14	15	18	17	48	36
R.20.11	5	5	6	3	3	3	3	1	1	1	4	3	3	3	0	0	0	0	0	0	0	0
R.20.12	6	6	8	8	7	3	6	6	10	15	15	15	17	20	24	26	24	30	34	30	77	74
R.20.13	7	7	6	7	6	5	7	3	2	3	0	0	0	0	0	0	0	0	0	0	0	0
R.20.14	6	5	4	6	4	8	8	2	4	5	0	0	0	0	0	0	0	0	0	0	0	0
R.20.15	6	6	5	7	7	3	1	1	1	2	2	2	4	0	0	0	0	0	0	0	0	0
R.20.16	7	6	6	7	8	10	15	11	11	18	23	23	25	28	29	29	35	37	37	41	116	162
R.20.17	7	6	5	5	5	3	8	7	12	17	16	12	14	12	13	17	17	20	20	48	58	
R.20.18	6	6	7	5	4	4	6	4	1	3	0	0	0	0	0	0	0	0	0	0	0	0
R.20.19	6	6	4	6	5	5	7	8	9	10	14	11	13	19	20	23	23	27	26	24	67	62
R.20.20	5	5	4	5	4	7	7	6	7	8	11	11	11	12	12	17	20	21	22	23	54	72
% sopravviv.	72,5	69,4	66,9	69,4	65,0	66,9	71,9	60,6	66,9	87,5	94,4	100,6	101,9	115,6	110,6	110,6	123,1	131,9	143,1	142,5	421,3	576,3
% mortalità	27,5	30,6	33,1	30,6	35,0	33,1	28,1	39,4	33,1	12,5	5,6	-0,6	-1,9	-15,6	-10,6	-10,6	-23,1	-31,9	-43,1	-42,5	-321,3	-476,3

Radura 5		
Stazione	R.23 new	
Data	giu-14	set-16
Coordinate (UTM/UPS - fuso 32T)	0738744 E 4657884 N	
prof (m)	9,5	
moduli		
R.20.1	48	10
R.20.2	104	139
R.20.3	13	34
R.20.4	98	136
R.20.5	17	37
R.20.6	33	51
R.20.7	12	19
R.20.8	44	62
R.20.9	84	135
R.20.10	15	33
R.20.11	48	86
R.20.12	22	55
R.20.13	24	43
R.20.14	54	76
R.20.15	12	0
R.20.16	49	75
R.20.17	121	112
R.20.18	34	31
R.20.19	40	61
R.20.20	104	141
% sopravviv.	<b>610,0</b>	<b>835,0</b>
% mortalità	<b>-510,0</b>	<b>-735,0</b>

**Radura 6**

<b>Stazione</b>	R.21																						
<b>Data</b>	giu-05	set-05	dic-05	mar-06	giu-06	set-06	dic-06	mar-07	giu-07	set-07	dic-07	mar-08	giu-08	set-08	dic-08	mar-09	giu-09	set-09	dic-09	mar-10	giu-14	set-16	
<b>Coordinate (UTM/UPS - fuso 32T)</b>	0738766 E 4657978 N																						
<b>prof (m)</b>	8																						
<b>moduli</b>																							
<b>R.21.1</b>	6	5	4	3	3	4	3	6	11	13	9	13	14	19	20	26	23	26	34	34	99	66	
<b>R.21.2</b>	6	6	5	4	4	7	3	6	4	4	0	0	0	0	0	0	0	0	0	0	0	0	
<b>R.21.3</b>	7	6	3	3	4	10	6	14	14	13	0	0	0	0	0	0	0	0	0	0	0	0	
<b>R.21.4</b>	6	6	3	3	6	6	3	4	11	4	0	4	4	5	0	0	0	0	0	0	0	0	
<b>R.21.5</b>	6	5	7	5	9	2	1	5	7	6	0	0	0	0	0	0	0	0	0	0	0	0	
<b>R.21.6</b>	6	6	5	3	3	4	2	7	5	2	0	4	3	3	0	0	0	0	0	0	0	0	
<b>R.21.7</b>	5	5	7	7	7	7	11	9	11	9	8	6	9	0	0	0	0	0	0	0	0	0	
<b>R.21.8</b>	6	6	4	3	3	2	3	5	4	7	5	9	11	11	11	13	14	14	14	16	31	42	
<b>R.21.9</b>	6	5	5	5	5	4	1	5	6	5	0	0	0	0	0	0	0	0	0	0	0	0	
<b>R.21.10</b>	5	5	5	4	3	3	3	5	6	6	0	0	0	0	0	0	0	0	0	0	0	0	
<b>R.21.11</b>	5	5	3	1	2	2	3	2	3	4	3	0	0	0	0	0	0	0	0	0	0	0	
<b>R.21.12</b>	6	6	3	3	5	6	6	8	6	4	8	8	9	10	10	14	14	15	18	20	65	62	
<b>R.21.13</b>	8	7	4	3	4	4	1	6	7	7	0	0	0	0	0	0	0	0	0	0	0	0	
<b>R.21.14</b>	5	5	5	3	3	3	2	5	7	8	0	5	5	5	7	7	8	10	11	13	59	82	
<b>R.21.15</b>	4	4	6	5	6	5	1	2	5	8	3	3	3	3	0	0	0	0	0	0	0	0	
<b>R.21.16</b>	6	4	6	4	7	9	4	8	14	14	21	21	26	28	0	0	0	0	0	0	0	0	
<b>R.21.17</b>	6	5	4	8	2	8	3	7	3	2	4	5	5	5	0	0	0	0	0	0	0	0	
<b>R.21.18</b>	5	5	5	5	6	11	5	12	16	10	14	14	19	24	13	15	18	46	23	20	79	71	
<b>R.21.19</b>	4	4	4	2	2	4	2	5	7	6	11	0	0	0	0	0	0	0	0	0	0	0	
<b>R.21.20</b>	6	6	5	6	5	7	5	9	3	5	6	6	6	7	2	3	3	5	6	5	0	27	
<b>% sopravviv.</b>	71,3	66,3	58,1	50,0	55,6	67,5	40,0	82,5	92,5	86,9	58,1	62,5	69,4	80,6	39,4	48,8	50,0	72,5	66,3	67,5	208,1	218,8	
<b>% mortalità</b>	28,8	33,8	41,9	50,0	44,4	32,5	60,0	17,5	7,5	13,1	41,9	37,5	30,6	19,4	60,6	51,3	50,0	27,5	33,8	32,5	-108,1	-118,8	

**Radura 6**

<b>Stazione</b>	R.22																					
<b>Data</b>	giu-05	set-05	dic-05	mar-06	giu-06	set-06	dic-06	mar-07	giu-07	set-07	dic-07	mar-08	giu-08	set-08	dic-08	mar-09	giu-09	set-09	dic-09	mar-10	giu-14	set-16
<b>Coordinate (UTM/UPS - fuso 32T)</b>	0738774 E 4657960 N																					
<b>prof (m)</b>	8,5																					
<b>moduli</b>																						
<b>R.22.1</b>	7	6	5	5	5	5	4	7	5	11	12	13	13	13	8	9	10	6	4	2	34	47
<b>R.22.2</b>	7	7	4	4	4	4	3	8	8	12	12	14	13	14	6	6	6	9	10	10	0	0
<b>R.22.3</b>	7	7	5	4	3	4	3	5	7	8	11	11	11	11	12	14	14	18	15	22	52	101
<b>R.22.4</b>	6	6	4	5	5	6	6	7	9	12	13	13	15	16	17	6	6	7	7	7	0	0
<b>R.22.5</b>	7	7	6	3	4	5	5	7	7	9	8	8	10	10	17	21	22	29	30	34	102	131
<b>R.22.6</b>	6	7	4	6	6	6	6	13	10	16	18	18	18	19	19	26	29	29	31	32	91	112
<b>R.22.7</b>	7	5	4	4	6	6	4	7	5	11	13	12	12	13	14	20	20	19	28	28	40	63
<b>R.22.8</b>	5	5	6	5	5	4	3	8	9	12	14	14	14	14	22	23	24	28	24	29	71	81
<b>R.22.9</b>	7	6	4	6	3	3	4	1	1	3	3	3	2	3	7	7	7	7	8	10	32	55
<b>R.22.10</b>	6	6	8	8	7	7	8	3	2	6	17	17	17	17	12	16	16	16	17	21	82	157
<b>R.22.11</b>	6	5	6	4	5	5	4	8	8	12	12	16	13	12	12	12	12	15	15	18	59	79
<b>R.22.12</b>	7	6	6	4	4	4	4	4	4	5	7	9	10	8	3	3	4	3	4	4	19	32
<b>R.22.13</b>	7	7	5	8	4	3	5	7	2	1	4	0	0	0	0	0	0	0	0	0	0	0
<b>R.22.14</b>	5	5	4	4	4	3	4	4	3	5	8	8	8	9	12	10	10	16	16	16	66	87
<b>R.22.15</b>	7	7	4	4	4	2	5	3	3	3	3	4	4	4	4	5	5	5	5	6	32	53
<b>R.22.16</b>	7	7	4	6	6	4	3	6	6	9	10	11	13	15	9	12	12	14	16	16	70	130
<b>R.22.17</b>	7	5	4	4	4	3	2	5	7	9	9	11	11	11	4	6	6	6	1	7	34	59
<b>R.22.18</b>	5	5	4	4	4	3	3	1	1	4	6	6	6	6	0	2	3	3	0	0	0	0
<b>R.22.19</b>	8	7	5	6	4	5	5	6	1	2	3	3	3	3	3	3	3	3	0	0	0	0
<b>R.22.20</b>	7	7	6	4	3	3	2	5	3	6	9	9	10	10	2	2	2	3	4	4	13	23
<b>% sopravviv.</b>	<b>81,9</b>	<b>76,9</b>	<b>61,3</b>	<b>61,3</b>	<b>56,3</b>	<b>53,1</b>	<b>51,9</b>	<b>71,9</b>	<b>63,1</b>	<b>97,5</b>	<b>120,0</b>	<b>125,0</b>	<b>126,9</b>	<b>130,0</b>	<b>114,4</b>	<b>126,9</b>	<b>131,9</b>	<b>147,5</b>	<b>146,9</b>	<b>166,3</b>	<b>498,1</b>	<b>756,3</b>
<b>% mortalità</b>	<b>18,1</b>	<b>23,1</b>	<b>38,8</b>	<b>38,8</b>	<b>43,8</b>	<b>46,9</b>	<b>48,1</b>	<b>28,1</b>	<b>36,9</b>	<b>2,5</b>	<b>-20,0</b>	<b>-25,0</b>	<b>-26,9</b>	<b>-30,0</b>	<b>-14,4</b>	<b>-26,9</b>	<b>-31,9</b>	<b>-47,5</b>	<b>-46,9</b>	<b>-66,3</b>	<b>-398,1</b>	<b>-656,3</b>

**Radura 6**

<b>Stazione</b>	R.23																			
<b>Data</b>	giu-05	set-05	dic-05	mar-06	giu-06	set-06	dic-06	mar-07	giu-07	set-07	dic-07	mar-08	giu-08	set-08	dic-08	mar-09	giu-09	set-09	dic-09	mar-10
<b>Coordinate (UTM/UPS - fuso 32T)</b>	0738786 E 4657960 N																			
<b>prof (m)</b>	8,5																			
<b>moduli</b>																				
R.23.1	8	6	8	6	7	8	8	10	10	13	16	8	6	7	0	0	0	0	0	0
R.23.2	8	8	6	3	3	5	3	1	1	0	0	0	0	0	0	0	0	0	0	0
R.23.3	6	6	4	5	6	7	6	2	1	2	2	3	4	4	0	0	0	0	0	0
R.23.4	6	6	9	4	5	5	7	6	4	6	7	8	9	9	9	4	4	5	0	0
R.23.5	6	5	7	4	5	5	3	6	7	8	11	11	13	14	0	0	0	0	0	0
R.23.6	7	7	5	3	2	4	2	6	8	8	6	8	9	10	3	5	5	4	4	4
R.23.7	6	4	5	3	3	4	2	1	2	2	0	0	0	0	0	0	0	0	0	0
R.23.8	7	7	4	3	4	4	3	1	2	0	0	0	0	0	0	0	0	0	0	0
R.23.9	6	7	8	6	3	10	4	1	1	0	0	0	0	0	0	0	0	0	0	0
R.23.10	7	7	5	7	5	3	2	2	2	0	0	0	0	0	0	0	0	0	0	0
R.23.11	6	6	5	5	5	6	10	9	15	11	11	7	7	0	0	0	0	0	0	0
R.23.12	7	7	4	4	3	7	4	1	3	0	0	0	0	0	0	0	0	0	0	0
R.23.13	7	6	4	4	5	5	5	2	4	4	5	5	5	0	0	0	0	0	0	0
R.23.14	7	7	5	4	3	7	3	3	1	4	4	4	4	4	0	0	0	0	0	0
R.23.15	8	8	3	2	2	4	3	1	1	0	0	0	0	0	0	0	0	0	0	0
R.23.16	5	5	7	5	4	9	4	1	1	0	0	0	0	0	0	0	0	0	0	0
R.23.17	8	7	5	4	5	3	1	1	1	0	0	0	0	0	0	0	0	0	0	0
R.23.18	6	6	3	3	2	4	2	2	4	5	5	6	6	6	0	0	0	0	0	0
R.23.19	6	6	4	4	3	6	6	1	1	3	3	3	3	0	0	0	0	0	0	0
R.23.20	6	5	4	7	6	5	6	10	6	5	6	0	0	0	0	0	0	0	0	0
<b>% sopravviv.</b>	<b>83,1</b>	<b>78,8</b>	<b>65,6</b>	<b>53,8</b>	<b>50,6</b>	<b>68,8</b>	<b>50,0</b>	<b>44,4</b>	<b>41,9</b>	<b>46,9</b>	<b>46,9</b>	<b>41,9</b>	<b>41,3</b>	<b>43,1</b>	<b>7,5</b>	<b>5,6</b>	<b>5,6</b>	<b>5,6</b>	<b>2,5</b>	<b>2,5</b>
<b>% mortalità</b>	<b>16,9</b>	<b>21,3</b>	<b>34,4</b>	<b>46,3</b>	<b>49,4</b>	<b>31,3</b>	<b>50,0</b>	<b>55,6</b>	<b>58,1</b>	<b>53,1</b>	<b>53,1</b>	<b>58,1</b>	<b>58,8</b>	<b>56,9</b>	<b>92,5</b>	<b>94,4</b>	<b>94,4</b>	<b>97,5</b>	<b>97,5</b>	

**Radura 6**

<b>Stazione</b>	R.24																					
<b>Data</b>	giu-05	set-05	dic-05	mar-06	giu-06	set-06	dic-06	mar-07	giu-07	set-07	dic-07	mar-08	giu-08	set-08	dic-08	mar-09	giu-09	set-09	dic-09	mar-10	giu-14	set-16
<b>Coordinate (UTM/UPS - fuso 32T)</b>	0738780 E 4657990 N																					
<b>prof (m)</b>	8,7																					
<b>moduli</b>																						
<b>R.24.1</b>	6	5	5	6	6	4	6	7	11	13	13	15	15	19	19	20	20	18	18	17	23	35
<b>R.24.2</b>	7	2	6	6	6	6	9	7	4	5	12	11	13	14	17	17	20	24	25	25	110	127
<b>R.24.3</b>	5	5	4	7	6	11	11	12	13	16	19	19	21	25	25	25	33	36	35	75	89	
<b>R.24.4</b>	6	6	6	6	6	5	7	6	8	10	11	11	13	14	11	16	21	26	26	29	108	152
<b>R.24.5</b>	6	6	7	7	8	5	6	7	9	8	10	9	10	13	14	14	15	19	22	20	68	77
<b>R.24.6</b>	7	7	6	8	7	3	9	8	9	11	12	12	14	14	18	19	21	21	22	25	87	100
<b>R.24.7</b>	5	5	4	2	6	4	10	8	9	15	14	17	17	18	18	18	20	34	34	72	118	
<b>R.24.8</b>	6	6	7	9	6	7	7	8	11	10	13	14	15	18	9	10	12	15	15	15	62	72
<b>R.24.9</b>	5	5	7	3	7	7	6	7	3	9	12	12	15	15	15	15	17	13	18	96	114	
<b>R.24.10</b>	5	5	5	7	6	9	12	11	11	11	9	4	5	6	9	10	12	3	13	13	100	120
<b>R.24.11</b>	5	5	5	9	7	8	11	11	14	14	19	20	24	26	13	14	15	17	18	20	74	84
<b>R.24.12</b>	6	6	7	10	8	9	7	11	12	15	17	17	22	23	24	24	25	27	27	32	122	84
<b>R.24.13</b>	6	6	5	5	5	9	10	10	10	11	13	14	22	23	15	15	25	31	30	30	109	142
<b>R.24.14</b>	6	6	4	4	5	4	4	5	6	7	10	10	12	14	14	15	16	17	20	23	112	145
<b>R.24.15</b>	5	6	5	6	7	8	10	10	6	12	22	23	20	26	26	26	45	50	49	130	151	
<b>R.24.16</b>	5	5	5	5	3	4	5	5	6	11	10	11	11	13	13	13	14	18	19	19	67	100
<b>R.24.17</b>	5	4	6	7	7	8	6	8	12	14	14	12	12	12	12	12	18	23	23	30	77	130
<b>R.24.18</b>	7	8	9	7	7	7	8	9	10	10	18	18	20	22	24	24	25	29	32	34	91	116
<b>R.24.19</b>	6	6	6	5	7	4	9	5	5	8	9	9	4	6	6	6	7	3	3	6	42	66
<b>R.24.20</b>	7	7	7	5	7	5	9	8	8	14	14	15	21	23	10	12	11	15	15	18	101	103
<b>% sopravviv.</b>	<b>72,5</b>	<b>69,4</b>	<b>72,5</b>	<b>77,5</b>	<b>79,4</b>	<b>79,4</b>	<b>101,3</b>	<b>101,9</b>	<b>110,6</b>	<b>140,0</b>	<b>169,4</b>	<b>170,6</b>	<b>191,3</b>	<b>215,0</b>	<b>195,0</b>	<b>203,1</b>	<b>226,9</b>	<b>271,9</b>	<b>288,1</b>	<b>307,5</b>	<b>1078,8</b>	<b>1328,1</b>
<b>% mortalità</b>	<b>27,5</b>	<b>30,6</b>	<b>27,5</b>	<b>22,5</b>	<b>20,6</b>	<b>20,6</b>	<b>-1,3</b>	<b>-1,9</b>	<b>-10,6</b>	<b>-40,0</b>	<b>-69,4</b>	<b>-70,6</b>	<b>-91,3</b>	<b>-115,0</b>	<b>-95,0</b>	<b>-103,1</b>	<b>-126,9</b>	<b>-171,9</b>	<b>-188,1</b>	<b>-207,5</b>	<b>-978,8</b>	<b>-1228,1</b>

**Radura 6**

<b>Stazione</b>	R.25																					
<b>Data</b>	giu-05	set-05	dic-05	mar-06	giu-06	set-06	dic-06	mar-07	giu-07	set-07	dic-07	mar-08	giu-08	set-08	dic-08	mar-09	giu-09	set-09	dic-09	mar-10	giu-14	set-16
<b>Coordinate (UTM/UPS - fuso 32T)</b>	0738760 E 4657992 N																					
<b>prof (m)</b>	8,5																					
<b>moduli</b>																						
<b>R.25.1</b>	6	5	8	6	9	9	4	4	4	5	6	6	7	8	7	0	0	0	0	0	0	0
<b>R.25.2</b>	7	7	6	3	3	5	1	4	3	4	6	5	6	7	0	0	0	0	0	0	0	0
<b>R.25.3</b>	6	6	5	3	4	4	1	4	3	6	0	0	0	0	0	0	0	0	0	0	0	0
<b>R.25.4</b>	6	6	9	10	9	11	13	12	12	14	10	8	9	11	12	12	15	16	19	19	13	18
<b>R.25.5</b>	5	5	4	5	5	5	5	8	9	14	9	13	19	21	14	10	15	12	13	6	23	35
<b>R.25.6</b>	6	6	4	6	6	5	3	5	2	3	2	4	4	4	4	0	0	0	0	0	0	0
<b>R.25.7</b>	7	7	7	1	5	5	4	5	2	2	0	0	0	0	0	0	0	0	0	0	0	0
<b>R.25.8</b>	5	5	3	4	5	8	10	10	12	15	17	17	20	21	28	28	34	41	43	46	139	97
<b>R.25.9</b>	5	6	4	3	6	8	7	3	3	5	5	5	7	4	4	5	5	5	5	57	57	71
<b>R.25.10</b>	5	4	5	5	6	6	1	6	8	12	11	12	8	8	0	0	0	0	0	0	0	0
<b>R.25.11</b>	6	5	6	4	2	4	4	4	5	5	6	5	5	5	0	0	0	0	0	0	0	0
<b>R.25.12</b>	7	7	10	10	9	10	7	8	9	9	11	12	17	16	22	19	24	26	25	25	85	97
<b>R.25.13</b>	6	6	4	5	3	4	3	3	4	4	5	5	4	4	0	0	0	0	0	0	0	0
<b>R.25.14</b>	6	7	3	6	3	3	2	1	2	2	0	0	0	0	0	0	0	0	0	0	0	0
<b>R.25.15</b>	6	6	5	7	4	5	4	1	1	2	2	2	2	2	1	0	1	3	2	2	67	68
<b>R.25.16</b>	6	6	5	5	5	5	5	5	7	5	0	0	0	0	0	0	0	0	0	0	0	0
<b>R.25.17</b>	5	5	5	5	5	7	5	8	8	8	5	3	3	3	5	0	0	0	0	0	0	0
<b>R.25.18</b>	6	6	5	6	6	5	8	6	6	9	10	8	12	12	5	0	0	0	0	0	0	0
<b>R.25.19</b>	6	6	6	6	7	9	9	5	6	8	6	7	9	10	6	7	8	9	10	5	6	15
<b>R.25.20</b>	4	6	3	7	4	5	6	5	4	5	5	6	6	8	0	0	0	0	0	0	0	0
<b>% sopravviv.</b>	<b>72,5</b>	<b>73,1</b>	<b>66,9</b>	<b>66,9</b>	<b>66,3</b>	<b>76,9</b>	<b>63,8</b>	<b>66,9</b>	<b>68,8</b>	<b>85,6</b>	<b>72,5</b>	<b>73,8</b>	<b>85,0</b>	<b>91,9</b>	<b>67,5</b>	<b>50,0</b>	<b>63,8</b>	<b>70,0</b>	<b>73,1</b>	<b>67,5</b>	<b>243,8</b>	<b>250,6</b>
<b>% mortalità</b>	<b>27,5</b>	<b>26,9</b>	<b>33,1</b>	<b>33,1</b>	<b>33,8</b>	<b>23,1</b>	<b>36,3</b>	<b>33,1</b>	<b>31,3</b>	<b>14,4</b>	<b>27,5</b>	<b>26,3</b>	<b>15,0</b>	<b>8,1</b>	<b>32,5</b>	<b>50,0</b>	<b>36,3</b>	<b>30,0</b>	<b>26,9</b>	<b>32,5</b>	<b>-143,8</b>	<b>-150,6</b>

**Radura 66**

<b>Stazione</b>	R.26																						
<b>Data</b>	giu-05	set-05	dic-05	mar-06	giu-06	set-06	dic-06	mar-07	giu-07	set-07	dic-07	mar-08	giu-08	set-08	dic-08	mar-09	giu-09	set-09	dic-09	mar-10	giu-14	set-16	
<b>Coordinate (UTM/UPS - fuso 32T)</b>	0738938 E 4657974 N																						
<b>prof (m)</b>	8,5																						
<b>moduli</b>																							
<b>R.26.1</b>	5	5	5	5	6	5	6	7	11	15	18	5	5	8	9	10	13	14	14	15	54	73	
<b>R.26.2</b>	4	7	5	4	5	5	8	8	10	16	19	20	20	23	20	23	36	42	0	0	0	0	
<b>R.26.3</b>	8	7	6	3	5	5	6	10	8	17	16	16	16	19	22	21	11	28	25	0	0	0	
<b>R.26.4</b>	4	3	5	5	10	7	7	11	7	14	15	17	19	26	27	34	28	33	34	37	0	0	
<b>R.26.5</b>	5	5	6	6	8	7	8	11	10	14	19	17	17	21	0	0	0	0	0	0	0	0	
<b>R.26.6</b>	4	5	8	3	6	8	7	6	2	1	0	0	0	0	0	0	0	0	0	0	0	0	
<b>R.26.7</b>	6	4	5	5	6	3	5	3	4	7	6	10	10	11	0	0	0	0	0	0	0	0	
<b>R.26.8</b>	6	8	8	5	5	6	9	10	8	15	24	21	21	26	19	23	3	3	0	0	0	0	
<b>R.26.9</b>	6	6	7	4	6	2	3	4	5	9	12	11	11	11	7	7	6	6	6	0	0	0	
<b>R.26.10</b>	7	8	7	6	6	7	8	4	2	11	15	15	15	20	21	7	10	13	13	15	0	0	
<b>R.26.11</b>	6	6	6	5	5	5	5	3	4	4	6	7	7	6	0	0	0	0	0	0	0	0	
<b>R.26.12</b>	5	6	5	5	6	5	7	6	3	5	5	7	7	10	0	0	0	0	0	0	0	0	
<b>R.26.13</b>	7	8	7	6	8	5	7	7	6	12	13	5	5	6	0	0	0	0	0	0	0	0	
<b>R.26.14</b>	5	6	4	3	2	5	8	7	9	13	18	8	8	10	0	0	0	0	0	0	0	0	
<b>R.26.15</b>	5	6	5	5	6	5	7	7	8	14	20	19	19	25	27	30	33	42	30	41	0	0	
<b>R.26.16</b>	7	5	9	5	8	7	9	6	1	0	0	0	0	0	0	0	0	0	0	0	0	0	
<b>R.26.17</b>	5	4	4	4	4	3	5	4	4	3	9	9	7	8	0	0	0	0	0	0	0	0	
<b>R.26.18</b>	6	10	7	6	9	7	9	12	11	20	26	26	27	27	38	43	46	50	39	48	0	0	
<b>R.26.19</b>	5	5	5	5	5	5	5	5	7	9	15	15	16	20	31	27	30	30	0	30	0	0	
<b>R.26.20</b>	5	9	5	5	7	7	9	9	13	29	25	25	25	28	29	36	39	50	50	46	0	0	
<b>% sopravviv.</b>	69,4	76,9	74,4	59,4	76,9	68,1	86,3	87,5	83,1	142,5	175,6	158,1	159,4	190,6	156,3	163,1	159,4	194,4	131,9	145,0	33,8	45,6	
<b>% mortalità</b>	30,6	23,1	25,6	40,6	23,1	31,9	13,8	12,5	16,9	-42,5	-75,6	-58,1	-59,4	-90,6	-56,3	-63,1	-59,4	-94,4	-31,9	-45,0	66,3	54,4	

**Radura 66**

Stazione	R.27																						
Data	giu-05	set-05	dic-05	mar-06	giu-06	set-06	dic-06	mar-07	giu-07	set-07	dic-07	mar-08	giu-08	set-08	dic-08	mar-09	giu-09	set-09	dic-09	mar-10	giu-14	set-16	
Coordinate (UTM/UPS - fuso 32T)	0738927 E 4657956 N																						
prof (m)	9,5																						
moduli																							
R.27.1	5	5	2	5	5	5	6	9	8	10	11	8	8	13	8	8	8	9	12	16	26	34	
R.27.2	6	5	6	7	4	6	9	9	8	13	14	17	15	21	15	17	20	21	19	22	81	103	
R.27.3	7	3	7	9	6	8	11	10	12	18	19	17	18	19	13	14	19	20	22	20	26	42	
R.27.4	6	3	!	7	6	9	10	11	13	20	20	21	22	25	20	17	24	26	25	12	38	53	
R.27.5	4	4	3	7	3	5	5	5	5	6	6	7	7	8	10	11	11	12	14	17	49	47	
R.27.6	5	5	4	4	4	4	4	4	5	6	6	6	9	12	11	10	12	12	15	17	52	40	
R.27.7	5	4	4	6	4	6	5	6	7	15	12	13	14	16	16	16	18	18	23	23	90	107	
R.27.8	6	5	6	5	5	7	8	9	9	15	15	15	17	23	16	23	24	24	26	28	54	65	
R.27.9	3	3	3	5	2	2	5	6	5	8	9	9	11	13	19	17	19	15	12	12	34	36	
R.27.10	5	5	8	4	3	5	4	6	5	8	8	3	3	4	5	5	5	5	5	8	18	37	
R.27.11	4	7	4	6	3	6	6	5	4	3	4	5	5	6	6	5	6	5	6	5	42	75	
R.27.12	3	6	3	3	4	4	7	8	8	12	13	15	16	16	19	19	27	28	28	29	38	33	
R.27.13	4	4	5	6	4	5	7	6	7	9	10	10	10	10	11	11	13	15	17	18	57	78	
R.27.14	4	6	2	4	2	2	5	4	5	5	5	5	5	8	11	11	11	12	7	7	26	50	
R.27.15	5	6	5	5	4	5	5	5	5	6	8	9	10	10	12	3	3	3	5	5	69	74	
R.27.16	6	6	5	4	5	4	5	6	6	8	8	9	9	11	8	3	3	3	3	2	35	47	
R.27.17	4	6	5	4	4	4	7	5	6	10	12	7	6	7	11	12	13	13	13	14	77	96	
R.27.18	6	3	2	4	4	4	6	7	6	8	8	8	8	14	18	17	18	15	17	84	95		
R.27.19	6	5	5	5	5	7	10	11	12	14	18	17	17	19	23	23	23	21	19	33	94	102	
R.27.20	5	4	4	7	6	7	10	9	11	15	14	14	15	18	17	19	26	26	28	74	41		
% sopravviv.	<b>61,9</b>	<b>59,4</b>	<b>51,9</b>	<b>66,9</b>	<b>51,9</b>	<b>65,6</b>	<b>84,4</b>	<b>88,1</b>	<b>91,9</b>	<b>130,6</b>	<b>137,5</b>	<b>134,4</b>	<b>140,6</b>	<b>166,9</b>	<b>165,6</b>	<b>163,8</b>	<b>188,8</b>	<b>191,3</b>	<b>195,0</b>	<b>208,1</b>	<b>665,0</b>	<b>784,4</b>	
% mortalità	38,1	40,6	48,1	33,1	48,1	34,4	15,6	11,9	8,1	-30,6	-37,5	-34,4	-40,6	-66,9	-65,6	-63,8	-88,8	-91,3	-95,0	-108,1	-565,0	-684,4	

**Radura 13**

<b>Stazione</b>	R.28																						
<b>Data</b>	giu-05	set-05	dic-05	mar-06	giu-06	set-06	dic-06	mar-07	giu-07	set-07	dic-07	mar-08	giu-08	set-08	dic-08	mar-09	giu-09	set-09	dic-09	mar-10	giu-14	set-16	
<b>Coordinate (UTM/UPS - fuso 32T)</b>	0739279 E 4658029 N																						
<b>prof (m)</b>	8																						
<b>moduli</b>																							
<b>R.28.1</b>	6	7	9	11	8	7	10	5	19	30	28	30	28	26	28	28	28	34	33	42	48	56	
<b>R.28.2</b>	8	8	7	11	9	7	5	7	3	9	19	19	17	17	26	36	42	43	46	56	83	97	
<b>R.28.3</b>	7	7	10	12	10	10	12	14	17	19	21	26	26	14	14	21	20	18	23	33	38		
<b>R.28.4</b>	8	9	9	7	11	8	11	10	14	19	18	17	20	23	27	27	27	32	42	46	14	29	
<b>R.28.5</b>	7	8	5	5	5	6	8	7	4	8	12	12	9	11	10	10	11	18	20	21	75	89	
<b>R.28.6</b>	7	7	7	7	6	7	8	10	14	15	17	16	18	20	26	26	26	37	39	41	74	75	
<b>R.28.7</b>	8	9	7	7	7	7	9	12	16	16	17	18	17	9	9	9	12	17	17	19	82	86	
<b>R.28.8</b>	7	8	8	8	9	11	10	11	8	12	12	12	13	14	15	12	16	20	18	25	12	14	
<b>R.28.9</b>	6	6	8	7	7	7	10	6	8	8	12	12	10	10	10	17	17	27	29	33	36	65	73
<b>R.28.10</b>	8	9	10	9	12	12	7	9	12	11	13	15	15	15	6	6	6	7	7	10	61	66	
<b>R.28.11</b>	6	6	6	7	6	9	9	13	9	8	12	0	0	0	0	0	0	0	0	0	0	0	
<b>R.28.12</b>	6	6	6	8	6	9	10	13	18	21	18	19	28	30	24	18	13	23	23	26	47	45	
<b>R.28.13</b>	7	9	10	6	7	7	11	10	15	17	22	25	23	25	25	27	31	39	41	43	88	81	
<b>R.28.14</b>	7	8	8	8	8	6	9	8	15	18	12	13	14	14	7	7	8	9	12	14	85	86	
<b>R.28.15</b>	5	6	7	7	9	6	8	8	9	20	13	13	13	14	7	7	8	8	10	11	41	46	
<b>R.28.16</b>	7	10	8	10	12	10	11	12	17	20	24	24	29	35	3	3	3	4	4	4	65	72	
<b>R.28.17</b>	5	7	6	8	7	7	8	11	16	17	19	19	22	24	25	33	38	42	42	47	124	135	
<b>R.28.18</b>	7	7	6	8	7	8	12	13	15	21	19	19	26	30	24	25	26	33	33	36	98	110	
<b>R.28.19</b>	6	7	9	7	10	8	11	13	12	14	17	7	8	8	10	4	5	5	5	6	81	56	
<b>R.28.20</b>	7	7	6	8	7	9	11	14	20	14	21	22	25	32	32	25	29	44	46	50	51	66	
<b>% sopravviv.</b>	84,4	94,4	95,0	100,6	101,9	100,6	117,5	127,5	161,3	196,9	215,0	208,1	225,6	239,4	209,4	208,8	235,6	290,0	305,6	347,5	766,9	825,0	
<b>% mortalità</b>	15,6	5,6	5,0	-0,6	-1,9	-0,6	-17,5	-27,5	-61,3	-96,9	-115,0	-108,1	-125,6	-139,4	-109,4	-108,8	-135,6	-190,0	-205,6	-247,5	-666,9	-725,0	

**Radura 13**

<b>Stazione</b>	R.29																					
<b>Data</b>	giu-05	set-05	dic-05	mar-06	giu-06	set-06	dic-06	mar-07	giu-07	set-07	dic-07	mar-08	giu-08	set-08	dic-08	mar-09	giu-09	set-09	dic-09	mar-10	giu-14	set-16
<b>Coordinate (UTM/UPS - fuso 32T)</b>	0739280 E 4658048 N																					
<b>prof (m)</b>	7,5																					
<b>moduli</b>																						
<b>R.29.1</b>	8	6	4	5	3	7	4	5	9	0	0	0	0	0	0	0	0	0	0	0	0	0
<b>R.29.2</b>	5	5	8	8	3	5	3	4	12	9	4	4	4	4	3	4	4	5	5	5	27	53
<b>R.29.3</b>	7	6	5	6	6	7	7	4	1	0	0	0	0	0	0	0	0	0	0	0	0	0
<b>R.29.4</b>	6	7	6	9	8	9	6	6	6	4	9	2	2	2	6	6	6	6	7	10	0	0
<b>R.29.5</b>	8	6	6	7	7	12	9	6	7	6	8	8	0	0	0	0	0	0	0	0	0	0
<b>R.29.6</b>	7	7	5	5	5	7	9	10	7	13	14	14	16	18	9	12	15	17	19	0	66	73
<b>R.29.7</b>	5	6	5	6	6	6	6	10	6	8	16	15	16	17	2	8	9	6	6	6	0	0
<b>R.29.8</b>	5	3	9	9	7	13	13	20	16	12	29	26	26	27	26	27	27	25	13	15	0	0
<b>R.29.9</b>	7	7	7	8	6	9	13	16	13	14	21	18	18	19	14	14	18	21	22	20	0	0
<b>R.29.10</b>	7	7	4	4	4	6	3	4	6	5	9	9	10	12	7	11	11	9	0	0	0	0
<b>R.29.11</b>	8	8	5	5	6	4	3	6	1	2	0	0	0	0	0	0	0	0	0	0	0	0
<b>R.29.12</b>	8	6	5	6	6	8	9	12	13	15	23	20	22	25	23	15	15	13	13	16	27	0
<b>R.29.13</b>	8	7	6	6	7	7	7	9	10	14	14	13	19	9	10	12	12	12	6	0	0	0
<b>R.29.14</b>	6	6	7	9	11	11	14	16	9	6	25	24	15	21	18	19	27	32	38	38	145	154
<b>R.29.15</b>	7	6	6	5	6	6	11	12	15	12	20	21	21	22	7	7	7	7	0	0	0	0
<b>R.29.16</b>	6	6	6	5	4	7	4	7	7	9	12	12	0	0	0	0	0	0	0	0	0	0
<b>R.29.17</b>	6	6	5	6	5	8	4	4	6	6	6	8	9	9	9	5	6	7	6	6	0	0
<b>R.29.18</b>	7	7	5	6	5	6	7	9	9	13	18	19	20	21	6	7	7	7	8	8	25	32
<b>R.29.19</b>	7	6	5	9	7	6	9	11	14	12	20	20	21	24	10	10	10	9	12	8	0	0
<b>R.29.20</b>	6	6	6	8	6	8	8	7	11	11	14	14	15	17	13	14	8	8	9	11	23	36
<b>% sopravviv.</b>	<b>83,8</b>	<b>77,5</b>	<b>71,9</b>	<b>82,5</b>	<b>73,8</b>	<b>95,0</b>	<b>93,1</b>	<b>110,0</b>	<b>110,6</b>	<b>104,4</b>	<b>163,8</b>	<b>155,0</b>	<b>142,5</b>	<b>160,6</b>	<b>101,3</b>	<b>105,6</b>	<b>113,8</b>	<b>115,0</b>	<b>106,3</b>	<b>93,1</b>	<b>195,6</b>	<b>217,5</b>
<b>% mortalità</b>	<b>16,3</b>	<b>22,5</b>	<b>28,1</b>	<b>17,5</b>	<b>26,3</b>	<b>5,0</b>	<b>6,9</b>	<b>-10,0</b>	<b>-10,6</b>	<b>-4,4</b>	<b>-63,8</b>	<b>-55,0</b>	<b>-42,5</b>	<b>-60,6</b>	<b>-1,3</b>	<b>-5,6</b>	<b>-13,8</b>	<b>-15,0</b>	<b>-6,3</b>	<b>6,9</b>	<b>-95,6</b>	<b>-117,5</b>

		Radura 13																			
Stazione	R.30																				
Data	giu-05	set-05	dic-05	mar-06	giu-06	set-06	dic-06	mar-07	giu-07	set-07	dic-07	mar-08	giu-08	set-08	dic-08	mar-09	giu-09	set-09	dic-09	mar-10	
Coordinate (UTM/UPS - fuso 32T)	0739278 E 4658038 N																				
prof (m)	7,5																				
moduli																					
R.30.1	7	7	9	8	7	8	4	4	9	3	3	3	4	4	0	0	0	0	0	0	
R.30.2	7	6	7	6	7	10	7	3	7	5	9	8	9	9	0	0	0	0	0	0	
R.30.3	5	5	6	6	4	6	6	3	1	0	0	0	0	0	0	0	0	0	0	0	
R.30.4	7	7	8	6	5	7	6	6	7	11	0	0	0	0	0	0	0	0	0	0	
R.30.5	7	7	7	8	6	9	7	5	1	0	0	0	0	0	0	0	0	0	0	0	
R.30.6	7	6	8	5	7	9	7	8	10	5	5	4	4	4	0	0	0	0	0	0	
R.30.7	7	7	11	8	6	4	3	3	4	1	0	0	0	0	0	0	0	0	0	0	
R.30.8	7	7	9	5	4	7	4	7	6	6	7	9	8	9	0	0	0	0	0	0	
R.30.9	7	7	9	8	10	9	8	8	8	10	6	0	0	0	0	0	0	0	0	0	
R.30.10	6	6	10	4	7	9	8	10	13	13	11	11	11	12	0	0	0	0	0	0	
R.30.11	6	6	5	7	7	8	8	9	12	13	10	10	10	11	0	0	0	0	0	0	
R.30.12	7	7	9	9	9	6	7	6	4	6	8	0	0	0	0	0	0	0	0	0	
R.30.13	7	7	7	6	6	8	8	8	7	6	8	3	0	0	0	0	0	0	0	0	
R.30.14	8	6	8	8	8	9	9	9	9	5	3	0	0	0	0	0	0	0	0	0	
R.30.15	8	6	9	6	5	7	5	5	6	4	0	0	0	0	0	0	0	0	0	0	
R.30.16	6	5	8	5	5	11	8	4	1	0	0	0	0	0	0	0	0	0	0	0	
R.30.17	7	7	12	4	8	8	9	8	9	7	0	0	0	0	0	0	0	0	0	0	
R.30.18	6	6	8	4	5	8	8	7	1	0	0	0	0	0	0	0	0	0	0	0	
R.30.19	6	6	9	4	6	6	6	3	4	4	4	0	0	0	0	0	0	0	0	0	
R.30.20	7	6	11	9	5	8	4	4	4	5	6	4	4	4	0	0	0	0	0	0	
% sopravviv.	84,4	79,4	106,3	78,8	79,4	98,1	82,5	75,0	76,9	65,0	50,0	32,5	31,3	33,1	0,0	0,0	0,0	0,0	0,0	0,0	
% mortalità	15,6	20,6	-6,3	21,3	20,6	1,9	17,5	25,0	23,1	35,0	50,0	67,5	68,8	66,9	100,0	100,0	100,0	100,0	100,0	100,0	

**Radura 67**

<b>Stazione</b>	R.31																					
<b>Data</b>	giu-05	set-05	dic-05	mar-06	giu-06	set-06	dic-06	mar-07	giu-07	set-07	dic-07	mar-08	giu-08	set-08	dic-08	mar-09	giu-09	set-09	dic-09	mar-10	giu-14	set-16
<b>Coordinate (UTM/UPS - fuso 32T)</b>	0738523 E 4657742 N																					
<b>prof (m)</b>	12																					
<b>moduli</b>																						
R.31.1	5	4	4	3	2	1	3	10	10	9	11	10	11	11	7	6	7	7	7	7	28	37
R.31.2	5	5	4	4	2	2	2	3	3	3	3	3	3	3	3	3	2	3	3	3	0	0
R.31.3	6	5	5	3	4	5	6	4	4	4	1	0	0	0	0	0	0	0	0	0	0	0
R.31.4	5	6	4	4	4	4	3	1	1	2	2	2	1	1	0	0	0	0	0	0	0	0
R.31.5	5	7	4	3	3	3	2	3	2	2	0	0	0	0	0	0	0	0	0	0	0	0
R.31.6	6	4	4	3	5	7	9	8	8	10	11	11	10	9	7	7	7	7	7	0	0	0
R.31.7	5	7	2	6	5	5	6	5	6	4	4	4	3	0	0	0	0	0	0	0	0	0
R.31.8	7	8	5	2	5	4	5	5	7	5	5	5	5	3	0	0	0	0	0	0	0	0
R.31.9	4	4	3	5	5	6	7	1	4	8	11	13	11	13	4	4	4	4	4	0	0	0
R.31.10	6	7	3	3	2	6	6	6	7	7	7	7	8	7	9	6	3	3	3	0	0	0
R.31.11	5	5	7	10	9	3	6	5	6	5	5	5	5	8	8	8	9	9	9	11	0	0
R.31.12	5	6	5	5	2	3	5	4	4	4	4	4	4	3	0	0	0	0	0	0	0	0
R.31.13	5	5	7	2	4	4	3	1	1	0	0	0	0	0	0	0	0	0	0	0	0	0
R.31.14	6	4	3	2	4	3	3	1	4	1	0	0	0	0	0	0	0	0	0	0	0	0
R.31.15	6	5	6	6	6	4	7	3	5	0	0	0	0	0	0	0	0	0	0	0	0	0
R.31.16	7	5	4	2	6	4	8	8	6	7	3	1	1	1	0	0	0	0	0	0	0	0
R.31.17	6	6	5	6	6	3	6	7	7	6	6	8	0	0	0	0	0	0	0	0	0	0
R.31.18	6	6	3	3	5	5	4	6	6	7	7	7	7	4	4	2	2	2	0	0	0	0
R.31.19	7	6	6	5	4	5	5	5	5	6	6	6	0	0	0	0	0	0	0	0	0	0
R.31.20	6	6	7	6	3	3	4	4	4	5	4	4	4	3	0	0	0	0	0	0	0	0
% sopravviv.	70,6	69,4	57,5	51,9	55,0	50,0	62,5	55,6	62,5	59,4	56,3	56,3	50,0	45,0	26,3	23,8	21,3	21,9	21,9	13,1	17,5	23,1
% mortalità	29,4	30,6	42,5	48,1	45,0	50,0	37,5	44,4	37,5	40,6	43,8	43,8	50,0	55,0	73,8	76,3	78,8	78,1	78,1	86,9	82,5	76,9

**Radura 67**

<b>Stazione</b>	R.32																					
<b>Data</b>	giu-05	set-05	dic-05	mar-06	giu-06	set-06	dic-06	mar-07	giu-07	set-07	dic-07	mar-08	giu-08	set-08	dic-08	mar-09	giu-09	set-09	dic-09	mar-10	giu-14	set-16
<b>Coordinate (UTM/UPS - fuso 32T)</b>	0738529 E 4657712 N																					
<b>prof (m)</b>	12,5																					
<b>moduli</b>																						
R.32.1	8	7	4	4	2	3	4	5	4	4	2	2	2	3	2	2	2	2	2	2	0	0
R.32.2	5	6	4	2	4	3	1	2	2	2	3	2	2	0	0	0	0	0	0	0	0	0
R.32.3	7	4	4	3	4	6	3	3	3	4	3	3	4	4	4	3	4	4	4	4	10	11
R.32.4	6	5	4	5	4	3	2	2	2	1	0	0	0	0	0	0	0	0	0	0	0	0
R.32.5	6	7	4	3	2	3	2	5	3	2	0	0	0	0	0	0	0	0	0	0	0	0
R.32.6	8	7	4	6	5	5	2	3	3	4	0	0	0	0	0	0	0	0	0	0	0	0
R.32.7	6	6	5	5	4	4	5	3	3	2	6	1	1	1	8	7	5	5	0	0	0	0
R.32.8	6	6	5	3	3	3	3	6	2	3	4	6	7	7	6	8	8	11	9	9	18	19
R.32.9	6	7	5	4	3	4	4	4	4	5	6	5	5	4	2	2	2	1	0	0	0	0
R.32.10	5	5	2	4	0	3	4	3	4	5	5	5	5	6	2	2	2	3	0	0	0	0
R.32.11	5	5	2	2	1	4	3	4	3	3	0	0	0	0	0	0	0	0	0	0	0	0
R.32.12	7	7	5	6	6	6	5	4	4	3	4	4	5	5	3	3	3	3	2	3	0	0
R.32.13	6	5	5	3	5	2	2	5	2	2	2	1	1	1	1	1	1	1	1	1	0	0
R.32.14	7	7	6	5	5	5	4	3	4	5	4	7	7	7	6	6	6	7	9	10	28	19
R.32.15	5	4	5	5	4	3	3	3	5	4	5	5	5	5	4	3	3	4	4	4	11	15
R.32.16	7	7	8	4	5	4	3	2	4	3	1	1	1	0	0	0	0	0	0	0	0	0
R.32.17	6	6	5	3	2	3	2	2	2	3	1	1	1	1	2	2	2	2	2	2	31	30
R.32.18	6	7	6	5	5	4	5	6	6	6	0	0	0	0	0	0	0	0	0	0	0	0
R.32.19	7	7	5	3	2	2	1	2	2	2	2	0	0	0	0	0	0	0	0	0	0	0
R.32.20	5	5	5	4	5	5	3	4	6	5	4	6	6	8	6	5	5	0	0	0	0	0
<b>% sopravviv.</b>	<b>77,5</b>	<b>75,0</b>	<b>58,1</b>	<b>49,4</b>	<b>44,4</b>	<b>46,9</b>	<b>38,1</b>	<b>44,4</b>	<b>42,5</b>	<b>42,5</b>	<b>32,5</b>	<b>30,6</b>	<b>32,5</b>	<b>32,5</b>	<b>28,8</b>	<b>27,5</b>	<b>26,9</b>	<b>30,0</b>	<b>20,6</b>	<b>21,9</b>	<b>61,3</b>	<b>58,8</b>
<b>% mortalità</b>	<b>22,5</b>	<b>25,0</b>	<b>41,9</b>	<b>50,6</b>	<b>55,6</b>	<b>53,1</b>	<b>61,9</b>	<b>55,6</b>	<b>57,5</b>	<b>57,5</b>	<b>67,5</b>	<b>69,4</b>	<b>67,5</b>	<b>67,5</b>	<b>71,3</b>	<b>72,5</b>	<b>73,1</b>	<b>70,0</b>	<b>79,4</b>	<b>78,1</b>	<b>38,8</b>	<b>41,3</b>

**Radura 67**

<b>Stazione</b>	R.33																				R.33 new		
<b>Data</b>	giu-05	set-05	dic-05	mar-06	giu-06	set-06	dic-06	mar-07	giu-07	set-07	dic-07	mar-08	giu-08	set-08	dic-08	mar-09	giu-09	set-09	dic-09	mar-10	mar-10	set-16	
<b>Coordinate (UTM/UPS - fuso 32T)</b>	0738510 E 4657722 N																				0738522 E 4657738 N		
<b>prof (m)</b>	12																				11,5		
<b>moduli</b>																							
R.33.1	5	5	5	5	5	5	7	2	1	0	0	0	0	0	0	0	0	0	0	0	23	12	
R.33.2	3	3	4	2	3	3	3	2	1	0	0	0	0	0	0	0	0	0	0	0	12	12	
R.33.3	5	5	3	2	1	2	5	5	4	4	4	4	4	4	0	0	0	0	0	0	0	7	7
R.33.4	7	4	6	3	3	3	3	4	3	4	4	4	4	5	0	0	0	0	0	0	0	11	4
R.33.5	6	5	6	4	4	4	4	2	2	3	2	2	2	2	0	0	0	0	0	0	0	4	2
R.33.6	4	4	5	3	7	5	2	2	2	2	2	2	2	2	0	0	0	0	0	0	0	21	17
R.33.7	4	5	2	1	2	1	1	1	1	1	1	1	1	1	1	1	1	0	0	0	0	12	13
R.33.8	5	4	5	4	4	5	3	1	1	1	0	0	0	0	0	0	0	0	0	0	0	12	0
R.33.9	6	4	5	5	7	5	5	4	4	3	3	3	4	6	0	0	0	0	0	0	0	12	12
R.33.10	5	5	5	3	2	2	2	1	1	0	0	0	0	0	0	0	0	0	0	0	0	5	0
R.33.11	6	5	4	2	2	3	4	3	2	2	3	4	4	4	0	0	0	0	0	0	0	30	25
R.33.12	7	5	6	4	6	5	6	6	5	5	4	4	2	2	0	0	0	0	0	0	0	10	5
R.33.13	7	4	5	3	4	2	3	3	1	2	0	0	0	0	0	0	0	0	0	0	0	16	28
R.33.14	6	7	6	5	5	4	4	4	5	5	5	5	5	3	3	3	3	3	0	0	0	11	8
R.33.15	7	7	4	4	4	4	4	2	1	2	0	0	0	0	0	0	0	0	0	0	0	10	0
R.33.16	4	5	4	3	4	3	4	3	2	0	0	0	0	0	0	0	0	0	0	0	0	2	2
R.33.17	6	5	3	4	4	2	3	3	3	2	0	0	0	0	0	0	0	0	0	0	0	8	0
R.33.18	8	5	6	3	5	3	5	4	5	6	4	2	2	3	2	2	0	0	0	0	0	3	0
R.33.19	3	3	2	2	2	2	2	2	2	2	1	1	1	0	0	0	0	0	0	0	0	8	0
R.33.20	6	5	5	3	3	3	2	2	2	2	2	2	2	2	0	0	0	0	0	0	0	4	5
<b>% sopravviv.</b>	<b>68,8</b>	<b>59,4</b>	<b>56,9</b>	<b>40,6</b>	<b>48,1</b>	<b>41,3</b>	<b>45,0</b>	<b>35,0</b>	<b>30,6</b>	<b>28,8</b>	<b>22,5</b>	<b>21,3</b>	<b>20,6</b>	<b>21,9</b>	<b>3,8</b>	<b>3,8</b>	<b>1,9</b>	<b>1,9</b>	<b>0,0</b>	<b>0,0</b>	<b>138,1</b>	<b>95,0</b>	
<b>% mortalità</b>	31,3	40,6	43,1	59,4	51,9	58,8	55,0	65,0	69,4	71,3	77,5	78,8	79,4	78,1	96,3	96,3	98,1	98,1	100,0	100,0	-38,1	5,0	

**Radura 67**

<b>Stazione</b>	R.34																					
<b>Data</b>	giu-05	set-05	dic-05	mar-06	giu-06	set-06	dic-06	mar-07	giu-07	set-07	dic-07	mar-08	giu-08	set-08	dic-08	mar-09	giu-09	set-09	dic-09	mar-10	giu-14	set-16
<b>Coordinate (UTM/UPS - fuso 32T)</b>	0738531E 4657760 N																					
<b>prof (m)</b>	12																					
<b>moduli</b>																						
R.34.1	5	5	5	3	3	2	1	3	2	2	3	3	2	2	0	0	0	0	0	0	0	0
R.34.2	8	6	4	7	5	2	2	6	5	7	1	1	1	1	0	0	0	0	0	0	0	0
R.34.3	7	5	5	4	3	3	4	3	3	3	0	0	0	0	0	0	0	0	0	0	0	0
R.34.4	6	6	8	5	5	4	8	8	8	12	13	11	12	12	13	13	13	13	13	13	22	28
R.34.5	6	3	7	5	4	4	4	6	4	7	6	4	3	2	0	0	0	0	0	0	4	0
R.34.6	6	5	5	4	2	3	2	3	2	2	2	3	0	0	0	0	0	0	0	0	0	0
R.34.7	8	4	5	2	3	3	1	2	2	2	2	2	0	0	0	0	0	0	0	0	0	0
R.34.8	7	7	9	7	7	5	4	5	5	6	8	3	3	3	0	0	0	0	0	0	0	0
R.34.9	7	5	6	3	3	5	3	1	2	1	1	1	1	1	1	1	1	1	2	2	0	0
R.34.10	5	4	12	7	5	8	3	3	3	1	3	2	2	2	0	0	0	0	0	0	0	0
R.34.11	5	5	6	5	5	4	3	3	2	3	3	3	3	5	3	3	2	3	4	0	0	0
R.34.12	8	7	6	6	6	4	5	2	2	1	1	0	0	0	0	0	0	0	0	0	0	0
R.34.13	7	7	7	4	6	3	4	2	2	1	2	2	0	1	0	0	0	0	0	0	0	0
R.34.14	8	8	8	6	6	5	7	8	7	6	7	7	7	7	0	0	0	0	0	0	0	0
R.34.15	7	6	4	6	5	4	3	3	3	4	5	4	4	4	0	0	0	0	0	0	0	0
R.34.16	7	5	8	6	6	7	3	9	8	11	9	4	2	2	0	0	0	0	0	0	0	0
R.34.17	7	6	8	5	5	3	4	1	2	1	2	2	0	0	0	0	0	0	0	0	0	0
R.34.18	6	6	2	3	2	5	10	9	11	1	1	0	0	0	0	0	0	0	0	0	0	0
R.34.19	5	4	5	4	4	4	3	2	2	1	2	2	2	3	0	0	0	0	0	0	0	0
R.34.20	7	7	5	2	3	3	4	1	1	3	2	2	2	2	0	0	0	0	0	0	0	0
<b>% sopravviv.</b>	<b>82,5</b>	<b>69,4</b>	<b>78,1</b>	<b>58,8</b>	<b>55,0</b>	<b>50,6</b>	<b>48,8</b>	<b>50,0</b>	<b>47,5</b>	<b>46,9</b>	<b>45,6</b>	<b>35,0</b>	<b>27,5</b>	<b>29,4</b>	<b>10,6</b>	<b>10,6</b>	<b>10,0</b>	<b>10,6</b>	<b>11,9</b>	<b>9,4</b>	<b>16,3</b>	<b>17,5</b>
<b>% mortalità</b>	<b>17,5</b>	<b>30,6</b>	<b>21,9</b>	<b>41,3</b>	<b>45,0</b>	<b>49,4</b>	<b>51,3</b>	<b>50,0</b>	<b>52,5</b>	<b>53,1</b>	<b>54,4</b>	<b>65,0</b>	<b>72,5</b>	<b>70,6</b>	<b>89,4</b>	<b>89,4</b>	<b>90,0</b>	<b>89,4</b>	<b>88,1</b>	<b>90,6</b>	<b>83,8</b>	<b>82,5</b>

**Radura 69**

<b>Stazione</b>	R.35																					
<b>Data</b>	giu-05	set-05	dic-05	mar-06	giu-06	set-06	dic-06	mar-07	giu-07	set-07	dic-07	mar-08	giu-08	set-08	dic-08	mar-09	giu-09	set-09	dic-09	mar-10	giu-14	set-16
<b>Coordinate (UTM/UPS - fuso 32T)</b>	0738585 E 4657770 N																					
<b>prof (m)</b>	11,5																					
<b>moduli</b>																						
<b>R.35.1</b>	5	4	5	4	4	4	1	4	5	5	6	6	6	6	6	6	6	6	4	4	9	1
<b>R.35.2</b>	6	6	4	4	4	6	2	4	5	6	9	8	7	9	4	0	0	0	0	0	0	0
<b>R.35.3</b>	5	5	4	5	6	4	4	2	1	1	2	3	5	2	4	4	4	4	3	4	7	10
<b>R.35.4</b>	4	5	9	6	6	5	10	3	1	1	1	1	5	2	2	2	2	3	3	1	6	8
<b>R.35.5</b>	5	5	5	4	4	4	4	4	3	5	5	5	6	6	4	4	4	3	3	3	8	0
<b>R.35.6</b>	6	5	5	4	4	4	2	3	4	3	0	5	5	5	3	3	3	3	3	4	9	8
<b>R.35.7</b>	5	4	3	4	3	3	1	3	1	2	2	2	2	3	3	3	3	4	4	4	14	6
<b>R.35.8</b>	6	6	5	4	2	4	4	4	2	4	8	8	7	8	4	4	4	3	4	3	5	9
<b>R.35.9</b>	6	6	4	6	8	4	3	3	2	2	4	4	4	6	1	1	1	3	3	4	14	21
<b>R.35.10</b>	7	7	6	6	6	3	3	3	2	3	2	2	2	2	2	2	2	2	2	2	7	0
<b>R.35.11</b>	7	6	2	2	1	3	3	1	3	5	5	5	5	5	2	1	2	2	3	8	0	
<b>R.35.12</b>	5	6	6	4	5	5	5	2	2	2	4	4	4	4	2	1	1	1	1	1	43	0
<b>R.35.13</b>	6	5	5	3	3	3	4	3	3	2	0	0	0	0	0	0	0	0	0	0	0	
<b>R.35.14</b>	7	7	9	7	5	5	7	8	8	8	11	8	8	8	3	3	3	3	3	3	36	0
<b>R.35.15</b>	7	6	6	6	5	4	3	3	4	3	8	8	5	9	3	3	3	3	6	4	31	25
<b>R.35.16</b>	5	4	5	4	3	3	3	2	2	2	0	0	0	0	0	0	0	0	0	0	0	
<b>R.35.17</b>	7	6	7	6	6	5	4	4	4	5	6	6	4	5	0	0	0	0	0	0	0	
<b>R.35.18</b>	7	5	5	6	4	7	10	5	5	6	8	6	5	5	6	3	4	4	3	3	25	35
<b>R.35.19</b>	6	6	4	3	3	5	3	1	2	2	3	3	3	3	0	0	0	0	0	0	0	
<b>R.35.20</b>	6	5	4	5	4	4	4	4	6	4	0	0	0	0	0	0	0	0	0	0	0	
<b>% sopravviv.</b>	73,8	68,1	64,4	58,1	53,8	53,1	50,0	41,3	40,6	44,4	53,8	52,5	51,9	54,4	34,4	25,6	25,6	27,5	27,5	26,9	138,8	76,9
<b>% mortalità</b>	26,3	31,9	35,6	41,9	46,3	46,9	50,0	58,8	59,4	55,6	46,3	47,5	48,1	45,6	65,6	74,4	74,4	72,5	72,5	73,1	-38,8	23,1

**Radura 69**

<b>Stazione</b>	R.36																					
<b>Data</b>	giu-05	set-05	dic-05	mar-06	giu-06	set-06	dic-06	mar-07	giu-07	set-07	dic-07	mar-08	giu-08	set-08	dic-08	mar-09	giu-09	set-09	dic-09	mar-10	giu-14	set-16
<b>Coordinate (UTM/UPS - fuso 32T)</b>	0738610 E 4657758 N																					
<b>prof (m)</b>	11,5																					
<b>moduli</b>																						
<b>R.36.1</b>	5	5	6	5	4	5	3	8	13	13	0	4	5	5	0	0	0	0	0	0	0	0
<b>R.36.2</b>	5	5	5	5	4	5	5	7	10	7	7	2	0	0	0	0	0	0	0	0	0	0
<b>R.36.3</b>	5	4	4	3	6	3	4	2	2	2	0	0	0	0	0	0	0	0	0	0	0	0
<b>R.36.4</b>	6	5	4	7	3	1	2	2	2	4	3	2	1	1	0	0	0	0	0	0	0	0
<b>R.36.5</b>	6	6	8	7	7	7	6	6	9	13	12	16	13	16	12	10	11	14	13	12	14	18
<b>R.36.6</b>	6	5	4	6	3	3	3	2	2	3	2	2	2	2	0	0	0	0	0	0	0	0
<b>R.36.7</b>	6	6	8	5	6	6	6	6	6	9	10	12	12	10	0	0	0	0	0	0	0	0
<b>R.36.8</b>	6	6	7	5	6	4	5	1	1	3	3	4	3	5	3	3	4	3	3	4	12	12
<b>R.36.9</b>	5	5	5	5	4	4	4	3	3	2	2	3	2	2	0	0	0	0	0	0	0	0
<b>R.36.10</b>	6	5	7	5	4	5	4	6	6	8	7	9	7	7	0	0	0	0	0	0	0	0
<b>R.36.11</b>	6	6	3	4	5	5	5	5	9	14	10	13	11	13	15	14	16	17	17	16	2	6
<b>R.36.12</b>	6	5	2	5	3	5	4	4	4	6	5	3	4	5	5	5	5	6	5	3	27	0
<b>R.36.13</b>	8	8	10	9	8	7	7	1	0	0	0	0	0	0	0	0	0	0	0	0	0	0
<b>R.36.14</b>	4	4	6	7	2	3	2	2	2	3	2	0	0	0	0	0	0	0	0	0	0	0
<b>R.36.15</b>	8	8	7	7	5	5	6	3	3	6	5	3	3	3	0	0	0	0	0	0	0	0
<b>R.36.16</b>	6	6	2	7	5	4	5	4	5	9	11	14	13	14	13	15	17	20	19	24	64	44
<b>R.36.17</b>	6	5	4	6	5	3	3	3	8	7	11	13	13	16	13	13	14	12	12	7	24	35
<b>R.36.18</b>	6	7	4	4	4	5	4	4	5	10	8	8	8	9	8	10	11	11	10	12	18	0
<b>R.36.19</b>	6	6	4	4	2	4	2	2	5	8	11	4	4	6	0	0	0	0	0	0	0	0
<b>R.36.20</b>	7	7	1	1	5	5	3	2	4	7	6	7	7	5	7	5	6	6	6	6	23	26
<b>% sopravviv.</b>	<b>74,4</b>	<b>71,3</b>	<b>63,1</b>	<b>66,9</b>	<b>56,9</b>	<b>55,6</b>	<b>51,9</b>	<b>45,6</b>	<b>61,9</b>	<b>83,8</b>	<b>71,9</b>	<b>74,4</b>	<b>67,5</b>	<b>74,4</b>	<b>47,5</b>	<b>46,9</b>	<b>52,5</b>	<b>55,6</b>	<b>53,1</b>	<b>52,5</b>	<b>115,0</b>	<b>88,1</b>
<b>% mortalità</b>	<b>25,6</b>	<b>28,8</b>	<b>36,9</b>	<b>33,1</b>	<b>43,1</b>	<b>44,4</b>	<b>48,1</b>	<b>54,4</b>	<b>38,1</b>	<b>16,3</b>	<b>28,1</b>	<b>25,6</b>	<b>32,5</b>	<b>25,6</b>	<b>52,5</b>	<b>53,1</b>	<b>47,5</b>	<b>44,4</b>	<b>46,9</b>	<b>47,5</b>	<b>-15,0</b>	<b>11,9</b>

**Radura 69**

<b>Stazione</b>	R.37																					
<b>Data</b>	giu-05	set-05	dic-05	mar-06	giu-06	set-06	dic-06	mar-07	giu-07	set-07	dic-07	mar-08	giu-08	set-08	dic-08	mar-09	giu-09	set-09	dic-09	mar-10	giu-14	set-16
<b>Coordinate (UTM/UPS - fuso 32T)</b>	0738566 E 4657777 N																					
<b>prof (m)</b>	11,7																					
<b>moduli</b>																						
R.37.1	7	7	5	5	5	4	5	3	5	8	0	0	0	0	0	0	0	0	0	0	0	0
R.37.2	5	4	3	3	1	4	5	4	4	3	5	1	0	0	0	0	0	0	0	0	0	0
R.37.3	7	6	9	5	4	4	6	5	8	7	8	8	8	10	6	6	6	5	5	5	0	0
R.37.4	6	5	4	6	6	5	5	1	1	0	0	0	0	0	0	0	0	0	0	0	0	0
R.37.5	6	4	4	6	4	5	5	1	1	1	1	0	0	0	0	0	0	0	0	0	0	0
R.37.6	7	6	7	8	8	8	12	7	12	12	0	11	6	6	4	5	5	0	0	0	0	0
R.37.7	6	5	5	4	1	2	3	2	1	1	1	3	3	4	0	0	0	0	0	0	0	0
R.37.8	7	8	6	4	2	2	3	2	2	2	3	3	3	2	0	0	0	0	0	0	0	0
R.37.9	6	6	6	3	3	2	4	1	1	0	0	0	0	0	0	0	0	0	0	0	0	0
R.37.10	6	5	3	2	3	3	4	3	1	1	1	1	1	1	1	1	1	0	0	0	0	0
R.37.11	4	4	4	4	1	3	6	4	7	8	8	8	9	10	0	0	0	0	0	0	0	0
R.37.12	6	5	3	3	1	4	5	1	1	1	3	4	5	0	0	0	0	0	0	0	0	0
R.37.13	7	7	7	4	5	4	5	3	7	3	8	4	4	5	0	0	0	0	0	0	0	0
R.37.14	6	6	6	2	2	4	6	6	6	7	7	9	9	10	4	4	4	5	3	6	0	0
R.37.15	7	7	5	7	3	4	5	2	2	5	5	3	3	3	0	0	0	0	0	0	0	0
R.37.16	8	6	5	4	4	3	2	2	2	2	3	3	6	0	0	0	0	0	0	0	0	0
R.37.17	6	6	6	5	5	3	5	1	1	1	0	0	0	0	0	0	0	0	0	0	0	0
R.37.18	7	6	7	6	2	4	5	6	2	5	7	8	7	7	9	9	9	0	0	0	0	0
R.37.19	6	5	4	7	7	8	9	6	9	11	13	15	17	18	16	16	16	15	16	19	0	0
R.37.20	7	7	6	7	3	2	4	4	3	4	4	4	4	5	4	5	6	5	6	8	6	4
<b>% sopravviv.</b>	<b>79,4</b>	<b>71,9</b>	<b>65,6</b>	<b>59,4</b>	<b>43,8</b>	<b>48,8</b>	<b>65,0</b>	<b>40,0</b>	<b>47,5</b>	<b>51,3</b>	<b>45,6</b>	<b>52,5</b>	<b>50,6</b>	<b>57,5</b>	<b>27,5</b>	<b>28,8</b>	<b>29,4</b>	<b>18,8</b>	<b>18,8</b>	<b>23,8</b>	<b>3,8</b>	<b>2,5</b>
<b>% mortalità</b>	<b>20,6</b>	<b>28,1</b>	<b>34,4</b>	<b>40,6</b>	<b>56,3</b>	<b>51,3</b>	<b>35,0</b>	<b>60,0</b>	<b>52,5</b>	<b>48,8</b>	<b>54,4</b>	<b>47,5</b>	<b>49,4</b>	<b>42,5</b>	<b>72,5</b>	<b>71,3</b>	<b>70,6</b>	<b>81,3</b>	<b>81,3</b>	<b>76,3</b>	<b>96,3</b>	<b>97,5</b>

**Radura 70**

<b>Stazione</b>	R.38																					
<b>Data</b>	giu-05	set-05	dic-05	mar-06	giu-06	set-06	dic-06	mar-07	giu-07	set-07	dic-07	mar-08	giu-08	set-08	dic-08	mar-09	giu-09	set-09	dic-09	mar-10	giu-14	set-16
<b>Coordinate (UTM/UPS - fuso 32T)</b>	0738639 E 4657784 N																					
<b>prof (m)</b>	11																					
<b>moduli</b>																						
<b>R.38.1</b>	5	5	5	7	6	7	9	8	13	13	13	16	15	17	4	4	4	4	4	7	22	20
<b>R.38.2</b>	6	5	4	4	3	5	8	5	4	4	5	7	3	5	5	5	8	6	6	6	27	31
<b>R.38.3</b>	7	6	4	5	6	5	7	6	6	6	6	7	7	7	7	7	7	7	7	7	33	36
<b>R.38.4</b>	7	7	5	4	6	3	6	7	11	13	15	17	16	17	19	20	21	18	21	25	101	109
<b>R.38.5</b>	6	5	5	5	5	6	6	8	7	9	11	6	10	10	10	11	12	13	13	13	57	54
<b>R.38.6</b>	6	6	6	4	4	4	7	5	7	7	10	10	10	10	12	13	14	13	13	13	38	53
<b>R.38.7</b>	5	4	5	4	5	4	5	6	9	7	10	10	10	10	14	16	16	17	17	17	65	62
<b>R.38.8</b>	6	6	4	4	6	5	4	3	5	3	5	5	5	4	0	0	0	0	0	0	0	0
<b>R.38.9</b>	7	7	7	6	5	3	5	3	5	5	5	6	6	6	11	10	10	11	12	12	51	49
<b>R.38.10</b>	7	7	6	5	5	5	8	8	8	10	10	12	12	12	10	10	11	11	11	12	53	55
<b>R.38.11</b>	6	6	5	7	6	6	10	11	17	23	25	25	26	26	31	31	32	42	27	28	62	22
<b>R.38.12</b>	5	5	5	6	6	6	3	4	4	6	7	6	6	8	9	9	12	12	12	27	41	
<b>R.38.13</b>	4	7	4	3	5	4	8	8	6	8	9	11	10	10	0	0	0	0	0	0	0	0
<b>R.38.14</b>	6	6	6	5	4	6	8	5	8	9	12	12	14	14	0	0	0	0	0	0	0	0
<b>R.38.15</b>	5	5	3	2	3	4	4	3	3	3	2	3	2	2	3	3	3	3	3	3	11	5
<b>R.38.16</b>	6	5	6	4	4	5	8	6	9	10	10	11	10	10	5	4	4	3	3	2	21	10
<b>R.38.17</b>	7	7	4	6	4	6	5	5	6	6	11	12	11	11	11	13	13	8	8	9	65	75
<b>R.38.18</b>	5	5	5	7	5	5	8	4	5	5	7	7	9	9	4	4	4	5	5	5	9	14
<b>R.38.19</b>	8	8	4	6	5	5	8	6	7	8	14	15	12	12	12	11	12	13	14	14	18	21
<b>R.38.20</b>	6	6	6	7	6	4	7	8	10	11	16	16	14	18	20	20	22	27	28	24	97	87
<b>% sopravviv.</b>	75,0	73,8	61,9	63,1	61,9	61,3	85,6	73,8	93,8	102,5	126,3	134,4	130,0	135,0	116,3	119,4	126,3	133,1	127,5	130,6	473,1	465,0
<b>% mortalità</b>	25,0	26,3	38,1	36,9	38,1	38,8	14,4	26,3	6,3	-2,5	-26,3	-34,4	-30,0	-35,0	-16,3	-19,4	-26,3	-33,1	-27,5	-30,6	-373,1	-365,0

**Radura 70**

<b>Stazione</b>	R.39																					
<b>Data</b>	giu-05	set-05	dic-05	mar-06	giu-06	set-06	dic-06	mar-07	giu-07	set-07	dic-07	mar-08	giu-08	set-08	dic-08	mar-09	giu-09	set-09	dic-09	mar-10	giu-14	set-16
<b>Coordinate (UTM/UPS - fuso 32T)</b>	0738677 E 4657800 N																					
<b>prof (m)</b>	11																					
<b>moduli</b>																						
<b>R.39.1</b>	7	7	3	5	5	4	7	9	3	10	10	10	10	9	4	5	5	5	5	7	14	23
<b>R.39.2</b>	4	4	4	3	4	4	4	5	5	8	6	6	3	3	5	3	5	6	6	6	18	24
<b>R.39.3</b>	7	6	5	4	4	3	6	7	6	9	11	3	7	8	7	7	8	8	9	10	20	30
<b>R.39.4</b>	6	5	7	4	4	3	6	10	9	15	21	21	21	20	19	18	18	18	23	25	58	66
<b>R.39.5</b>	6	5	5	4	4	3	7	11	9	8	11	12	12	12	13	15	15	18	19	18	30	
<b>R.39.6</b>	6	6	6	9	4	5	6	5	5	8	9	9	10	10	12	11	9	10	10	10	30	35
<b>R.39.7</b>	6	6	5	4	6	4	6	4	3	4	4	4	4	4	5	2	3	5	3	6	12	25
<b>R.39.8</b>	5	5	8	9	5	5	6	6	7	8	11	9	9	13	11	10	10	13	12	12	38	49
<b>R.39.9</b>	3	3	3	4	6	6	6	7	8	10	11	10	11	13	12	14	18	14	17	20	20	31
<b>R.39.10</b>	8	8	8	5	5	4	6	4	4	5	4	4	4	8	9	10	8	8	10	11	39	67
<b>R.39.11</b>	7	7	3	4	6	5	2	1	1	1	2	2	2	2	2	2	3	3	3	3	10	28
<b>R.39.12</b>	5	5	8	4	4	3	5	3	6	5	5	5	5	5	3	3	3	4	4	4	12	16
<b>R.39.13</b>	6	7	4	4	4	3	6	6	9	9	8	8	8	9	8	9	11	10	10	11	37	75
<b>R.39.14</b>	5	4	3	4	4	3	5	5	4	6	6	6	7	7	0	0	0	0	0	0	0	0
<b>R.39.15</b>	5	3	4	4	4	2	5	10	8	8	12	13	10	9	10	11	11	12	14	14	18	31
<b>R.39.16</b>	7	7	6	4	2	2	3	4	7	6	6	6	7	7	3	3	3	3	3	3	3	38
<b>R.39.17</b>	4	3	3	5	6	7	8	8	9	4	5	5	6	6	2	2	3	4	4	4	29	51
<b>R.39.18</b>	5	5	4	6	6	7	7	9	11	11	13	13	14	17	6	6	6	7	7	28	38	
<b>R.39.19</b>	4	4	2	4	4	4	5	5	6	5	9	9	10	10	3	3	2	2	2	2	47	52
<b>R.39.20</b>	6	5	3	4	4	4	3	3	3	4	5	5	5	5	0	0	0	0	0	0	0	0
<b>% sopravviv.</b>	<b>70,0</b>	<b>65,6</b>	<b>58,8</b>	<b>58,8</b>	<b>56,9</b>	<b>50,6</b>	<b>68,1</b>	<b>76,3</b>	<b>76,9</b>	<b>90,0</b>	<b>105,6</b>	<b>100,0</b>	<b>103,1</b>	<b>110,6</b>	<b>83,1</b>	<b>82,5</b>	<b>88,1</b>	<b>91,3</b>	<b>100,0</b>	<b>108,8</b>	<b>303,8</b>	<b>443,1</b>
<b>% mortalità</b>	<b>30,0</b>	<b>34,4</b>	<b>41,3</b>	<b>41,3</b>	<b>43,1</b>	<b>49,4</b>	<b>31,9</b>	<b>23,8</b>	<b>23,1</b>	<b>10,0</b>	<b>-5,6</b>	<b>0,0</b>	<b>-3,1</b>	<b>-10,6</b>	<b>16,9</b>	<b>17,5</b>	<b>11,9</b>	<b>8,8</b>	<b>0,0</b>	<b>-8,7</b>	<b>-203,8</b>	<b>-343,1</b>

**Radura 70**

<b>Stazione</b>	R.40																					
<b>Data</b>	giu-05	set-05	dic-05	mar-06	giu-06	set-06	dic-06	mar-07	giu-07	set-07	dic-07	mar-08	giu-08	set-08	dic-08	mar-09	giu-09	set-09	dic-09	mar-10	giu-14	set-16
<b>Coordinate (UTM/UPS - fuso 32T)</b>	0738665 E 4657797 N																					
<b>prof (m)</b>	11,5																					
<b>moduli</b>																						
<b>R.40.1</b>	5	5	2	5	5	6	8	9	10	10	10	10	12	14	0	0	0	0	0	0	0	0
<b>R.40.2</b>	4	4	5	8	7	4	5	6	5	6	6	7	7	8	0	0	0	0	0	0	0	0
<b>R.40.3</b>	6	6	3	4	5	6	6	6	8	7	8	9	11	11	11	11	12	14	15	16	58	93
<b>R.40.4</b>	7	7	4	3	4	4	4	5	5	7	5	10	9	3	3	4	4	5	5	8	33	
<b>R.40.5</b>	7	6	2	2	3	2	1	1	1	1	1	0	0	0	0	0	0	0	0	0	0	0
<b>R.40.6</b>	5	6	4	4	3	5	9	5	6	8	11	9	10	14	17	19	23	25	24	27	60	71
<b>R.40.7</b>	6	4	3	2	3	2	3	2	3	3	3	3	4	4	0	0	0	0	0	0	0	0
<b>R.40.8</b>	4	4	4	2	3	6	9	9	10	16	13	13	19	25	26	26	27	27	29	30	81	89
<b>R.40.9</b>	5	4	6	8	6	4	7	7	7	13	9	9	12	12	13	18	18	18	22	26	64	61
<b>R.40.10</b>	5	4	4	3	2	2	2	2	2	3	1	1	1	1	2	2	2	2	2	2	39	61
<b>R.40.11</b>	6	6	6	6	4	4	5	4	4	5	3	1	1	1	0	0	0	0	0	0	0	0
<b>R.40.12</b>	7	7	4	5	5	2	2	2	3	3	3	3	3	3	0	0	0	0	5	6	26	37
<b>R.40.13</b>	5	5	5	4	2	1	2	4	4	4	4	4	4	4	5	5	3	6	3	3	26	39
<b>R.40.14</b>	6	5	4	4	3	3	2	4	5	9	7	7	9	11	9	8	8	9	9	9	53	58
<b>R.40.15</b>	7	7	6	4	5	6	7	5	6	4	6	5	5	5	2	2	2	3	1	1	30	43
<b>R.40.16</b>	7	6	5	6	6	9	7	8	9	12	15	15	15	15	20	19	23	23	23	24	11	19
<b>R.40.17</b>	7	6	4	3	3	6	6	6	6	7	10	10	11	11	13	16	17	19	19	49	47	
<b>R.40.18</b>	4	4	2	4	4	4	4	2	2	2	2	0	0	0	0	0	0	0	0	0	0	0
<b>R.40.19</b>	4	4	6	6	4	4	3	7	8	8	9	9	10	14	17	17	20	25	27	27	65	63
<b>R.40.20</b>	5	5	6	5	3	5	4	4	4	4	5	5	5	5	3	3	3	3	3	3	27	33
<b>% sopravviv.</b>	<b>70,0</b>	<b>65,6</b>	<b>53,1</b>	<b>55,0</b>	<b>50,0</b>	<b>53,1</b>	<b>60,0</b>	<b>60,6</b>	<b>67,5</b>	<b>80,6</b>	<b>81,3</b>	<b>78,1</b>	<b>92,5</b>	<b>104,4</b>	<b>86,9</b>	<b>91,3</b>	<b>100,6</b>	<b>110,0</b>	<b>116,9</b>	<b>123,8</b>	<b>373,1</b>	<b>466,9</b>
<b>% mortalità</b>	<b>30,0</b>	<b>34,4</b>	<b>46,9</b>	<b>45,0</b>	<b>50,0</b>	<b>46,9</b>	<b>40,0</b>	<b>39,4</b>	<b>32,5</b>	<b>19,4</b>	<b>18,8</b>	<b>21,9</b>	<b>7,5</b>	<b>-4,4</b>	<b>13,1</b>	<b>8,8</b>	<b>-0,6</b>	<b>-10,0</b>	<b>-16,9</b>	<b>-23,8</b>	<b>-273,1</b>	<b>-366,9</b>